UNIVERSIDAD NACIONAL DE CAJAMARCA ESCUELA DE POSGRADO





UNIDAD DE POSGRADO DE LA FACULTAD DE INGENIERÍA PROGRAMA DE MAESTRÍA EN CIENCIAS

TESIS:

ESTUDIO DE LA RESISTENCIA A LA HUMEDAD EN ESPECÍMENES
DE TIERRA, CON LA INCORPORACIÓN EN LA MEZCLA O BAÑADO
EXTERNO DE ESTEARATO DE ZINC DILUIDO EN ACETONA.

Para optar el Grado Académico de

MAESTRO EN CIENCIAS

MENCIÓN: INGENIERÍA CIVIL

Presentado por:

RONALD MIJAIL CÁCERES VÁSQUEZ

Asesor:

Dr. MIGUEL ÁNGEL MOSQUEIRA MORENO

Cajamarca, Perú

2025





CONSTANCIA DE INFORME DE ORIGINALIDAD

	CONSTANCIA DE INFORME DE ORIGINALIDAD			
1.	Investigador: Ronald Mijail Cáceres Vásquez DNI: 70202626 Escuela Profesional/Unidad de Posgrado de la Facultad de Ingeniería. Programa de Maestría en Ciencias. Mención: Ingeniería Civil			
2.	Asesor: Dr. Ing. Miguel Ángel Mosqueira Moreno			
3.	Grado académico o título profesional □ Bachiller □ Título profesional □ Segunda especialidad X Maestro □ Doctor			
4.	Tipo de Investigación:			
	X Tesis □ Trabajo de investigación □ Trabajo de suficiencia profesional			
	□ Trabajo académico			
5.	Título de Trabajo de Investigación:			
	Estudio de la resistencia a la humedad en especímenes de tierra, con la incorporación en la mezcla o bañado externo de estearato de zinc diluido en acetona.			
6.	Fecha de evaluación: 22/08/2025			
7.	Software antiplagio: X TURNITIN URKUND (OURIGINAL) (*)			
8.	Porcentaje de Informe de Similitud: 17%			
9.	Código Documento: 3117:485701627			
10.	Resultado de la Evaluación de Similitud:			
	X APROBADO			
Fecha Emisión: 22 / 08 / 2025				
	Firma y/o Sello Emisor Constancia Dr. Miguel Angel Mosqueira Moreno DNI; 26733060			

^{*} En caso se realizó la evaluación hasta setiembre de 2023

COPYRIGHT © 2025 by

RONALD MIJAIL CÁCERES VÁSQUEZ

Todos los derechos reservados



UNIVERSIDAD NACIONAL DE CAJAMARCA

LICENCIADA CON RESOLUCIÓN DECONSEJO DIRECTIVO Nº 080-2018-SUNEDU/CD

ESCUELA DE POSGRADO

CAJAMARCA – PERU

PROGRAMA DE MAESTRIA EN CIENCIAS





Realizada la exposición de la TES					
luego de la deliberación, se					
DIECIOCHO (18)		la mencio	nada TES	SIS; en tal vir	tud,
el bachiller en Ingeniería Civil, RONALD MIJAIL CÁCERES VÁSQUEZ, se encuentra apto para					
recibir en ceremonia especial el I	iploma que lo a	credita como MAEST	RO EN O	CIENCIAS, d	e la
Unidad de Posgrado de la Faculta	d de INGENIER	ÁA, con mención en II	IGENIE	RÍA CIVIL.	

Siendo lashoras del mismo día, se dio por concluido el acto.

Dr. Miguel Angel Mosqueira Moreno

Asesor

Dra. Rosa Haydee Llique Mondragón

Jurado Evaluador

Dr. Mauro Augusto Centurión Vargas Jurado Evaluador

M. Cs. Perlita Rosmery Esaine Barrantes
Jurado Evaluador

Mi padre fallecido, el Profesor Máximo Cáceres Quiroz, cuyo aprecio y cariño por la Educación Básica Regular lo llevó a edificar escuelas de adobe y tapial donde trabajó en su juventud, y que siempre me dijo "Primero la obligación, después la diversión" cuyo recuerdo y enseñanzas siempre está en mi corazón y en el día a día.

A mi madre, la Profesora Hercilia Vásquez Medina, cuya sonrisa y alegría me ayudan a continuar en este camino llamado vida, además de su apoyo incondicional en todos mis proyectos personales y profesionales.

A mi tía madre, la Profesora Hermila Vásquez Medina, por estar ahí en todo momento para mí y para mis hermanos.

A mis hermanos, Filomena, Carlos, Fredy, cuyo amor, cariño y opiniones me han formado para la vida,

AGRADECIMIENTO

Expresar mi gratitud a todas las personas y describir sus cualidades en una sola página sería muy corta, ya que ellos me permitieron hacer posible este trabajo de investigación, que es un logro de todos aquellos que estuvieron ahí para mí.

Agradecer a Dios, cuya presencia, bendiciones y obstáculos a ser superados, han formado una fortaleza en mi para afrontar los momentos más desafiantes.

A mi familia, que son el cimiento fundamental, que creen en mí, a mi madre Hercilia Vásquez, que me ayudo en todo el proceso de fabricación de los especímenes cuyo amor incondicional y su sacrificio por inculcarme valores, perseverancia y esfuerzo.

A mis hermanos por su constante apoyo y ánimo, a mis sobrinos por ser una fuente de motivación, a Jhayr que participo en la preparación de las venoclisis para el goteo, al más pequeño de todos Max Adryel por ayudarme en la "tesish de aguas del papá Nonal" que cuyo entusiasmo de ser parte de los ensayos venía a casa, a Carla que sus preguntas sobre las "bolitas de barro" y que se sumergirán como en la piscina.

A mis amigos de aquí de Cajamarca y a aquellos que hice Buenos Aires que estamos en comunicación y que me dan ese apoyo incondicional en la distancia y que me impulsan a seguir haciendo estos trabajos.

Agradezco a la UNC – Laboratorio de materiales y a su personal por su colaboración, el acceso a recursos y la disposición de su equipo para brindar soporte técnico y logístico en el desarrollo de esta investigación.

La ingeniería es muy diferente de la ciencia. Los científicos tratan de entender la naturaleza. Los ingenieros tratan de hacer cosas que no existen en la naturaleza. Los ingenieros hacen hincapié en la invención.

-Yuan-Cheng Fung.

ÍNDICE GENERAL

AGRAD	DECIMIENTO	vi
ÍNDICE	GENERALv	ʻiii
ÍNDICE	DE ECUACIONES	XV
LISTA I	DE ABREVIATURAS O SIGLAS	vi
GLOSA	RIOx	vii
RESUM	EN xv	ʻiii
ABSTR	ACT	ίx
CAPITU	JLO I INTRODUCCIÓN	1
1.1	Planteamiento del problema	. 1
1.1.1	1 Contextualización	. 1
1.1.2	2 Descripción del problema	. 6
1.1.3	3 Formulación del problema	10
1.2	Justificación e importancia	10
1.2.1	l Justificación científica	10
1.3	Delimitación de la investigación	11
1.4	Limitaciones	12
1.5	Objetivos	13
1.5.1	1 Objetivo general	13
1.5.2	2 Objetivos específicos	13
CAPITU	JLO II MARCO TEÓRICO	14
2.1	Antecedentes de la investigación	14
2.2	Marco doctrinal de las teorías particulares en el campo de la ciencia en	la
que se	ubica el objeto de estudio	23
2.2.1	Construcciones de tierra	23
2.2.2	Normativa en el mundo	26
2.2.3	Humedad en las estructuras, su daño y tratamiento	28

2.3	Marco conceptual	29
2.3.1	Prueba de Resistencia de Arcilla	29
2.3.2	Ensayos de absorción por sumergimiento y goteo	30
2.3.3	Ensayo de resistencia a compresión	31
2.3.4	Jabón metálico: estearato de zinc	32
2.4	Definición de términos básicos	34
CAPITU	LO III PLANTEAMIENTO DE LA HIPÓTESIS Y VARIABLES	35
3.1	Hipótesis	35
3.1.1	Hipótesis: general	35
3.2	Variables / categorías	35
3.2.1	Variable independiente	35
3.2.2	Variable dependiente	35
3.3	Operacionalización / categorización de los componentes de las hipótes	is 36
CAPITU	LO IV MARCO METODOLÓGICO	37
4.1	Ubicación geográfica (de acuerdo a la naturaleza de la investigación).	37
4.2	Tipo de la investigación	40
4.3	Nivel de la investigación	40
4.4	Diseño de la Investigación	40
4.5	Métodos de investigación	44
4.6	Población, muestra, unidad de análisis y unidades de observación	45
4.7	Técnicas e instrumentos de recopilación de información	47
4.7.1	Técnicas	47
4.7.2	Instrumentos de recopilación de información	48
4.8	Técnicas para el procesamiento y análisis de la información	48
4.9	Equipos, materiales, insumos, etc.	48
4.10	Matriz de consistencia metodológica.	50
CAPITI	LO V RESULTADOS Y DISCUSIÓN	51

5.1 P	resentación de Resultados
5.1.1	Ensayos de suelos
5.1.2	Ensayos de humedad
5.1.3	Ensayo mecánico
5.2 A	nálisis, interpretación y discusión de resultados54
5.2.1	Análisis de Resultados
5.2.2	Interpretación de resultados
5.2.3	Discusión de Resultados
5.3	Contrastación de hipótesis
CONCLU	SIONES67
RECOME	NDACIONES Y/O SUGERENCIAS69
REFEREN	CIAS BIBLIOGRÁFICAS71
APÉNDIC	ES76
Apéndic	e 1 Protocolo de Ensayo de Absorción por Sumergimiento
Apéndic	e 2 Protocolo de Ensayo de Absorción por Goteo 5 gotas/ minuto
Apéndic	e 3 Protocolo de Ensayo de Absorción por Goteo 10 gotas/ minuto 84
Apéndic	e 4 : Diseño de la investigación
Apéndic	e 5: Protocolo de toma de datos
Apéndic	e 6 : Constancia de laboratorio ensayo de rotura
Apéndic	e 7: Resultados de laboratorio- Rotura a compresión
Apéndic	e 8 : Resultados absorción por sumergimiento
Apéndic	e 9: Resultados absorción por goteo 5 gotas/ minuto
Apéndic	e 10: Resultados absorción por goteo 10 gotas/ minuto
Apéndic	e 11: Estudios de Suelos
Conte	nido de humedad
Granu	llometría por lavado
Límites	de consistencia

Límite líquido	104
Límite plástico	105
Índice de plasticidad	105
Proctor modificado	107
ANEXOS	109
Anexo 1: Ensayo de absorción por sumergimiento	109
Anexo 2: Ensayo de goteo	112
Anexo 4: Referencias de figuras de los antecedentes	116
Anexo 5 : Ficha técnica del estearato de zinc de Reactivos Ouímica Meyer	123

ÍNDICE DE FIGURAS

Figura 1 Construcciones de tierra en mundo por conservación y asentamiento humano.	24
Figura 2 Arquitectura con tierra en el mundo.	. 24
Figura 3 Reglamentos alrededor del Mundo sobre Construcciones de Tierra	. 27
Figura 4 Realización de bolitas de tierra	. 30
Figura 5 Clasificación de la NFPA para el estearato de zinc	. 33
Figura 6 Ubicación geográfica de la cantera.	. 38
Figura 7 Ubicación geográfica de la Universidad Nacional de Cajamarca y del	
laboratorio de ensayo de materiales	. 39
Figura 8 Diagrama de flujo del diseño de la investigación	. 43
Figura 9 Porcentaje de absorción de agua mediante ensayo de sumergimiento	. 54
Figura 10 Tiempo en el que mantiene forma esférica durante el ensayo de	
sumergimiento	. 55
Figura 11 Porcentaje de absorción de agua mediante ensayo de goteo 5 gotas por	
minuto	. 55
Figura 12 Porcentaje de absorción de agua mediante ensayo de goteo 10 gotas por	
minuto	. 56
Figura 13 Ensayo Mecánico de rotura a compresión	. 57
Figura 14 Línea de tendencia, ecuación y ajuste lineal del ensayo de rotura a	
compresión	. 57
Figura 15 Protocolo de toma de datos para ensayos de absorción	. 89
Figura 16 Granulometría por Lavado	104
Figura 17 Límite liquido	105
Figura 18 Clasificación del suelo en la Carta de Plasticidad	106
Figura 19 Curva de Compactación	107
Figura 20 Ensayo de absorción por sumergimiento	109
Figura 21 Ensayo de absorción por sumergimiento inicial y final	109
Figura 22 Ensayo de absorción por sumergimiento rotura inicial de la capa por	
filtración	110
Figura 23 Ensayo de absorción por sumergimiento rotura final de la capa por	
filtración	111
Figura 24 Muestra del ensayo de goteo para 5 y 10 gotas por minuto	
Figura 25 Especificación técnica de venoclisis y distancia de goteo	
Figura 26 Vista de especímenes goteadas por 5 y 10 gotas	

Figura	27 Agua que está siendo repelida por la capa protectora del espécimen	114
Figura	28 Rotura a compresión de adobes cúbicos	115
Figura	29 Resultado de Ensayo de Absorción para relleno	116
Figura	30 Resultado de Ensayo de Absorción para empañetados	116
Figura	31 Resultados de los ensayos a compresión de las muestras	117
Figura	32 Resultados de los ensayos para determinar las propiedades mecánicas	118
Figura	33 Ángulo de contacto de la prueba de permeabilidad	119
Figura	34 Canal U para los ensayos	120
Figura	35 Ensayo de inundación de muros	121
Figura	36 Ensayo erosión de la investigación	122

ÍNDICE DE TABLAS

Tabla 1 Consistencia y operacionalización de la investigación	36
Tabla 2 Ubicación geográfica de la tierra extraída para especímenes	37
Tabla 3 Ubicación geográfica de la Universidad Nacional de Cajamarca	39
Tabla 4 Tamaño de la muestra, tipos de especímenes y ensayos.	46
Tabla 5 Tamaño de muestra ensayos de rotura a compresión	47
Tabla 6 Matriz de consistencia metodológica de la investigación	50
Tabla 7 Resultados de los ensayos de suelos	51
Tabla 8 Ensayo de sumergimiento de los especímenes	51
Tabla 9 Ensayo de goteo de 5 gotas por minuto x 10 min	52
Tabla 10 Ensayo de goteo de 10 gotas por minuto x 10 min	52
Tabla 11 Tiempo de evaluación de ensayo por sumergimiento	53
Tabla 12 Rotura a compresión	53
Tabla 13 Variación de absorción por sumergimiento respecto del patrón	54
Tabla 14 Variación de absorción por goteo de 5 gotas por minuto respecto del patro	ón 56
Tabla 15 Variación de absorción por goteo de 10 gotas por minuto respecto del patr	ón56
Tabla 16 Variación de la resistencia a compresión respecto del patrón	57
Tabla 17 Diseño de la investigación	88
Tabla 18 Contenido de Humedad	103
Tabla 19 Granulometría por lavado	103
Tabla 20 Límite líquido	104
Tabla 21 Límite plástico	105
Tabla 22 Índice de Plasticidad	105
Tabla 23 Clasificación SUCS	106
Tabla 24 Proctor Modificado	107
Tabla 25 Valores Óptimos del Proctor Modificado	108

ÍNDICE DE ECUACIONES

Ecuación 1 Absorción Abs	31
Ecuación 2 Resistencia a la compresión	31

LISTA DE ABREVIATURAS O SIGLAS

INDECI

Instituto Nacional de Defensa Civil, 5

INEI

Instituto Nacional de Estadística e Informática., 6

NFPA

National Fire Protection Association - Asociación Nación de Protección al Fuego, 38

ONG

Organismo No Gubernamental, 1

SENAMHI

Servicio Nacional de Meteorología e Hidrología del Perú, 7

UNESCO

Organización de las Naciones Unidades para la Educación, la Ciencia y la Cultura., 3

GLOSARIO

Adobe

Método constructivo y también unidad de albañilería de tierra arcillosa no cocida., 1

Casona

Casa grande, antigua y señorial., 4

Condado

Forma de división administrativa de algunos países de lengua inglesa., 3

Depresión geográfica

Zona de relieve terrestre a un nivel mas bajo que las circundantes., 2

Hidrofóbicos

Propiedad de los maeriales para repeler el agua., 13

Hiladas

Lamadas tambien hileras que es la disposición de unidades de albañilería una sobre otra logrando un tramado., 4

Mezquita

Lugar de culto de la fé islámica., 2

Oriundos

Originarios del lugar, de la zona., 3

Precaria

Poco estable, poco seguro o poco duradero., 4

Quincha

Entramado de caña o bambu revestido con tierra arcillosa para formar muros., 1

Tapial

Método constructivo con tierra arcillosa que se hace a manera de cajones., 1

RESUMEN

Las construcciones de tierra, como el adobe, tapial, barro y quincha, enfrentan un problema significativo debido a su baja resistencia al agua, lo que genera costos adicionales en protección y mantenimiento. Este desafío es especialmente relevante en casonas antiguas, edificaciones coloniales y estructuras históricas, que poseen un valor cultural y monumental. En el Perú, el Ministerio de Cultura y diversas ONG, tanto nacionales como extranjeras, trabajan activamente en la preservación y mantenimiento de estas construcciones, dado su carácter patrimonial. Y debido a ello se incorporan diferentes materiales al adobe para mejorar su resistencia a la humedad, en este caso se incorporó estearato de zinc diluido con acetona y se formuló el problema: ¿En cuánto varía la resistencia a la humedad en los especímenes de tierra, al incorporar en la mezcla o bañado externo de estearato de zinc diluido en acetona en dosis de 1%, 2% y 3% del peso del suelo? Los objetivos fueron determinar la resistencia a la humedad con cada tipo de porcentaje y modo: incorporado y bañado en los especímenes esféricos. Para ello se practicaron ensayos de sumergimiento y de goteo de 5 min y de 10 min, adicionalmente se realizó ensayo de rotura a compresión. En lo que refiere al sumergimiento, el que presentó la menor absorción y por ende mayor resistencia a la humedad es aquel de la incorporación del 3% del estearato de zinc diluido con acetona en la matriz con el 12.78%, en los ensayos de goteos, los mejores fueron aquellos bañados con el estearato de zinc diluido con acetona, con porcentajes de menos de 1% para 5 gotas por minuto y de menos de 1.75% para 10 gotas por minuto. En el caso de la rotura a compresión el mejor resultado se obtuvo con la incorporación del 1% estearato de zinc diluido en acetona cuyo resultado fue de 28.15 kg/cm², que sobrepasa a la norma E0.80 de 10.2 kg/cm², Con todos estos resultados se concluyó que la incorporación del estearato de zinc en los especímenes de tierra mejora su resistencia a la humedad como su resistencia mecánica, lo cual fue corroborado con los otros estudios referidos.

Palabras clave: hidrofobicidad en tierra, resistencia a la humedad, estearato de zinc diluido en acetona.

ABSTRACT

Earth constructions, such as adobe, rammed earth, mud, and wattle and daub, face a significant problem due to their low water resistance, which generates additional costs in protection and maintenance. This challenge is especially relevant in old mansions, colonial buildings, and historical structures, which possess cultural and monumental value. In Peru, the Ministry of Culture and various NGOs, both national and foreign, actively work on the preservation and maintenance of these constructions, given their heritage status. Due to this, different materials are incorporated into adobe to improve its moisture resistance. In this case, zinc stearate diluted with acetone was incorporated, and the problem was formulated: How much does the moisture resistance in earth specimens vary when zinc stearate diluted in acetone is incorporated into the mixture or applied as an external bath in doses of 1%, 2%, and 3% of the soil's weight? The objectives were to determine the moisture resistance for each type of percentage and mode: incorporated and coated on the spherical specimens. For this, submersion and dripping tests of 5 min and 10 min were carried out; additionally, a compression breaking test was performed. Regarding submersion, the one with the least absorption and therefore greatest moisture resistance is the one with the incorporation of 3% zinc stearate diluted with acetone in the matrix at 12.78%. In the dripping tests, the best results were those bathed with zinc stearate diluted with acetone, with percentages of less than 1% for 5 drops per minute and less than 1.75% for 10 drops per minute. In the case of compression breaking, the best result was obtained with the incorporation of 1% zinc stearate diluted in acetone, whose result was 28.15 kg/cm², which exceeds the E0.80 standard of 10.2 kg/cm². With all these results, it was concluded that the incorporation of zinc stearate in earth specimens improves their moisture resistance as well as their mechanical resistance, which was corroborated by other referred studies.

Keywords: hydrophobicity in earth, moisture resistance, zinc stearate diluted in acetone.

CAPITULO I

INTRODUCCIÓN

1.1 Planteamiento del problema

1.1.1 Contextualización

Uno de los más grandes problemas que tienen las construcciones de tierra (adobe, tapial, barro y quincha) en todo el mundo, es la deficiente resistencia al agua que poseen dichas construcciones, a menudo generan acciones adicionales para su protección y mantenimiento que pueden ser desde simples reparaciones locales (agrietamientos o desgaste ocasionado por el clima y la intemperie) hasta el retiro y cambios completos de muros en estas construcciones, por ello existen actualmente instituciones públicas y privadas que se preocupan por la protección y mantenimiento de este tipo de construcciones ya que son de carácter histórico (casa de reunión, casas comunales, casa de personajes históricos) o monumental (hechos históricos sin precedentes), como es natural, en el Perú el Ministerio de Cultura es uno de ellos sin mencionar algunos otros Organismos no Gubernamentales (ONG) nacionales y extranjeros que tienen la misma preocupación en el territorio nacional. (Rodriguez Filho, 2007).

Las construcciones de tierra están presentes en todo el mundo, inclusive algunos países potencia forman relaciones de cooperación internacional mutua para mejorar la técnica y procesos de construcción, cooperación que tienen los países de Francia e Irán, que fortalecen el intercambio de conocimientos en asuntos de mantenimiento, protección y reparación de edificios de adobe. (HispanTV, 2015) Estos tratados de cooperación generan nuevos conocimientos, técnicas y procesos en la construcción con tierra, que van ocasionando interés por este material y su procedimiento constructivo, España se está extendiendo la construcción de viviendas con adobe y además que este país tiene de una

norma técnica para las construcciones de adobe, con influencia especialmente en las zonas de la depresión geográfica de Guadalquivir y en Sierra Nevada donde la presencia de la humedad es mayor y permanente frente a otras regiones de España. (Yuste, 2016)

Así como la existencia de áreas geográficas permanentemente húmedas, existen otras completamente contrarias, aparentemente muy secas, como es África Occidental, tomando como ejemplo a la Mezquita de Djingareyber de Tombuctú en Mali, esta mezquita fue construida en el año 1325 y hasta ahora mantiene su forma estructural y diseño arquitectónico gracias a la gran cantidad de sol y poca humedad que recibe por lo que solo se percibe algunos agrietamientos en los muros y en las torres de adobe por el accionar del viento. (Arkiplus, 2021)

Los conocimientos, hábitos y costumbres de nuestros antepasados se han arraigado a nuestra vida cotidiana. Del mismo modo en la coyuntura Norteamericana en el país Estados Unidos, donde se ubica al Pueblo de Taos en el condado Nuevo México, que tiene sus construcciones de tierra con la técnica de adobe, cuyas viviendas son de varios pisos (van entre 2 y 3 pisos), dicha ciudad ha sido habitada aproximadamente por más de 1000 años, esta ciudad cada año tiene que recubrir o en algunos casos cambiar los adobes deteriorados de las edificaciones por efecto de la humedad, ya que estas son erigidas a ambos lados del Rio del Pueblo de Taos. (Organización de las Naciones Unidas para la Educación la Ciencia y la Cultura, 2021)

En América del Sur se ha visto que la técnica de construcción con adobe es más visible, como es el caso del país de Colombia, en la ciudad de Barichara que es una ciudad completamente construida con adobe y tapial, además de que es considerada de Interés Cultural de Carácter Nacional por poseer un alto grado de preservación arquitectónica de

estas estructuras de tierra. (Rivero Bolaños, 2021). En Brasil, donde las construcciones de adobe datan desde el siglo XVI, especialmente en regiones que son extremadamente pobres como en Jequitinhonha en el estado de Minas Gerais son de forma muy precaria sin embargo, existe una temperatura y clima propicio, donde la presencia de humedad no es un problema grave en sus edificaciones por lo que aparecen nuevas entidades y profesionales que están revalorando el uso del adobe como una forma sostenible de construcción debido a estas condiciones. (Rodriguez Filho, 2007)

En el Ecuador, La técnica diferenciada en este país colocan los bloques de adobe por encima de cimientos y sobrecimientos de piedra grande, esto con el fin de proteger a los adobes de la Humedad que va "subiendo" desde el suelo, es decir evitar que el agua ascienda por la propiedad capilaridad. Los vivientes de estas zonas alto andinas por experiencia propia y dentro de su conocimiento limitado, han determinado a la humedad como principal agente de daño a las estructuras de tierra. (Yepez Tambaco, 2021).

En Bolivia, ya que es uno de los países de la región en la que la presencia de edificaciones de tierra en sus ciudades es importante, como Chuquisaca tiene el 11% del total de las edificaciones de la ciudad son edificaciones de tierra, en La Paz se tiene un 37%, en Cochabamba el 16%, entre otras. La gran importancia de este tipo de edificaciones originó que en la Ciudad de la Paz se realicen seminarios, en la que se dieron cita técnicos, profesionales y científicos interesados por el gran potencial de este material a futuro, y el arco principal de estos seminarios la afectación por humedad, con el fin del mejorar la resistencia en este material y extender su durabilidad por más tiempo. (Facultad de Arquitectura Artes Diseño y Urbanismo, 2021)

En Perú las edificaciones de tierra también representan cultura e historia además que en la gran mayoría de las ciudades capitales de las regiones se encuentran ubicadas en la parte centro de la ciudad, teniendo un porcentaje considerable de este tipo de infraestructura de tierra, como lo indica el Instituto Nacional Defensa Civil - INDECI que informó al 30 de mayo del 2013, para ese mismo año, el 47.1% viviendas existentes son aquellas en las que predomina en sus paredes exteriores de adobe, tapia o quincha del mismo modo lo confirma el Instituto Nacional de Estadística e Informática -INEI. Con su barrido censal del 2014. (INEI, 2014). Teniendo en cuenta esta información sobre las viviendas de adobe y su gran presencia en el suelo nacional, se debe tomar en cuenta los efectos climatológicos que suceden en el país y que aportan un gran contenido de humedad en al ambiente, como es el caso del comúnmente llamado "Niño Costero" y el "Fenómeno del Niño" que son eventos climatológicos cíclicos. En referencia al "Niño Costero", afectó el norte del país en los primeros meses del 2017, y que una de las regiones principalmente afectadas fue Piura, este fenómeno dejo un aproximado de cincuenta y nueve mil doscientes cincuenta y ocho (59 258) viviendas deterioradas en gran magnitud, según informe del Centro de Operaciones de Emergencia Nacional (COEN) (TIEMPO, 2017).

Cabe resaltar que el Fenómeno del Niño no sólo afecta a la costa, sino también en mayor impacto a la sierra norte del país con lluvias de extrema intensidad y duración las cuales generan un aumento de la humedad y por ende más daño a las viviendas de adobe, tapial o quincha como son las casonas que están en los centros históricos que se han construido durante la época de los asentamientos españoles en el Perú, las cuales se mantuvieron durante la conquista, virreinato y actualmente en la etapa republicana y que necesitan de un mantenimiento perenne por el Instituto Nacional de Cultura (INC), por haberse declarado Patrimonio Histórico y Cultural de la Nación, cabe aclarar que en el

periodo de lluvias en la sierra comprende de tres (03) a cuatro (04) meses al año con lluvias de baja y alta intensidad de forma constante, añadiendo cierto porcentaje de humedad al ambiente, como lo puede confirmar las informaciones brindadas por el Servicio Nacional de Meteorología e Hidrología del Perú (SENAMHI).

Estas edificaciones coloniales fueron construidas con la técnica el adobe tradicional, llamado adobón comúnmente mucho antes de que existiera alguna norma o reglamento técnico al respecto, como se observa en el centro histórico de Cuzco, en especial la Casona de la calle San Agustín, cuyos adobes de esta casona colonial y de las demás viviendas que se encuentran en dicha zona monumental son afectadas indudablemente por la humedad originada por las lluvias de todos los años, que provocan deterioros y desmoronamientos externos e internos en las edificaciones, y técnicamente se tratan de colocar apuntalamientos a los muros para evitar su colapso y mitigar el peligro de afectación a las vidas humanas hasta que sean reparados o resanados los desperfectos con nuevos adobes, sin embargo, estos no son realizados con alguna técnica que los haga hidrófoba y duradera con respecto a la humedad que los ataca (Diario Correo, 2015).

En Cajamarca la situación no es tan diferente a la de Cuzco, mediante información proporcionada por el Subgerente de Defensa Civil de Municipalidad Provincial de Cajamarca, David Mosqueira¹ afirmó que más del 50% de las edificaciones de tierra del centro histórico de Cajamarca estarían en peligro de colapso por las lluvias intensas de la época, afectando su durabilidad ya que se debe a la antigüedad de estas edificaciones y la falta de mantenimiento preventivo y correctivo de los titulares y propietarios de estos inmuebles, desde luego también se considera el deficiente drenaje interior del agua de lluvia dentro de estas edificaciones, ya que algunas de estas viviendas de tierra, poseen

-

¹ Fue Sub Gerente de esa área en el año 2012

áreas libres internas (patios internos) los cuales mantienen agua y humedad, propiciando un ataque de humedad en la parte interna de las edificaciones (RRP, 2012).

Como se ha notado por el momento, las construcciones con tierra existen alrededor del mundo y en el país muy en particular, además de que las instituciones fortalecen la prevención y el mantenimiento de un gran porcentaje del total de edificaciones que existen o que se construyen, no obstante, las normas para su construcción tanto en técnica como en métodos, no han tenido un crecimiento equivalente, existen métodos para control y verificación las propiedades mecánicas de las unidades, mas no mecanismos o ensayos normados para detener la vulnerabilidad hacia la humedad con el empleo de aditivos naturales o artificiales que se usen las construcciones de tierra tanto para la construcción como para los acabados (revoques), esto no quiere decir que, no se hayan hecho estudios, sino que falta especificar una lista de materiales para detener/aminorar este daño y así de esta manera brindar seguridad a las personas que habitan o puedan habitar este tipo de construcciones.

1.1.2 Descripción del problema

Los bloques de tierra elaborados de forma artesanal masificada utilizados en las construcciones de las edificaciones de tierra junto con sus acabados en vanos y muros van a soportar muchas patologías conforme a las condiciones climáticas a las que son sometidas, inclusive en muchas ocasiones a eventos extremos como inundaciones, huaycos, lluvias de gran intensidad, lo que provoca presencia de humedad en los muros de la edificación, además que las acciones atmosféricas (lluvia, granizo, nieve, viento, entre otros) proveen una humedad intersticial por la absorción natural del agua en estos elementos que puede provocar el deterioro del material de la cobertura y posteriormente los desprendimientos de este, llevando eventualmente a la pérdida o disminución de la

capacidad portante de la estructura, deformaciones y cambios de dimensión en los muros (asentamientos de puertas y/o ventanas), además de generar proliferación de otros organismos que pueden ocasionar daños a la salud a los ocupantes debido a la humedad. (Moyano & Moyano, 2014)

La humedad es el "enemigo" natural de las construcciones con tierra, esta genera que la resistencia tanto a compresión y al corte de las mamposterías de adobe se vean drásticamente disminuidas. La presencia de la humedad en las paredes tiene causas variadas como: inadecuada protección de los muros contra las lluvias, humedad excesiva en el suelo por una cimentación inadecuada o la ausencia de esta, algunas instalaciones de agua defectuosas empotradas en los muros, entre otras; por lo que la presencia de humedad es particularmente peligrosa cuando ocurre en la parte inferior de los muros, ya que estos se empiezan a dilatar de forma transversal ocasionando el colapso por el peso propio de la estructura. Sumado a lo anterior, la erosión producida por la acción del viento, las acciones del ser humano y de los animales que interactúan con la infraestructura van afectando los enlucidos y muros que van perdiendo la sección neta reduciendo su resistencia a las cargas verticales y al corte cuando ocurra un sismo. Los daños en estas estructuras en combinación de sismos y del deterioro por humedad o erosión se vuelve complejo de evaluar luego de los colapsos de las estructuras. (Torrealva Dávila, 2003)

Cuando se habla sobre los daños por humedad en las edificaciones de tierra, corresponde a la impregnación de líquido observable en alguna zona o parte de la edificación de tierra, lo que va modificando las propiedades estructurales conforme pase el tiempo y el grado de daño que este presentó, por ello se pueden distinguir los daños específicos como: *Humedad en el piso interior*, este se encuentra relativamente alejado

de las paredes o muros y se reconoce por las manchas en el piso adicionando la sensación olfativa de la humedad; *Humedad en la parte inferior del muro*, ocurre por la situación de capilaridad, pero esta vez en los muros que están expuestos a causa de las lluvias, salpicaduras producto del tránsito vehicular, canales de evacuación pluviales cerca o filtraciones de baños y cocinas; *Humedad en zonas puntuales del muro*, aquellas provocadas por las filtraciones de las instalaciones de agua potable o de drenaje de lluvia; *Humedad en la parte superior del muro*, proviene de las filtraciones que existen en la cubierta de la edificación (dependiendo del nivel) netamente ocasionadas por la lluvia. El daño a los muros se puede reparar con la incorporación de otros materiales como: yeso, cal con arena, arcilla con arena, colca (mezcla de cola, leche entera, cal y agua) y morteros con arena y ripio y con concreto. (Cooperación del Desarrollo Tecnológico, 2012)

Conociendo ya que la humedad es la patología más perjudicial para las edificaciones de tierra, es imperativo aclarar que la Región Cajamarca tiene doscientas sesenta y cuatro mil trescientos diez (264 310) viviendas particulares con ocupantes presentes con adobe o tapia predominante en las paredes exteriores lo que representa el 70.30% del total de viviendas, después de Huancavelica con el 82.4% (84 835 viviendas) y Apurímac con el 76.1% (91 752 viviendas) (INEI, 2018), y por supuesto estas paredes exteriores son las que más sufren con las condiciones atmosféricas: lluvia, granizadas, neblinas y fuertes vientos y sobre todo las condiciones del fenómeno del Niño, dentro de este conjunto se encuentran las casas y casonas coloniales que forman parte de la historia del Perú, e inclusive en estas se han dado reuniones y acuerdos históricos, por lo que es necesario proteger este tipo de viviendas con ciertos materiales que puedan mejorar la resistencia a la humedad.

Al entender que la humedad es una de las principales patologías y sobre todo las más dañinas en las estructuras de tierra, se han realizado investigaciones y prácticas para mejorar la respuesta de estas ante su acción, con la incorporación de diferentes materiales en la tierra, los más populares son el cemento y cal. Si bien es cierto, se pueden utilizar estos materiales muy conocidos en la construcción y tienen gran afinidad por el agua, ya que este es su solvente por naturaleza, no obstante, se pueden utilizar otros materiales que deberían proveer una mejor resistencia a la humedad a los adobes y en especial a los acabados para que de alguna manera se vean menos afectados por las condiciones atmosféricas propias de la zona andina. Algunos de estos materiales son los llamados jabones metálicos, que son hidrofóbicos, es decir al contacto con el agua no se disuelven (estos son completamente insolubles en agua), sino que repelen completamente el agua, pero si son solubles en compuestos apolares (por ejemplo en los hidrocarburos aromáticos), uno de estos jabones metálicos es el estearato de zinc, por lo que su integración diluida con acetona en ciertos porcentajes a la tierra (formando parte de ella dentro de la mezcla o simplemente bañada por fuera) con la que se elaboran estas construcciones y acabados, puede mejorar la resistencia a la humedad, añadiéndole la característica de hidrofóbica.

Es por ello, que se pretende incluir el material comúnmente denominado jabón metálico diluido con acetona para asegurar su mejor integración con la tierra que se va a formar con la mezcla de agua, para que se integre de una manera más uniforme dentro de los especímenes que se van a elaborar, para luego someterlos a los ensayos correspondientes de humedad controlada y observar y medir las reacciones físicas que se producen.

1.1.3 Formulación del problema

¿En cuánto varía la resistencia a la humedad en los especímenes de tierra, al incorporar en la mezcla o bañado externo de estearato de zinc diluido en acetona en dosis de 1%, 2% y 3% del peso del suelo?

1.2 Justificación e importancia

1.2.1 Justificación científica

La investigación se realiza con la finalidad de contribuir al conocimiento sobre la utilización e incorporación de otros materiales en los procesos constructivos, en este caso el jabón metálico llamado estearato de zinc, que se puede incorporar a la tierra (de dos formas: un integrándola en la matriz y otra colocándola externamente, mediante un bañado), con la que se construye y se hacen los acabados en las edificaciones de tierra para que se puedan minimizar los daños ocasionados por la humedad en estas edificaciones.

Recordando que en nuestro país, y sobre todo la parte andina, los fenómenos naturales como lluvia, granizo, heladas, neblinas producen una gran concentración de humedad y afectan a las viviendas de tierra, que según el Instituto Nacional de Estadística e Informática tan solo en la región Cajamarca según el Censo del 2017, existen más de doscientas mil (200 000) viviendas con muros exteriores de tierra, esto incluye a las casonas coloniales ubicados en los centros históricos de las diferentes ciudades de las provincias de Cajamarca y más aún en nuestro propio Centro Histórico donde se dejan ver los serios problemas ocasionados por la humedad, que con el uso del estearato de zinc (jabón metálico) minimice dichos problemas.

También este trabajo de investigación, intenta fomentar el uso de otros materiales que se pueden incorporar en los procesos constructivos, añadiendo nuevas características a los elementos que tienen a la tierra como principal componente, en este caso la

incorporación de estearato de zinc diluido con acetona provee la característica hidrofóbica tanto incorporado en la mezcla como en el bañado de las muestras, lo que significa que en cierto modo mejorará la resistencia a la humedad tratando de repeler al agua y de esta manera se generen daños menores en la infraestructura y acabados de las edificaciones de tierra, aumentando la durabilidad de estas y en forma colateral generando la menor intervención humana para la rehabilitación de este tipo de edificaciones.

En cuanto a la justificación personal, esta investigación permite ganar experiencia y pericia en cuanto a la exploración de nuevos materiales a ser usados en la construcción, de esta forma asumir nuevos desafíos profesionales y que estos puedan ser afrontados con el conocimiento teórico y práctico que ha sido adquirido con la finalidad de aportar con un "granito de arena" al desarrollo de nuestra sociedad.

1.3 Delimitación de la investigación

- ➤ Para la elaboración de los especímenes se usó el método manual especificado en el Anexo N° 2 "Prueba de arcilla o Resistencia Seca" establecida en la norma E.080 "Diseño y Construcción con tierra Reforzada".
- Se usó una tierra anteriormente estudiada del sector de Cruz Blanca de la Ciudad de Cajamarca, que es del tipo SP-SC, que a partir de sus datos de Proctor Modificado contenido óptimo de agua para hacer la mezcla y conformar los especímenes del estudio.
- ➤ Se realizó dos ensayos diferenciados en cuanto a la Resistencia a la humedad, el primero de absorción conforme a lo establecido en la norma E.070 "Albañilería" en el capítulo 3, artículo 5, ínciso 5.4 literal a, en la que se requieren por control de calidad 5 especímenes para la prueba de absorción;

- **el segundo** mediante la simulación de goteo controlado sobre los especímenes, del cual lamentablemente no existe norma a seguir.
- ➤ Se realizará el ensayo de **esfuerzo de rotura mínimo a compresión** en especímenes cúbicos de 0.1m de arista, con el material en el cual el químico diluido haya sido incorporado en la matriz del material, conforme lo especifica el Artículo 8, del Reglamento Nacional de Edificaciones (RNE) en la norma E0.80. "Diseño y construcción con tierra reforzada"

1.4 Limitaciones

La prueba del goteo controlado no se encuentra estandarizada en Perú y una máquina simuladora de lluvia es costosa, por lo que en esta investigación paralelamente, se pretende simular esta prueba con un goteo directo con la finalidad de que esta sirva a posteriores investigaciones relacionadas a la humedad y sus daños en las edificaciones de tierra.

El préstamo de balanzas calibradas de la UNC para las mediciones correspondientes tan solo tiene la **medición de gramos**, cuya medición en el peso del material a gran escala **no se tendrá error de medición** obteniendo certeza y confiabilidad de los datos obtenidos en los ensayos a realizar, no obstante, cuando se trate de ensayos de goteo por el tiempo establecido los datos no pesaje no podrán reflejarse de forma cuantitativa y precisa.

1.5 Objetivos

1.5.1 Objetivo general

Determinar la variación de la Resistencia a la Humedad en especímenes de tierra con la incorporación en la mezcla o bañado externo de estearato de zinc diluido en acetona en dosis de 1%, 2% y 3% del peso del suelo.

1.5.2 Objetivos específicos

Determinar la resistencia a la humedad de los especímenes de tierra sin la incorporación o bañado externo del estearato de zinc diluido en acetona.

Determinar la resistencia a la humedad de los especímenes de tierra con la incorporación en la mezcla de estearato de zinc diluido en acetona en dosis del 1% 2% y 3% del peso del suelo.

Determinar la resistencia a la humedad de los especímenes de tierra con el bañado externo de estearato de zinc diluido en acetona en dosis del 1% 2% y 3% del peso del suelo.

CAPITULO II

MARCO TEÓRICO

2.1 Antecedentes de la investigación

A nivel internacional

En la Investigación de Lanzón et al. (2017) titulada "Use of zinc stearate to produce highly-hydrophobic adobe materials with extended durability to water and acid-rain" [traducción: Uso de estearato de zinc para producir materiales de adobe altamente hidrofóbicos con durabilidad prolongada para el agua y la lluvia ácida] hace referencia a una inclusión del jabón metálico novedosa para aumentar la durabilidad de los materiales de adobe respecto a la humedad y sus resistencias mecánicas con estearato de zinc en dosis que van entre 0.25% y 2.00% del peso/peso, se realizaron mediciones de densidad aparente, velocidad de propagación ultrasónica y contracción en las muestras curadas. Además, las características de durabilidad y absorción de agua se determinaron mediante pruebas capilares, ensayándose en tubos Karsten, sumergimiento en agua y en soluciones de ácido clorhídrico (5% peso/peso) y ácido sulfúrico (5% peso/peso). El estudio de durabilidad se completó con ensayos de erosión por efecto de lluvia común y por lluvia ácida. La absorción de agua capilar fue semejante a la que poseen los revoques de cemento hidrofóbico y la erosión de la lluvia ácida fue ínfimo en muestras que incorporaban el 1.00 y 2.00% del peso/peso de estearato de zinc. Igualmente, en el examen Barrido Microscópico Electrónico confirmó la protección del estearato de zinc frente a la acción de la lluvia ácida. Para finalizar, se determinó que el estearato de zinc era una excelente opción para mejorar la durabilidad y otorgar cierta resistencia adicional a la tierra utilizada para fabricar adobe (Lanzón y otros, 2017).

Debido a que los antecedentes son escasos sobre el jabón metálico y su uso en elementos de tierra, se toman en consideración investigaciones importantes que tratan los temas de humedad en elementos/bloques de tierra:

En el artículo científico titulado: "Is stabilization of earth bricks using low cement or lime contents relevant?" [En español: ¿Es la estabilización de ladrillos de tierra con bajo contenido de cemento o cal. pertinente?], establece que una construcción convencional produce entre el 9% al 10% de la emisión del gas CO₂, es por ello que han volteado hacia la construcción de edificaciones basadas en tierra, aunque es reconocido que este tipo de construcciones tiene vulnerabilidad frente al daño producido por el agua líquida, en efecto la alta humedad es causada potencialmente por las inundaciones, lluvias de gran intensidad o posibles fugas accidentales de agua, que resultan deteriorando la fuerza de la estructura llegando a colapsar esta. El objetivo de este estudio está relacionado al rendimiento y resistencia al agua de los adobes estabilizados con bajo porcentaje, menos del 4% de contenido de aditivos de cemento y cal. Para las *pruebas* mecánicas se ensayó especímenes cilíndricos de diámetro de 50 mm y altura de 50 mm; y especímenes prismáticos de 150 mm de ancho y 50 mm de espesor para las *pruebas* higrotérmicas utilizando una prensa hidráulica, dichos especímenes se forman mezclando al suelo con al agua al 10% del contenido y almacenado en un bolsa de plástico sellada por 24 horas, para luego añadir la cantidad requerida de aglutinante y se homogenizó manualmente con inserción del agua restante para el mezclado mecánico. Todos los especímenes fueron secados con una humedad relativa del 50% y a una temperatura de 20°C, la variación del peso pasadas las 24 horas fue menor del 0.1% del peso. (Ouedraogo y otros, 2019)

El efecto del curado es necesario en los adobes que contienen cemento y cal se mantengan húmedos, lo cual les hizo ganar resistencia a la compresión a los 21 días, pasando de 5.7 MPa a 6.3Mpa en las muestras *con 4% de cemento* y de 3.5 MPa a 4.3 MPa para el *4% de cal*, sin embargo, los que se mantuvieron siempre secos a temperatura ambiente de 20°C y con una humedad relativa de 50% presentan mucho mayor resistencia (ver en anexos, **Figura 29**). (Ouedraogo y otros, 2019)

En cuanto a la resistencia a el agua, se sumergieron los adobes durante 2 horas, y se procedió a la rotura, alcanzado resistencias entre 0.2 y 0.6 MPa (Lo que es una prueba diferente que no se ha visto hasta el momento en investigaciones anteriores.) En la prueba de Valor de Buffer de Humedad, la adición de cemento y cal redujo el valor de amortiguación de humedad para ambos suelos, los especímenes estabilizados con cemento y cal aún son excelentes según el criterio Nordtest. También se observó que el suelo N (suelo arcilloso, de color beige) era más higroscópico (es la capacidad de algunas sustancias de absorber humedad del medio circundante) que el suelo B (parece una laterita, con un color rojo característico relacionado con la presencia de óxidos de hierro), dado por la diferente naturaleza de los minerales arcillosos contenidos en los dos suelos. (Ouedraogo y otros, 2019)

En el siguiente artículo científico titulado "Ensayos a mezclas de barro estabilizadas para el relleno y empañetado de paredes de Bahareque" (2016) hecho en Venezuela, menciona que la humedad es la que mayormente daña a las edificaciones de Bahareque, ya que las mezclas de tierra que se realizan no son adecuadas para estas edificaciones, dado que estas en los últimos años han generado un interés en el mundo por ser consideradas edificaciones sostenibles por emplear materiales naturales, es decir eco-amigables. Frente a la vulnerabilidad hacia la humedad que presentan estas

edificaciones, se propone realizar dosificaciones de cemento y cal para mezclar con la tierra para construir y reparar las paredes de Bahareque. Sin embargo, dichas dosificaciones de mezclas con tierra no están reglamentadas, por lo que basaron su dosificación en investigaciones previas de diferentes partes del mundo. Se planteó usar como máximo el 10% (en partes) de los aditivos de cemento y cal y la combinación de estos tanto para el relleno como para el empañetado, para determinar cuál de estas combinaciones generaría la menor absorción de agua durante los ensayos con la finalidad de ponerla en prácticas futuras (Hennenberg De León & Briceño, 2016).

En cuanto a los resultados del *Grupo A*, la arcilla es una vermiculita de alta plasticidad, la arena roja es una arena-limo-arcillosa con 2.63% de arcilla; y para el *Grupo C*, en cuanto a la *Mezcla propuesta para el relleno usando como aditivo el cemento utilizando el 10% en partes*, logra cierta impermeabilidad dentro de lo sostenible; en cuanto a la *mezcla propuesta para el relleno usando aditivo el cemento y la cal, manteniendo la proporción de 10% (en partes) usando el 5% de cada componente*, se mantuvo por debajo de la muestra patrón (barro sin aditivos) para la impermeabilidad. Para la *mezcla propuesta para el empañetado usando como aditivo el cemento y la cal,* con un 3% de cemento y 12% de cal, resultó cierta impermeabilización por debajo del patrón recomendando usar esta mezcla para el empañetado y por último para la *mezcla propuesta para el empañetado usando como aditivo cal*, superó la absorción de la muestra patrón, por lo que se no se recomienda este tipo de mezcla ya que aumenta la permeabilidad. (Hennenberg De León & Briceño, 2016).

Los autores definen el término "cierta impermeabilidad" en el ensayo de absorción que se mantienen en un rango de 9.97% y 22.10% conforme a sus resultados obtenidos, además especifican que los porcentajes añadidos de cemento y cal no son

totalmente críticos para ser denominados perjudiciales para la sostenibilidad y que tienen un impacto moderado hacia el ambiento por el uso de desperdicios de cemento y arcilla. (Hennenberg De León & Briceño, 2016).

Acorde al artículo científico titulado "Eco-friendly modification of earthen construction with carrageenan: Water durability and mechanical assessment" [En español: Modificación ecológica de la Construcción de tierra con carragenina: durabilidad del agua y evaluación mecánica]. Considera que estas construcciones presentan inconvenientes frente a la resistencia mecánica en efecto son los daños severos que se producen durante un sismo. En cuanto a la durabilidad con poca resistencia a la humedad y ataque de agua, ya que es menos durable que otros materiales de construcción, además de que la alta humedad y las lluvias generan efectos catastróficos en la estabilidad y fuerza de las construcciones de tierra, de la misma forma se considera que estas estructuras albergan plagas y que en ocasiones la erosión o rotura de los muros y revoques de tierra. (Nakamatsu y otros, 2017)

Frente a esto se han propuesto muchas técnicas de mejorar de las propiedades de estas construcciones, en las técnicas se determinan la incorporación de aditivos para generar la estabilización mecánica y contra la erosión producida por el agua, incrementando estas la resistencia a la compresión, la abrasión y además mejorando el aislamiento térmico, por lo que en esta investigación se añadió carragenina, que es un grupo natural de los polisacáridos y que están presenten en la alga roja, ya que su gran capacidad de gelificación (proceso de espesar y estabilizar soluciones líquidas, emulsiones y suspensiones), en este estudio se pretende medir los efectos de la adición del biopolímero en soluciones del 0.5% al 2% en la relación de masa a volumen de carragenina diluida en agua destilada, cuya adición en la elaboración de bloques de tierra

estudia su durabilidad contra el agua y sus resistencias mecánicas. (Nakamatsu y otros, 2017). Se emplearon los siguientes ensayos para medir la durabilidad frente al agua como: Permeabilidad de agua con un cierto ángulo de contacto, Erosión por agua mediante prueba de goteo, y Envejecimiento al aire libre con ángulo de contacto y prueba de goteo. Para la fabricación de los elementos de prueba de aplicaron de dos formas distintas, la primera se mezclaron los 3 tipos de soluciones (0.5%, 1% y 2% de en la relación de masa a volumen de carragenina diluida en agua destilada) con el material del suelo de forma manual por 5 minutos hasta obtener una mezcla homogénea, y en la segunda, se revistieron los elementos con la carragenina, simplemente sumergiéndolos en esta. Para los ensayos de durabilidad, se hicieron muestras cilíndricas de 55mm de diámetro y 10 mm de altura, dejadas bajo un ambiente controlado en 20°C y al 60% de humedad por una semana. Para el estudio de las propiedades mecánicas (ver Anexos Figura 32) solo se utilizó la Solución III (2%) en la fabricación de los especímenes, de los cuales los especímenes cilíndricos de 34 mm de diámetro y de 71 mm de altura fueron ensayados a compresión y en la prueba de Split, y para el ensayo de flexión de tres puntos fueron usados especímenes prismáticos de 42x44x125 mm, los cuales fueron secados en condiciones ambientales normales con un contenido de humedad relativo al 4%, recalcando que las muestras patrón y la sumergidas fueron solo elaboradas con tierra y agua. (Nakamatsu y otros, 2017) En la prueba de permeabilidad del agua y erosión, se midió el ángulo de contacto, donde las muestras de control sin carragenina el agua se absorbió inmediatamente y completamente por lo que no resistió a la erosión, en cambio los que fueron tratadas con recubrimiento de carragenina se obtuvo ángulos que van desde 101-104 (ver en Anexos Figura 33), indicado hidrofobicidad, mientras que por otro lado las muestras con incorporación de carragenina no mejoró la repelencia al agua. (Nakamatsu y otros, 2017) En cuanto al ensayo de erosión por agua, las muestras sin carragenina luego de un minuto presentaron un daño completo perdiendo su figura, en el caso de las muestras en las que se han incorporado la carragenina, esta proveyó una mediana protección que es significante contra este tipo de erosión y aquellas muestras en las que se revistió con carragenina, resistieron significativamente, que pasados los 4 minutos del ensayo aún mantenían su forma, pero ya estaban siendo dañados significativamente. Para los ensayos de las propiedades mecánicas, sólo se empleó la Solución III (2%), cuyo resultado fue un incremento del 85%, 33% y 52% para en ensayo a compresión, prueba Split y la de flexión respectivamente. (Nakamatsu y otros, 2017)

A nivel nacional

En nuestro país, también se desarrollan investigaciones diversas sobre la vulnerabilidad de las construcciones con tierra respecto de la humedad, no sólo como fenómenos climatológicos, sino de inundaciones, producto de las lluvias intensas.

Como se muestra en la tesis de investigación titulada "Mejoramiento de las construcciones de adobe ante una exposición prolongada de agua por efecto de inundaciones" en la que se diseñaron cuatro (04) tipos de muros para ser sometidos a una inundación en un canal en U (ver en Anexos Figura 34) de concreto armado impermeabilizado de profundidad para el ensayo de treinta (30) centímetros. Los muros fueron, el muro patrón (MP), el muro con sobrecimiento de concreto simple (MC) y muro con base de adobe estabilizado con cemento (ME) y un muro tarrajeado con concreto simple (MT). El canal U, está compuesto por cuatro (04) secciones de dimensiones iguales para cada lado y separados herméticamente uno del otro, logrando su independencia de agua con la finalidad de tener medidas precisas respecto de la

capilaridad, absorción y el desempeño en el tiempo en el que está sumergido el muro. (Cabrera Arias & Huaynate Granados, 2010)

La colocación de cada uno de los muros (todos ellos de 1.65m de largo, 1.50 m de alto y de 0.13 m de espesor de forma general), en los canales independientes con sus medidas de nivel de agua (ver Anexos **Figura 35**), permitió la evaluación de la afectación directa por el agua en el caso de una inundación, obteniendo que le muro patrón (MP) colapsó a los 20 minutos de iniciada la prueba, el muro con adobes estabilizados (ME) después de 17 días se demolió manualmente, donde el ascenso por capilaridad fue de un poco más 6 hiladas en altura (3 de adobe estabilizado y 3 de adobe común); en el muro de sobrecimiento de concreto simple, el ascenso del agua de detuvo a los 9 cm por encima del nivel del agua, sin afectar el muro de adobes manteniéndose en pie por los 17 días; E cuanto al muro tarrajeado en su base, presentó un ascenso del agua por encima del tarrajeo (hilada 6) y desde el la hilada tres (03) al partir retirar el tarrajeo se encontraron adobes completamente inconsistentes. (Cabrera Arias & Huaynate Granados, 2010)

En la siguiente investigación de posgrado titulada "Estudio de las Propiedades Mecánicas y Físicas del Adobe con Biopolímeros de Fuentes Locales" en el que usa dos biopolímeros naturales de origen peruano que son la quitosana y la carragenina que son incluidas en el material para modificar las propiedades mecánicas y características físicas. La quitosana fue comprada de la empresa Sigma-Aldrich, este biopolímero fue incluido en soluciones de concentración entre el 1% y 3%; y la K-carragenina se adquirió del yuyo (Chondracantus chamissoi) que es un alga común de color roja y que está suelta en agua de mar que es de fácil obtención. Se desarrollaron dos grupos de especímenes, el primer grupo se conformó mezclando una solución del 3% de quitosana con tres (03) partes de tierra. En el segundo grupo consistió en un recubrimiento de los especímenes con

soluciones acuosas de quitosana en concentraciones de 1% y 3% y de carragenina en 2%. Los especímenes patrón utilizados se formaron con agua destilada. (Ramírez Caparó, 2018). En esta investigación se empleó el *ensayo de Swinburne* modificado para medir la erosión acelerada en especímenes de 55 mm de diámetro y 7 mm de altura, es decir unas placas de tierra, obteniéndose que con la adición de las láminas que recubren los especímenes con quitosana y carragenina incrementa la impermeabilización de las superficies y la acción conjunta de incorporación de estos biopolímeros (ver en Anexos **Figura 36**) en la mezcla para elaborar los especímenes inclusive aumenta las resistencias mecánicas al doble de lo que la muestra patrón indica. (Ramírez Caparó, 2018)

A nivel local

En lo que respecta a investigaciones *de ámbito local*, se tienen algunas tesis en las que se hacen pruebas de humedad directamente a los "*Bloques de Tierra Comprimidos (BTC)*" que son estabilizados con algunos componentes orgánicos e inorgánicos, por lo que se presentarán a continuación las investigaciones realizadas en la ciudad de Cajamarca, de sus distintas universidades. En la investigación de pregrado titulada "*Propiedades Mecánicas e Hidrofóbicas de adobes compactados al incorporar estearato de zinc*" (2019), indica la que se incorporó a la tierra el estearato de zinc en porcentajes de 1%, 2% y 3% del peso del suelo usado en la elaboración de adobes compactados, donde las resistencias mecánicas a compresión fueron superiores a lo que la muestra patrón mostró, superiores en 26%, 14% y 3% más respectivamente al orden de los porcentajes en cuanto a la resistencia mecánica a tracción por flexión la incorporación del estearato de zinc, disminuyó la resistencia a 53%, 51% y 38% respecto del espécimen patrón, y para medir la hidrofobia se decidió aplicar el ensayo de albañilería de la Norma E0.70 — Albañilería sumergiendo las unidades el agua, se dejó notar que con la

incorporación del estearato de zinc en mayor porcentaje al 3% logró repeler el agua en más del 20% respecto del patrón, a pesar de que los elementos fueron desintegrándose al pasar las 24 horas, se registraron tiempos de ruptura/agrietamiento del adobe en 12 horas 25 minutos, 15 horas 17 minutos, 18 horas 46 minutos con los porcentajes de 1%, 2% y 3% del estearato de zinc, demostrando que esta incorporación aporta o genera cierta hidrofobicidad en estos elementos. (Cáceres Vásquez, 2019)

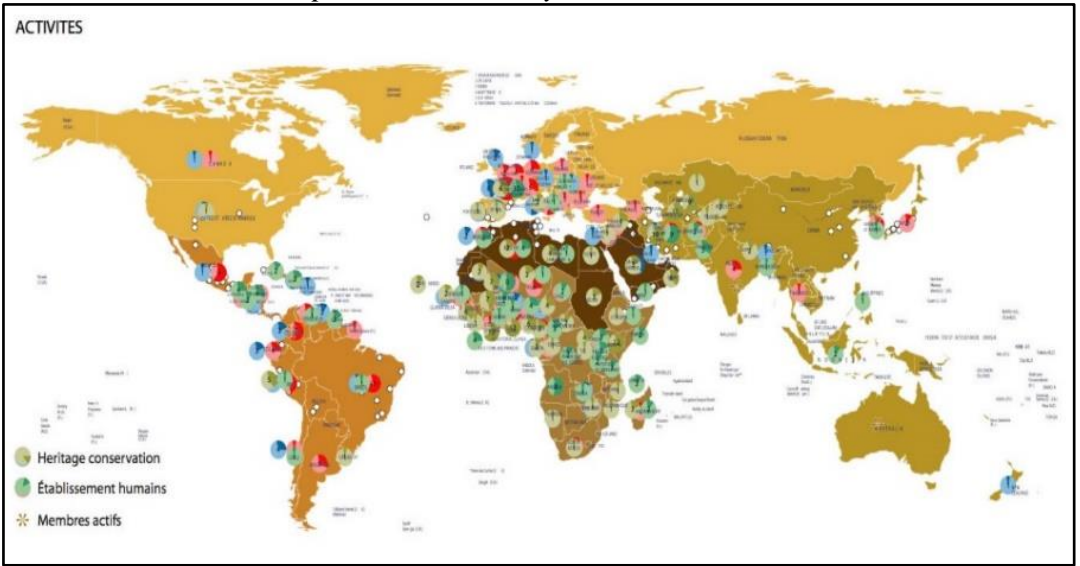
2.2 Marco doctrinal de las teorías particulares en el campo de la ciencia en la que se ubica el objeto de estudio

2.2.1 Construcciones de tierra

La tierra, como elemento de construcción ha sido un material tradicional predominante junto con las maderas y grandes hojas vegetales desde los tiempos remotos. Las construcciones de este material datan de más de 9 000 (nueve mil) años aproximadamente, ya que en Turquestán ubicada en Asia Central fueron descubiertas construcciones de tierra que hacían la función de vivienda que fueron datadas del 8 000 – 6 000 a.C. Otro aspecto importante de estas edificaciones, es que también fueron y son usadas hasta la fecha como lugares de culto, inclusive algunas son fortalezas. (CRAterre, 2021)

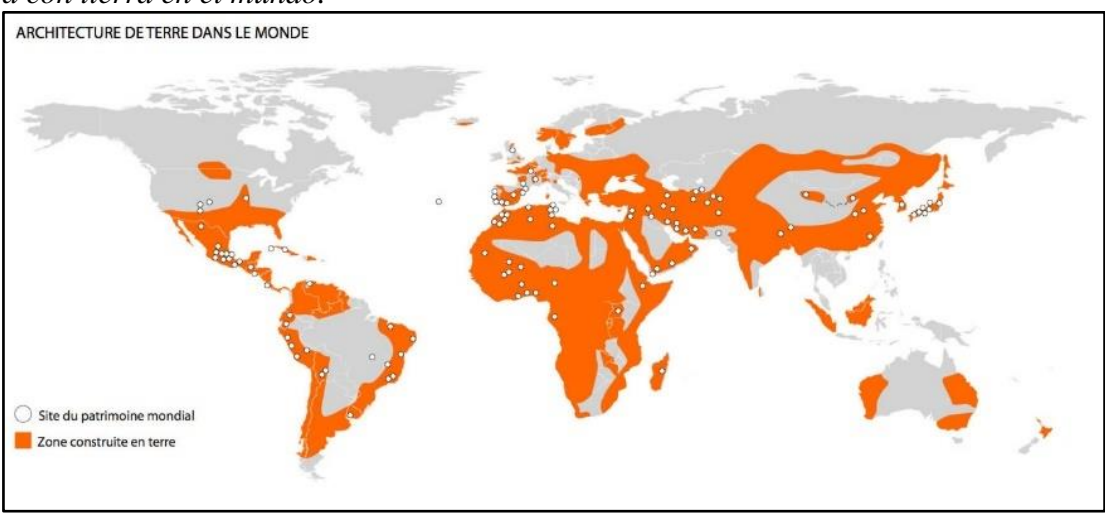
Figura 1
Construcciones de tierra en mundo por conservación y asentamiento humano.

ACTIVITES



Nota: El gráfico representa los diferentes puntos en el mundo en el que hay conservación de las construcciones de tierra y los establecimientos humanos. Adaptado de: "*Galería de Imágenes de CRAterre*" (CRAterre, 2021).

Figura 2 *Arquitectura con tierra en el mundo.*



Nota: El gráfico representa los diferentes zonas y puntos de patrimonio monumental en el mundo de las construcciones de tierra y. Adaptado de: "Galería de Imágenes de CRAterre" (CRAterre, 2021).

Al igual que CRaterre de Francia, alrededor del mundo existen instituciones y centros de investigación que estudian las mejoras en la calidad de las técnicas de

construcción en los materiales de tierra. Existen: la Universidad Católica de Kassel ubicado en Alemania; el Centre Cientifique et du Batiment Técnica ubicado en Paris, en Lyon el Institut National des Sciences Appliques; el Centro de Investigación y Aplicación del Material Tierra en Grenoble, todos ellos en Francia y además de la existencia de un centro en nuestro continente en Califoris Estados Unidos, llamado Cal-Earth que es el Instituto de California del Arte de la Tierra y Arquitectura. (Trigo Salas, 2015)

Las construcciones y edificaciones con tierra, presentan varias ventajas, respecto a la construcción de material noble (acero, concreto y ladrillo) como se describen a continuación: (Trigo Salas, 2015)

- Inercia térmica: la tierra hecha barro almacena calor para luego liberarla, lo que permite que el clima de las habitaciones se mantenga fresco.
- Aislamiento acústico: estas construcciones forman una barrera eficaz cuando ruidos ambientales son fuertes en el caso de rayos o lluvias intensas, ya que trasmiten mal las ondas sonoras.
- **Sostenibilidad:** en el estado actual de calentamiento global, estas viviendas son de un material reutilizable, reciclable e inocuo.
- Disponibilidad: fácil de obtener de cualquier lugar y se le puede adicionar cualquier estabilizante orgánico o artificial para mejorar sus propiedades mecánicas.
- Idóneo para la autoconstrucción: las unidades de albañilería de este tipo de
 construcciones no se presta su elaboración la mano de obra calificada, pero para
 la construcción se requiere un personal capacitado y con experiencia en la
 construcción de estas.

2.2.2 Normativa en el mundo

Como se mencionó sobre la existencia de las construcciones de tierra en el mundo, también corresponde a hablar sobre la normativa vigente alrededor del mundo para las construcciones con tierra, las cuales que con criterios de ingeniería y basados en las experiencias de las investigaciones y de expertos en el tema se han ido formando.

Cabe rescatar, que es muy probable que a la fecha existan o se estén publicando nuevas normativas en algunos países, o modificaciones de las mismas por los entes gubernamentales que conforme a los estudios realizados por sus universidades más sobresalientes, pueden ir incorporando nuevas técnicas o materiales para mejorar las condiciones de las unidades y revestimientos de las construcciones de tierra. Un ejemplo claro es la norma peruana del Reglamento Nacional de Edificaciones Norma E0.80, que en un primer momento se llamaba "E. 080 Adobe" y paso a llamarse "E.080 Diseño y Construcción con tierra", para tal efecto se va a mostrar, un cuadro de recopilación de normas, como lo menciona Falcedo. J, Mazarrón, F y Cañas. I (2011) en su publicación llamada "Las normativas de construcción con tierra en el mundo":

Figura 3 *Reglamentos alrededor del Mundo sobre Construcciones de Tierra*

País	Norma/Reglamento	Organismo	Estabilización	Adobe	ВТС	Tapial	Notas
	NBR 8491, 1986.						BTC Estabilizado con cemento específico,
	NBR 8492, 1986.						métodos de ensayo.
	NBR 10832, 1989.						Procedimiento fabricación BTC con
	NBR 10833, 1989.				х		prensa manual/hidráulica.
	NBR 10834, 1994.						English of the decidence of the decidenc
	NBR 10835, 1994.						Especificaciones y métodos de ensayo de
Brasil	NBR 10836, 1994.	ABNT	X				bloques de suelo-cemento.
	NBR 12023,1992.						
	NBR 12024, 1992.						
	NBR 12025. 1990.						Métodos de ensayo para suelo-cemento.
	NBR 13554, 1996.						
	NBR13555, 1996.						
	NBR 13553,1996					Х	Tapial con cemento.
Colombia	NTC 5324, 2004.	ICONTEC	Х		Х		Estabilizado con cemento.
	NMAC, 14.7.4, 2004	CID		Х	х	Х	Reglamento estatal de Nuevo México.
EE.UU	ASTM E2392 M-10	ASTM		Х		Х	-6
España	UNE 41410:2008	AENOR			Х		Primera norma Europea.
Francia	XP P13-901,2001	AFNOR			Х		Norma Experimental.
riancia	IS 2110: 1980	BIS	Х		<u> </u>	Х	Paredes de suelo-cemento
India	IS 1725: 1982	BIS	X		Х		i diedes de sacio cemento
	IS 13827: 1993	BIS		Х	<u> </u>	Х	Directrices resistencia a terremotos.
	Ley n° 378, 2004	ыз					Leyes para la conservación del
Italia	L.R 2/062 2006			Х	Х	Х	patrimonio de tierra.
Kenya	KS 02-1070: 1999.	KEBS	Х		Х		patrinonio de tierra.
Nigeria	NIS 369:1997	SON	X		X		
Nigeria	NZS 4297, 1998.	3011	^		_^		
Nueva	NZS 4297, 1998. NZS 4298, 1998.	SNZ		х	х	х	
Zelanda	· ·	3112		^	^	_ ^	
	NZS 4299, 1999.	SENCICO					
	NTE E.080, 2000	SENCICO		Х			
Perú	NTP 331.201, 1979.	INDECOPI	x	х			
	NTP 331.202, 1979.	INDECOPI	^	^	-		
	NTP 331.203, 1979.						
	ARS 670, 1996.				ļ		
	ARS 671, 1996.				ļ		
	ARS 672, 1996.				ļ		
	ARS 673, 1996.				ļ		
	ARS 674, 1996.				ļ		
	ARS 675, 1996.				ļ		
Regional	ARS 676, 1996.	ARSO			х		
África	ARS 677, 1996.						
	ARS 678, 1996.				ļ		
	ARS 679, 1996.				ļ		
	ARS 680, 1996.						
	ARS 681, 1996.						
	ARS 682, 1996.				ļ		
	ARS 683, 1996.						
	SLS 1382-1: 2009.				1		Bloques de suelo comprimido
Sri Lanka	LSL 1382-2: 2009	SLSI	X		Х		estabilizados
	LSL 1382-3:2009						CSCADINIZACOS
Túnez	NT 21.33.1996.	INNORPI			х		En francés.
Tullez	NT 21.35:1996	INNORPI			L^		Littratices.
	TS 537, 1985		Х				
Turquía	TS 2514, 1985	TSE		Х			En turco.
	TS 2515, 1985						
Zimbabue	SAZS 724, 2001	SAZ				Х	

Nota: Normativas de la construcción de tierra en el mundo. Adaptado de: "Las normativas de construcción con tierra en el mundo" (Falceto, Mazarrón, & Cañas, 2011)

2.2.3 Humedad en las estructuras, su daño y tratamiento

El control de la humedad en las diversas estructuras como en cualquier edificación cumple un rol importante de proteger a los seres vivos que habitan en estas, protegiendo su salud de los efectos adversos en la salud que puede producir. La gran cantidad de humedad en las edificaciones castiga a las edificaciones en todo el mundo ya sea por las condiciones ambientales, por fugas de las instalaciones sanitarias o por goteras en las cuberturas y techos. La situación de humedad produce daños a la salud y a las edificaciones, en cuanto a los daños a la salud producidos en los seres humanos por la humedad son: tos, disnea, desarrollo de asma y la respiración dificultosa. Y en el daño a las edificaciones se detecta en la propagación de bacterias, hongos y moho en su parte superficial, en la parte interna de estas , la humedad puede dañar al acero por corrosión, erosiones y desprendimiento de los materiales de construcción, inclusive el colapso de revestimientos, pinturas, muros y de la edificación completa por la acción constante de la humedad, en muchos casos la humedad en los cimientos puede producir asentamientos diferenciales de toda las estructuras. (United States Enviromental Protection Agency - EPA, 2016).

Para el tratamiento de la humedad y tener una edificación que perdure en el tiempo, se consideran tres principios, **la primera** es conservar el agua en estado líquido fuera de la construcción. controlando el movimiento de agua por drenes y evitar a toda costa las filtraciones de las lluvias o nevadas, y de tener un buen control sobre las instalaciones sanitarias en la edificación. **La segunda**, tiene que ser el control de la condensación tanto en interiores como en exteriores, ya que el viento lleva el vapor de agua y al descender la temperatura forma las gotículas que pueden afectar a las estructuras. **La tercera**, es la de usar materiales tolerantes a la humedad ya que de esta forma el daño de las áreas que tengan probabilidad de mojarse o que se mojen por

accidente no causen daños a la estructura. (United States Enviromental Protection Agency - EPA, 2016).

2.3 Marco conceptual

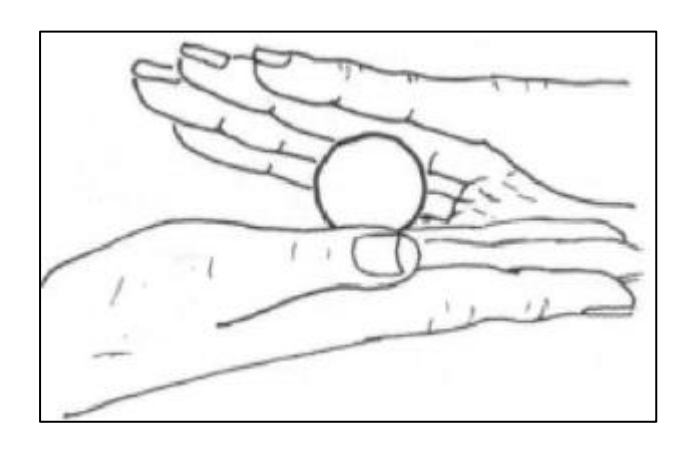
2.3.1 Prueba de resistencia de arcilla

La norma técnica peruana Norma E.080 "Diseño y Construcción con tierra", establece una aplicación obligatoria para la construcción de edificaciones de tierra reforzada, en lo que respecta al adobe reforzado y tapial reforzado, con la finalidad de otorgarle a estas edificaciones un comportamiento bueno frente a la acción de los sismos, que permita salvaguardar la vida de los ocupantes de la misma. Establece los requisitos mínimos y los criterios técnicos adecuados para la construcción de este tipo de viviendas, además de conceder cierta durabilidad a estas construcciones de tierra frente a los fenómenos naturales y antrópicos. (Norma E.080 Diseño y Construcción con Tierra Reforzada, 2017)

La norma considera ensayos de esfuerzo de rotura mínimos y esfuerzos admisibles para las unidades de adobe o tapial que se pueden realizar para garantizar la construcción segura de estas edificaciones, considerando una resistencia última a compresión en seis (6) especímenes de los cuales se tomarán los cuatro (4) mejores resultados para obtener un promedio.

Para la elaboración de los especímenes a desarrollados en la investigación se tomó en cuenta el Anexo N° 2 "Prueba de Presencia de Arcilla" o "Resistencia Seca", de la norma E.080, y la referencia de 6 especímenes para cada uno de los ensayos y pruebas a realizar conforme está estipulado en la sección de muestras de esta investigación.

Figura 4Realización de bolitas de tierra



Nota: Tomado de la Norma E0.80 (Ministerio de Vivienda Construcción y Saneamiento, 2017)

2.3.2 Ensayos de absorción por sumergimiento y goteo

Los ensayos de absorción en las unidades de albañilería de tierra, no se encuentran establecidas en ninguna norma, a pesar de que la humedad es la que más afecta a estas unidades, con lo que se puede tomar en consideración el ensayo de absorción que se hace para los ladrillos de arcilla cocida y otra que intentará simular el goteo y su contacto con el espécimen.

El ensayo de absorción por sumergimiento que se le hace a los ladrillos comprende en sumergir a la unidad en agua fría por veinticuatro (24) horas, siempre y cuando la unidad o espécimen ensayado no se haya deshecho. (Gallegos & Casabonne, 2005). El cálculo de este ensayo se muestra en el la Ecuación 1.

31

De la misma forma para el ensayo de absorción por goteo, se plantea realizar el

ensayo mediante la caída libre de gotas de agua sobre los especímenes dosificando las

gotas en dos ciclos distintos en 5 y 10 gotas/minuto hasta el primer desprendimiento del

material, para luego hacer los cálculos respectivos de la absorción, conforme se presenta

en la Ecuación 1.

Ecuación 1 Absorción (Abs)

$$Abs(\%) = \frac{P_2 - P_1}{P_1} * 100 \dots (1)$$

Donde: Abs → Absorción (%)

 $P_2 \rightarrow Peso \ de \ la \ Unidad \ Saturada \ (gr)$

 $P_1 \rightarrow Peso de la Unidad Seca(gr)$

Fuente: Gallegos & Casabonne

2.3.3 Ensayo de resistencia a compresión

La resistencia a la compresión (f'_b) para las unidades de ensayo está determinada

por la carga de rotura (P_u) sobre el área de contacto bruta (A) de la unidad. Se considera

el área bruta para evitar errores de cálculo y comprar las resistencias directamente

(Gallegos & Casabonne, 2005).

Ecuación 2 Resistencia a la compresión

$$f_b' = \frac{P_u}{A} \dots (2)$$

 $\textbf{\textit{Donde}} \colon \textbf{\textit{f}}_{\textbf{\textit{b}}}' \to \textit{Resistencia a la Compresi\'on} \left(kg/cm^2 \right)$

32

 $P_u \rightarrow Carga \, Aplicada \, en \, (kg)$

 $A \rightarrow \text{Área de aplicación de la carga (cm}^2)$

Fuente: Gallegos & Casabone

Donde las características mínimas que debe tener la unidad seca, según la norma E0.80 son las siguientes:

> La resistencia última se calcula conforme a la siguiente expresión f_0 = $1.0 MPa = 10.2 kgf/cm^2$.

Los especímenes deben de cumplir con que el promedio de las cuatro

mejores de seis muestras, sean iguales o mayores a lo establecido en la

resistencia última indicada.

Jabón metálico: estearato de zinc

El estearato de zinc (C₃₆-H₇₀-O₄-Zn) es un polvo de color blanco que se produce

de la reacción de sales de zinc y de un ácido graso, cuyo resultado es un jabón metálico,

se usa como agente desmoldante, lubricante para metalurgia de polvos, estabilizante de

plástico, mateante para pinturas y anti aglomerante para los extruidos de hule

(Corporación Sierra Madre, 2021), este compuesto es comprado a la empresa Full S.A.C²

Este compuesto químico es insoluble en disolventes polares por ejemplo el agua,

alcohol y éter de allí se nota la propiedad que repele al agua, que es llamada propiedad

hidrofóbica, sin embargo, es soluble con los hidrocarburos aromáticos como el benceno

(C₆H₆), la acetona (C₃H₆O) el cual vamos a usar en esta investigación, entre otros. Según

la clasificación de riesgos de la National Fire Protection Association (NFPA), tiene

² Página web empresarial http://www.fullcorporationperu.com/

Peligro para la Salud de uno (1), peligro de inflamabilidad de uno (1), Riesgo de Inestabilidad de cero (0) y de Peligro especial ninguno (Reactivos Química Meyer, 2016), por lo que lo hace un componente de fácil uso y de menor riesgos para las construcciones de tierra.

Figura 5

Clasificación de la NFPA para el estearato de zinc



Nota: Adaptación de los estándares NFPA del Estearato de Zinc (Reactivos Química Meyer, 2016)

2.4 Definición de términos básicos

Para la investigación se han determinado los siguientes términos básicos a tener en cuenta conforme lo proyectado:

- Acetona: Líquido incoloro, volátil y de olor característico, que se emplea en esta ocasión como el disolvente del estearato de zinc. (Diccionario de la Real Academia Española, 2021)
- *Estearato de zinc:* Polvo blanco insoluble en agua, que tiene la capacidad de repeler totalmente a ésta, es el aditivo que se añadirá diluido en acetona tanto en la mezcla como en bañado. (Corporación Sierra Madre, 2021)
- *Resistencia a la humedad:* capacidad de un material o sistema para mantener sus propiedades y funcionalidad cuando se expone a la humedad o al agua. En otras palabras, es la resistencia que tiene un material a absorber agua y a deteriorarse por la acción de la humedad. (FDM, 2025).
- Espécimen de Tierra: Material de construcción que está compuesto de cuatro (4) componentes básicos: limo, arena fina, arcilla y arena gruesa. Del cual se realizará un espécimen esférico que se forma con la tierra humedecida, el cual será sometido a los ensayos de absorción por sumergimiento y goteo (Norma E.080 Diseño y Construcción con Tierra Reforzada, 2017)

CAPITULO III

PLANTEAMIENTO DE LA HIPÓTESIS Y VARIABLES

3.1 Hipótesis

3.1.1 Hipótesis: general

Al incorporar estearato de zinc diluido con acetona en dosis de 1%, 2% y 3% del peso del suelo en mezcla o bañado externo a los especímenes de tierra, variará la resistencia a la humedad hasta en un 5%.

3.2 Variables / categorías

3.2.1 Variable independiente

% Estearato de Zinc diluido en Acetona: jabón metálico que es insoluble en disolventes polares como el alcohol y éter, pero soluble en hidrocarburos aromáticos como la acetona, no contiene electrolitos y tiene un efecto hidrofóbico.

3.2.2 Variable dependiente

Resistencia a la Humedad: Es aquella resistencia que presentan los especímenes de tierra con la incorporación de estearato de zinc diluido con acetona cuando se someten a la acción natural del agua, ya sea por contacto o por sumergimiento.

3.3 Operacionalización / categorización de los componentes de las hipótesis

Tabla 1Consistencia y operacionalización de la investigación

ΤΊΤυLΟ	"Estudio de la resistencia a la	"Estudio de la resistencia a la humedad en especímenes de tierra, con la incorporación en la mezcla o bañado externo de estearato de zinc diluido en acetona."							
HIPÓTESIS DE	OPERACIONALIZACIÓN DE LAS VARIABLES								
<u>INVESTIGACIÓN</u>	TIPOS DE VARIABLES CONCEPTO		<u>UNIDAD DE</u> MEDIDA	INDICADORES/ CUALIDADES	FUENTE DE RECOLECCIÓN DE DATOS				
	VARIABLE INDEPENDIENTE		IIILDIDA	OGALIDADES	<u>DATOS</u>				
Al incorporar estearato de zinc diluido en acetona con dosis entre el 1%, 2% y 3% del peso del suelo en la mezcla o bañado externo a los especímenes de tierra, variará la resistencia a	Estearato de Zinc (1%, 2% y 3%) diluido en Acetona	Jabón metálico que es insoluble en disolventes polares como el alcohol y éter, pero soluble en hidrocarburos aromáticos como la acetona, no contiene electrolitos y tiene un efecto hidrofóbico.	Porcentaje (%) del peso del suelo	Cantidad de Estearato de Zinc con respecto al peso seco de la tierra, diluido en acetona. 0% de Estearato de Zinc diluido en Acetona 1% de Estearato de Zinc diluido con Acetona 2% de Estearato de Zinc diluido en Acetona 3% de Estearato de Zinc diluido en Acetona 3% de Estearato de Zinc diluido en Acetona	Formatos de apuntes con los pesos del Estearato de Zinc, para ser diluidos en Acetona.				
la humedad hasta en un 5%.	VARIABLE DEPENDIENTE Resistencia a la Humedad	Es aquella resistencia que presentan los especímenes de tierra con la incorporación de estearato de zinc diluido con acetona cuando se someten a la acción natural del agua, ya sea por contacto o por sumergimiento.	Porcentaje (%)	Variación de la Resistencia a la Humedad de los especímenes tratados.	Formatos de datos de las pruebas de inmersión en agua y de goteo para la determinación de la resistencia a la humedad de los especímenes.				

CAPITULO IV

MARCO METODOLÓGICO

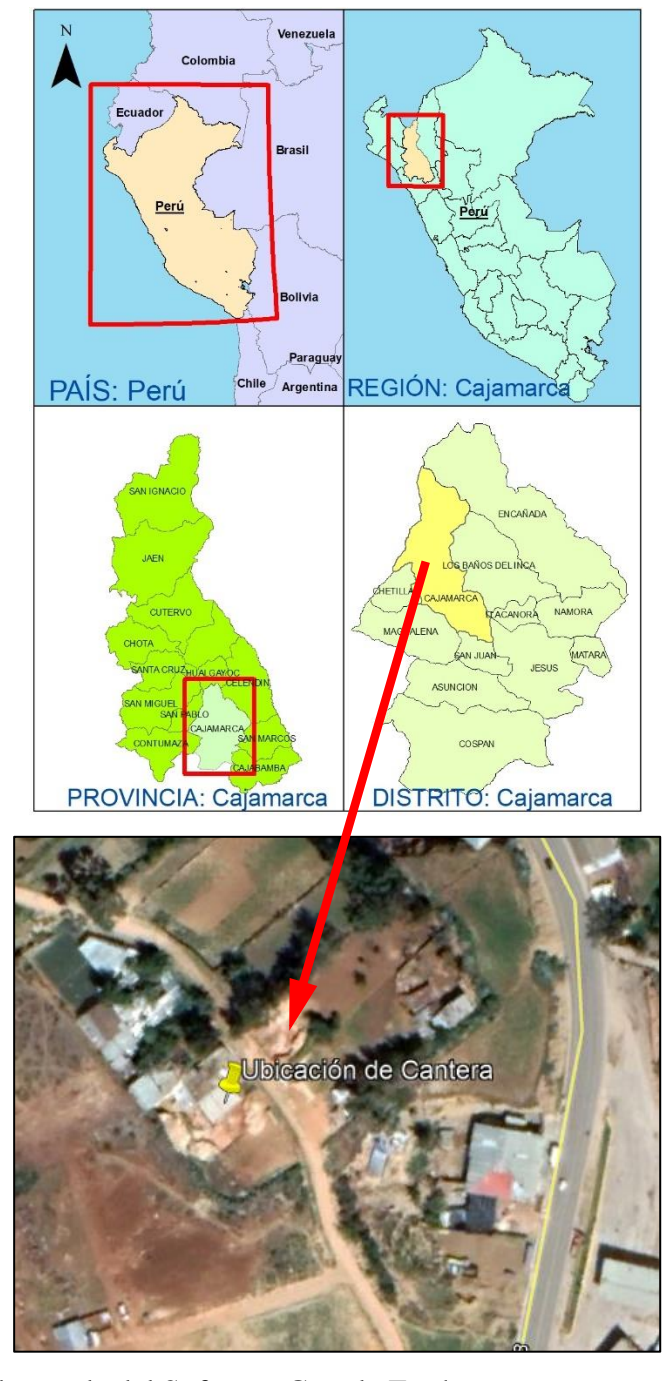
4.1 Ubicación geográfica (de acuerdo a la naturaleza de la investigación)

Para la obtención de la tierra como insumo principal se obtuvo de la cantera de Cruz Blanca, previamente esta tierra ha sido estudiada con anterioridad (investigación anterior a esta, cuyos resultados y ensayos se encuentran en los anexos de este documento) y cuyos resultados se aplicarán para conformar los especímenes. La ubicación geográfica para la obtención de este material es:

Tabla 2Ubicación geográfica de la tierra extraída para especímenes

Descripción	Dato/Información
Región / Departamento	Cajamarca
Provincia	Cajamarca
Distrito	Cajamarca
Coordenada E	774927.44
Coordenada N	9204417.81
Zona	17 S
Sistema de Coordenadas	UTM
Datum	WGS84

Figura 6 *Ubicación geográfica de la cantera.*



Nota: Imagen satelital tomada del Software Google Earth.

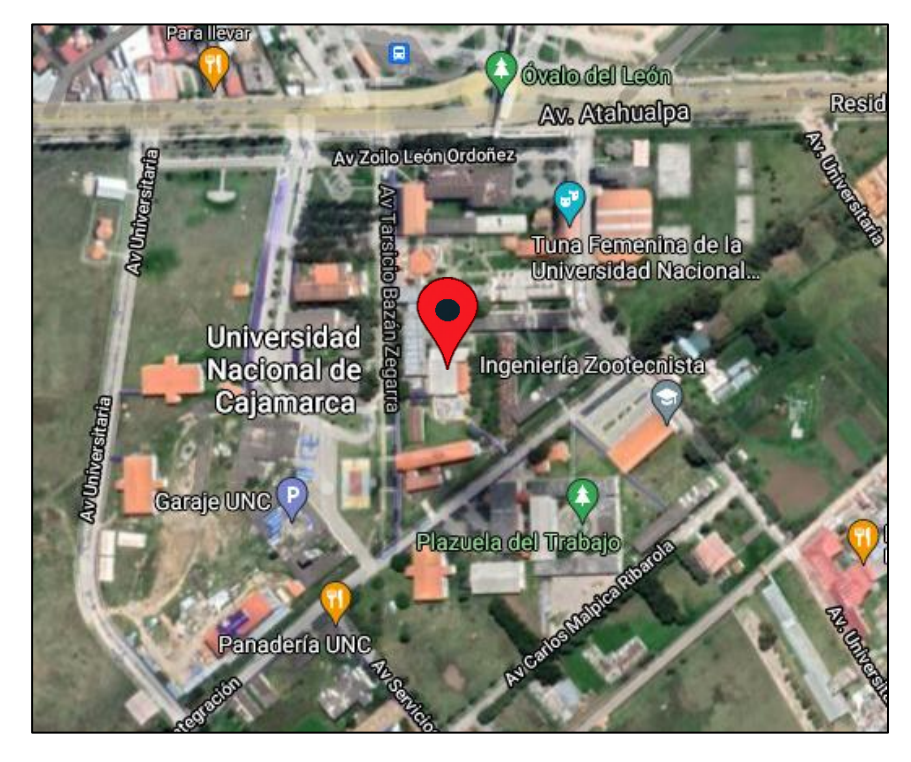
La investigación se realizó en la Universidad Nacional de Cajamarca como en el domicilio del tesista, para el cual se ha configurado un lugar especial donde se utilizan elementos necesarios para la elaboración de los especímenes, secado de los mismos y mediciones de masa correspondientes.

Tabla 3Ubicación geográfica de la Universidad Nacional de Cajamarca

Región / Departamento	Universidad Nacional de Cajamarca
Provincia	Cajamarca
Distrito	Cajamarca
Coordenada E	776494.43
Coordenada N	9207078.33
Zona	17 S
Sistema de Coordenadas	UTM
Datum	WGS84
Dirección	Av. Atahualpa N° 1050 -

Figura 7

Ubicación geográfica de la Universidad Nacional de Cajamarca y del laboratorio de ensayo de materiales



Nota: Imagen satelital tomada de la aplicación Maps de Google.

4.2 Tipo de la investigación

La investigación es del tipo Aplicada, porque pretende resolver problemas en específico, debido a que emplea conocimientos ya existentes en cuanto al tema de hidrofobicidad de los especímenes de tierra a fabricar.

4.3 Nivel de la investigación

La investigación es del nivel Exploratorio, debido a que la incorporación de estearato de zinc diluido con acetona para mejorar la resistencia a la humedad en los especímenes de adobe es poco estudiada o en su defecto poco conocido.

4.4 Diseño de la Investigación

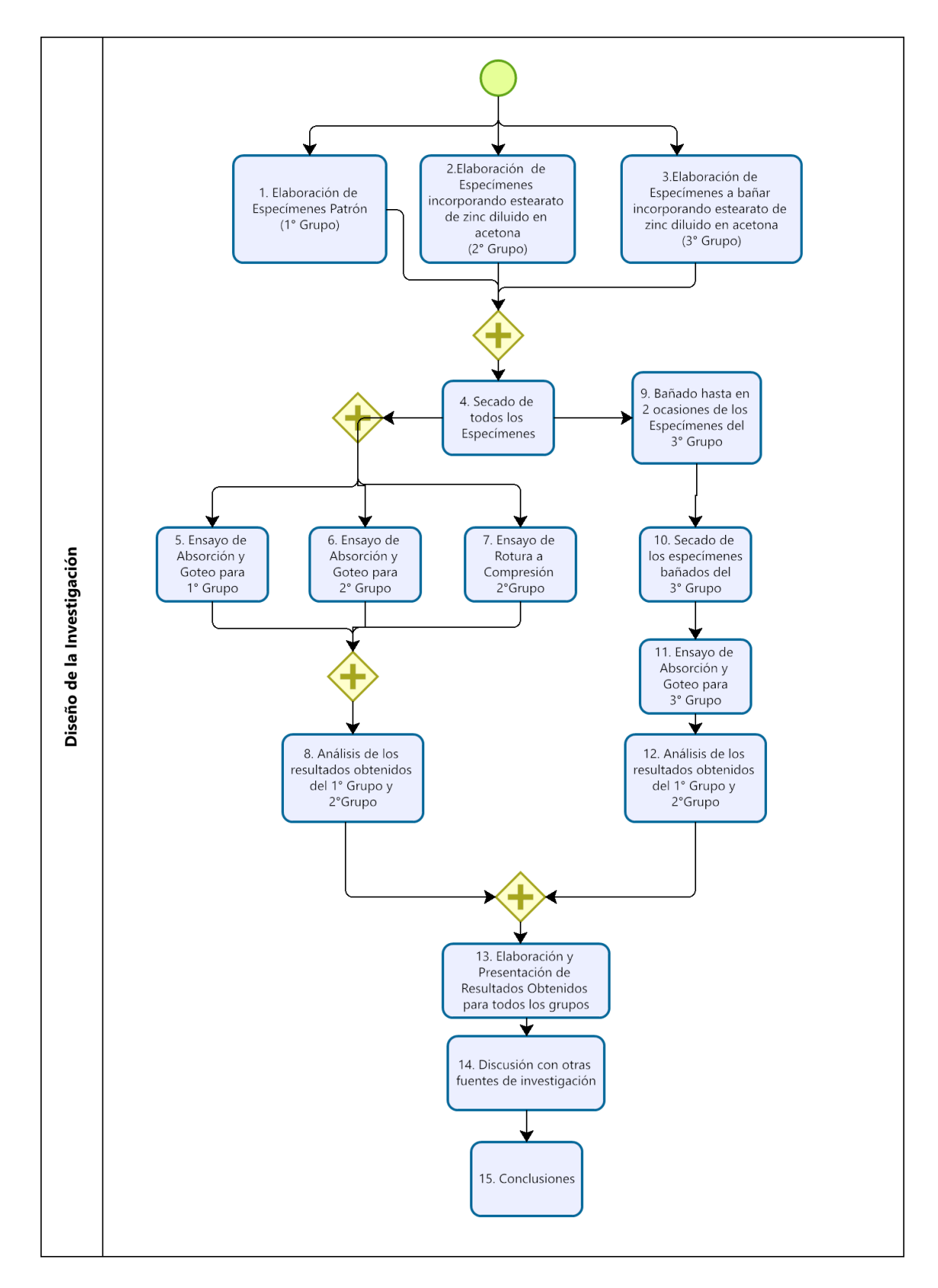
La investigación es completamente Experimental y comprende los siguientes pasos ordenados para ser replicados:

- Revisión bibliográfica: A partir de la cual se obtiene información de investigaciones (tesis, artículos científicos entre otros) y experimentos relacionados al tema de investigación.
- Aprovisionamiento de materiales: Comprende la consecución de los insumos y equipos a utilizar, en este caso la tierra, agua, acetona y el estearato de zinc, balanzas y beakers calibrados y graduados respectivamente.
- **Elaboración de los especímenes:** Comprende la elaboración de las esferas del material (En referencia al Anexo N° 02 de la E.080 del RNE), tanto los especímenes patrón (primer grupo), especímenes (esféricos y cúbicos de arista 0.1m) con la incorporación del estearato de zinc diluido en acetona (segundo grupo), y aquellos para el bañado de los especímenes con el estearato de zinc diluido en acetona (tercer grupo), estos en dosis de 1%. 2% y 3% del peso del suelo.

- Secado de los especímenes: Comprende el secado de éstos en un ambiente con sombra y protección de la intemperie por veintiocho (28) días, tanto para el patrón (primer grupo), para aquellos que tienen la disolución incorporada (segundo grupo) y aquellos que van a ser bañados con la disolución (tercer grupo).
- Ensayo de absorción y goteo para primer y segundo grupo: Este ensayo se realizará después del secado en cinco (05) días solo para las muestras patrón y para los incorporados con la disolución y es aquí se toman los datos.
- Ensayo de rotura a compresión par el segundo grupo: Este ensayo se realizará despues del secado en sombra en veintiocho (28) días en el laboratorio de la UNC.
- Bañado de los especímenes: Se hará en paralelo con el paso anterior tomando el mismo tiempo de cinco (05) días, con esto se procede a completar los especímenes para los ensayos de absorción y goteo para el tercer grupo; y se hará este bañado hasta en dos ocasiones.
- Análisis de datos y presentación de los resultados obtenidos primer y segundo grupo: este paso comprende el análisis y la obtención de los resultados tanto del primer grupo como del segundo, tomándose un tiempo de veinte (20) días.
- Secado de los especímenes del tercer grupo: se hará en paralelo con el anterior paso, para asegurar el correcto secado de estos especímenes, tomándose para ello veinte (20) días.
- Ensayo de absorción y goteo para el tercer grupo: Este ensayo se realizará en cuatro (04) días solo para el tercer grupo, es decir las muestras bañadas con la disolución y aquí se toman los datos.

- Análisis de datos y presentación de los resultados obtenidos tercer grupo:
 este paso comprende el análisis y la obtención de los resultados tercer grupo,
 tomándose un tiempo de quince (15) días.
- **Discusión y Conclusiones:** Se discuten los resultados obtenidos en la investigación frente a otras de similar índole, para obtener conclusiones importantes de la investigación.

Figura 8Diagrama de flujo del diseño de la investigación



4.5 Métodos de investigación

El método lógico de investigación es el *hipotético deductivo*, ya que responde a los siguientes pasos:

- Observación de los fenómenos a estudiar: como es el desgaste del material
 de tierra en edificaciones y sus acabados por la humedad y el estearato de zinc
 un material completamente hidrofóbico que no es soluble en agua que añade
 su propiedad a los especímenes de tierra a elaborar.
- Proposición de una hipótesis: que surge con la idea de mezclar la tierra y el
 estearato de zinc diluido con acetona con la finalidad de integrar este en cierto
 porcentaje a la tierra y dotarle de propiedades hidrofóbicas es decir que repela
 al agua.
- Verificación de la hipótesis propuesta mediante experimentación: en la que se comprobará la característica hidrofóbica de los especímenes en los que se ha integrado o bañado con el estearato de zinc diluido en acetona, mediante los ensayos de absorción y goteo.

El método empírico de investigación está relacionado a la *experimentación científica*, y responde a los siguiente:

Experimentación científica: netamente dirigida al sumergimiento de los especímenes (patrón, integrados con la disolución y bañados con la disolución de 1%, 2 % y 3%) en agua para la absorción y la normalización del ensayo de goteo en las muestras, tomando como referencia al Ensayo de Swinburne y adaptándolo para este experimento.

4.6 Población, muestra, unidad de análisis y unidades de observación

4.6.1 Población y muestra

Población

Son todos los especímenes elaborados con la tierra obtenida de la cantera de Cruz Blanca.

Muestra

Es tomada a conveniencia (seis (06) especímenes por cada muestra a ensayar) estos son determinados siguiendo y adaptando las recomendaciones de la Norma E0.80 del Reglamento Nacional de Edificaciones en su última versión (Ministerio de Vivienda Construcción y Saneamiento, 2020), por lo que es de rasgo no probabilístico.

En estos especímenes se integra en el proceso mezcla y otros son bañados con los diferentes porcentajes de estearato de zinc diluido en acetona, para realizar los ensayos de absorción y goteo.

La distribución de los especímenes de tierra para los ensayos consignados se muestra en la siguiente tabla:

Tabla 4 *Ensayos y cantidades de especímenes.*

Tipo de Ensayo	Especímenes Patrón	la : estea en '	rporaci mezcla rato de % del p	de e zinc oeso	esp estea % de		i con zinc en diluido	Subtotal
		1%	2%	3%	1%	2%	3%	
Absorción por sumergimiento. Absorción por	6	6	6	6	6	6	6	42
goteo. (5 gotas /minuto) por 10 minutos	6	6	6	6	6	6	6	42
Absorción por goteo. (10 gotas /minuto) por 10 minutos	6	6	6	6	6	6	6	42
minutos							Total	126

Nota: La cantidad de muestras son establecidas adaptando la norma E0.80 del RNE.

Tabla 5

Tamaño de muestra ensayos de rotura a compresión.

Tipo de	Especímenes	Incorpor	Incorporación en la mezcla de estearato			
Ensayo	Patrón	de zinc e	n % del peso di	luido en acetona		
		1%	2%	3%		
Rotura a Compresión.	7	7	7	7	28	

Nota: La cantidad de muestras son establecidas adaptando la norma E0.80 del RNE.

4.6.2 Unidad de Análisis

Es la resistencia a la humedad que presentan las viviendas y acabados elaborados con tierra.

4.6.3 Unidades de Observación

Son los especímenes sin incorporación, con la incorporación y bañado de estearato de zinc diluido en acetona (patrón, sumergimiento y goteo).

4.7 Técnicas e instrumentos de recopilación de información

4.7.1 Técnicas

Basada en la técnica del estudio experimental, fundamentado en la manipulación del porcentaje de adición del estearato de zinc diluido en acetona, que será incorporado a la mezcla del espécimen o bañando al espécimen en dosis de 1%, 2% y 3% del peso de la tierra.

4.7.2 Instrumentos de recopilación de información

Se ha desarrollado un protocolo de obtención de datos para el ensayo de absorción en sus modalidades de sumergimiento y goteo, el cual será validado por el técnico de laboratorio mediante la certificación y calibración, además que los resultados obtenidos serán validados y visados por el ingeniero asesor del maestrando. El protocolo de datos que se encuentra en el apartado de anexos, como se muestra en el **Apéndice 5:** Protocolo de toma de datos.

4.8 Técnicas para el procesamiento y análisis de la información

La investigación se enmarca en el análisis cuantitativo mediante la estadística inferencial con la información que se obtenga en los protocolos establecidos (ver Apéndices), serán procesados con ayuda del software computacional de Microsoft Excel que es una hoja de cálculo que permitirá la obtención de los gráficos y la fácil obtención del índice de confiabilidad r², que este dentro de los parámetros estadísticos para la validación de la hipótesis planteada.

4.9 Equipos, materiales, insumos, etc.

4.9.1 Equipos

Malla de 3/8" para tamizar tierra.

Balanza con aproximación de 0.01 gr.

Beaker graduado de 250 y 500 ml

Probetas graduadas de 1000 ml

Recipientes tipo pipeta. (Agua oxigenada o de suero).

Vías endovenosas de uso médico. (para la prueba de goteo).

Recipientes de vidrio para el ensayo de absorción por sumergimiento.

4.9.2 Materiales

Tierra tamizada: Suelo de cantera adobera (Aproximadamente 100 kg).

Agua potable (Aproximadamente 100 litros).

Estearato de zinc (Aproximadamente 12 kg).

Acetona (Aproximadamente 10 litros)

Matriz de consistencia metodológica. Tabla 6

Matriz de consistencia metodológica de la investigación

<u>TÍTULO</u>	<u>FORMULACIÓN DEL</u> <u>PROBLEMA</u>	OBJETIVOS GENERAL	HIPÓTESIS DE INVESTIGACIÓN	TIPOS DE VARIABLES VARIABLE	<u>CONCEPTO</u>	<u>UNIDAD</u> <u>DE MEDIDA</u>	<u>INDICADORES</u>	<u>FUENTE DE RECOLECCIÓN DE</u> <u>DATOS</u>	<u>metodología</u>	POBLACIÓN Y MUESTRA
		Determinar la variación de la Resistencia a la Humedad en especímenes de tierra con la incorporación en la mezcla o bañado externo de estearato de zinc diluido en acetona en dosis de 1%, 2% y 3% del peso del suelo.		### INDEPENDIENTE	El Estearato de Zinc es un jabón metálico que es insoluble en disolventes polares como el alcohol y éter, pero soluble en hidrocarburos aromáticos como la acetona, no contiene electrolitos y tiene un efecto hidrofóbico.	Porcentaje (%)		Formatos de apuntes con los pesos del Estearato de Zinc, para ser diluidos con Acetona.	El método lógico para esta investigación es el hipotético deductivo, basado en: La observación del fenómeno, proposición de la hipótesis, venficación de la hipótesis mediante experimentación y finalizando con Il promulgación de leyes o teorías, que comprobarán si la incorporación en la mezcla o el bañado superficial de los especimenes con el % de estearato de zine diluido con acetona pueden mejorar la Resistencia a la humedad. El método empírico está relacionado a la	La Población comprende todos los especímenes esféricos elaborados con la tierra obtenida. La Muestra es tomada a conveniencia de 06 especímenes por cada ensayo a realizar tanto
humedad en especímenes de tierra, con la incorporación en	tierra, al incorporar en la mezcla o bañado externo de estearato de zinc diluido en acetona en dosis de 1%, 2% y 3% del peso del suelo?	ESPECÍFICOS	especímenes de tierra, variará la resistencia a la humedad hasta en un 5%.	VARIABLE Resistencia a la Humedad	Es aquella resistencia que presentan todos los materiales cuando se someten a la acción natural del agua, ya sea por contacto o por sumergimiento.	Porcentaje (%)	Variación de la Resistencia a la Humedad de los especímenes tratados.	Formatos de datos de las pruebas de inmersión en agua y de goteo para la determinación de la resistencia a la humedad de los especímenes.	experimentación científica, mediante: la observación, medición y experimentación tanto de sumergimiento y por ensayo de goteo en los especímenes con la incorporación en la mezita o el bañado superficial de los especímenes con el % de estearato de zinc diluido con acetona pueden mejorar la Resistencia a la humedad. En el diseño de la investigación consta de los pasos necesarios como revisión bibliográfica, preparación de los especímenes esféricos de acuerdo al Anexo 02 de la norma EJ80 del RNE, el sometimiento de estos a los ensayos de sumergimiento y goteo y finalizando con las conclusiones y discusión de las mismas.	de sumergimiento como de goteo por cada % de estearato de zinc diluido en acetona. La Unidad de Análisis de esta investigación es la Resistencia a la Humedad que pueden presentar los especímenes a experimentar. La Unidad de Observación serán los especímenes esféricos sin y con la incorporación y bañado del estearato de zinc diluido en acetona.

CAPITULO V

RESULTADOS Y DISCUSIÓN

5.1 Presentación de Resultados

5.1.1 Ensayos de suelos

Tabla 7 *Resultados de los ensayos de suelos*

Nro.	Nombre del Ensayo	Resultado	Unidad de	Anotación
			Medida	
1	Contenido de	6.66	%	-
	Humedad			
2	Granulometría por	198.80	gr	Pérdida por Lavado
	Lavado	39.76	%	% pasa el Tamiz # 200
3	Límites de Consistencia	a		_
3.1	Límite Líquido (LL)	31	%	Contenido de Humedad a 25 golpes
3.2	Límite Plástico (LP)	20	%	Promedio de Contenido de Humedad del Límite Plástico
3.3	Índice de Plasticidad (LL-LP)	11	%	Contenido de Humedad
3.4	Clasificación SUCS	SP-SC	SP	Arena Pobremente Graduada
			SC	Con Arcilla de Baja Plasticidad
4	Proctor Modificado	12.60	%	Contenido de Humedad Óptimo
		1.963	gr/cm ³	Densidad Seca Óptima

5.1.2 Ensayos de humedad Tabla 8

Ensayo de sumergimiento de los especímenes

Tipo Espécimen	%Abs (Prom.)
Patrón	32.20%
1%-QIA	19.28%
2%-QIA	15.40%
3%-QIA	12.78%
1%-QBA	28.74%
2%-QBA	27.16%
3%-QBA	26.04%

Nota: Los porcentajes mostrados corresponde al promedio de cuatro (04) unidades, ya que las otras dos (02) sus valores son excéntricos y han sido descartados. QIA: Químico Incorporado Añadido y QBA Químico Bañado Añadido.

Tabla 9

Ensayo de goteo de 5 gotas por minuto x 10 min

Tipo Espécimen	%Abs (Prom)
Patrón	0.65%
1%-QIA	0.35%
2%-QIA	0.21%
3%-QIA	0.00%
1%-QBA	0.00%
2%-QBA	0.00%
3%-QBA	0.00%

Nota: Los porcentajes mostrados corresponde al promedio de cuatro (04) unidades, ya que las otras dos (02) sus valores son excéntricos y han sido descartados. QIA: Químico Incorporado Añadido y QBA Químico Bañado Añadido.

Tabla 10

Ensayo de goteo de 10 gotas por minuto x 10 min

Tipo	%Abs
Espécimen	(Prom)
Patrón	1.72%
1%-QIA	1.43%
2%-QIA	1.39%
3%-QIA	1.35%
1%-QBA	0.42%
2%-QBA	0.09%
3%-QBA	0.00%

Nota: Los porcentajes mostrados corresponde al promedio de cuatro (04) unidades, ya que las otras dos (02) sus valores son excéntricos y han sido descartados. QIA: Químico Incorporado Añadido y QBA Químico Bañado Añadido.

Tabla 11Tiempo de evaluación de ensayo por sumergimiento

Tipo Espécimen	Tiempo de medición humedad	Tiempo en la que mantiene cierta forma esférica
Patrón	20 min	03 h 20 min
1%-QIA	20 min	12 h 15 min
2%-QIA	20 min	14 h 30 min
3%-QIA	20 min	16 h 18 min
1%-QBA	20 min	03 h 30 min*
2%-QBA	20 min	03 h 30 min*
3%-QBA	20 min	03 h 30 min*

Nota: Todas las mediciones se hicieron a los 20 min, ya que el patrón se desintegraba de forma rápida y la disolución total o vuelta a tierra amorfa se da en la tercera columna. (*: Solo 10 min más que el patrón)

5.1.3 Ensayo mecánico

Tabla 12 *Rotura a compresión*

Tipo	Kg/cm ²
Espécimen	(Prom)
Patrón	26.97
1%-QIA	28.15
2%-QIA	24.34
3%-QIA	17.76

Nota: Los porcentajes mostrados corresponde al promedio de cuatro (04) unidades, ya que las otras dos (03) sus valores son excéntricos y han sido descartados. QIA: Químico Incorporado Añadido.

5.2 Análisis, interpretación y discusión de resultados

5.2.1 Análisis de Resultados

Los resultados obtenidos del ensayo de sumergimiento son promedio de cuatro (04) valores de seis (06), ya que al momento de obtener dichos valores estos porcentajes son excéntricos (resultados no son similares a los de la mayoría), esto va de la mano con lo referido a la Norma E0.80, que indica el proceso de eliminación de resultados para obtener un promedio de todos los especímenes ensayados tanto del patrón como de los incorporados y bañados con estearato de zinc diluido en acetona.

Figura 9

Porcentaje de absorción de agua mediante ensayo de sumergimiento

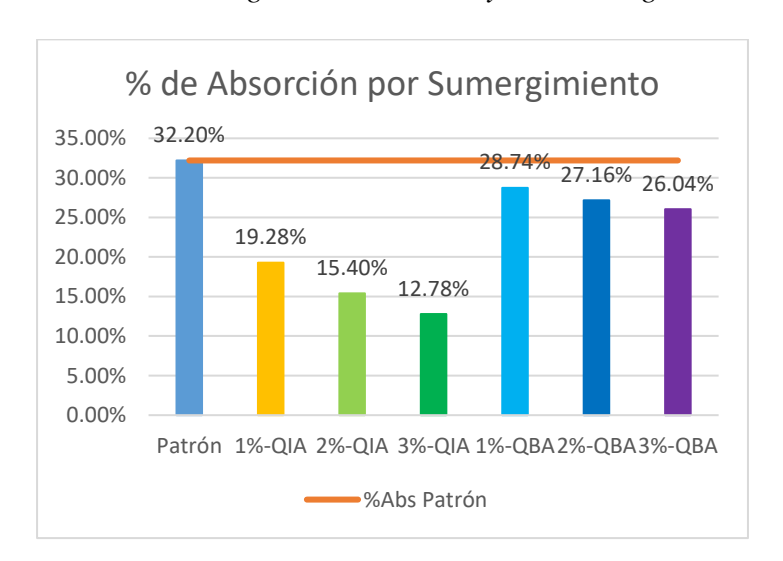


Tabla 13Variación de absorción por sumergimiento respecto del patrón

Código	%Abs	0/0	Var. %Abs	Var %
Patrón	32.20%	100.00%	-	-
1%-QIA	19.28%	59.87%	12.92%	40.13%
2%-QIA	15.40%	47.82%	16.80%	52.18%
3%-QIA	12.78%	39.70%	19.42%	60.30%
1%-QBA	28.74%	89.24%	3.46%	10.76%
2%-QBA	27.16%	84.35%	5.04%	15.65%
3%-QBA	26.04%	80.86%	6.16%	19.14%

Figura 10
Tiempo en el que mantiene forma esférica durante el ensayo de sumergimiento

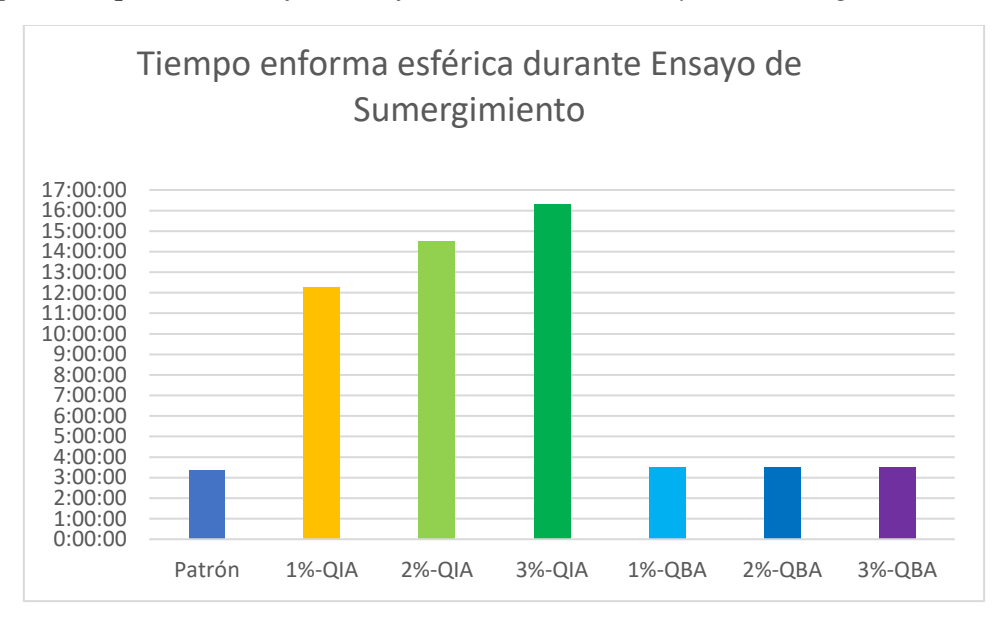


Figura 11Porcentaje de absorción de agua mediante ensayo de goteo 5 gotas por minuto

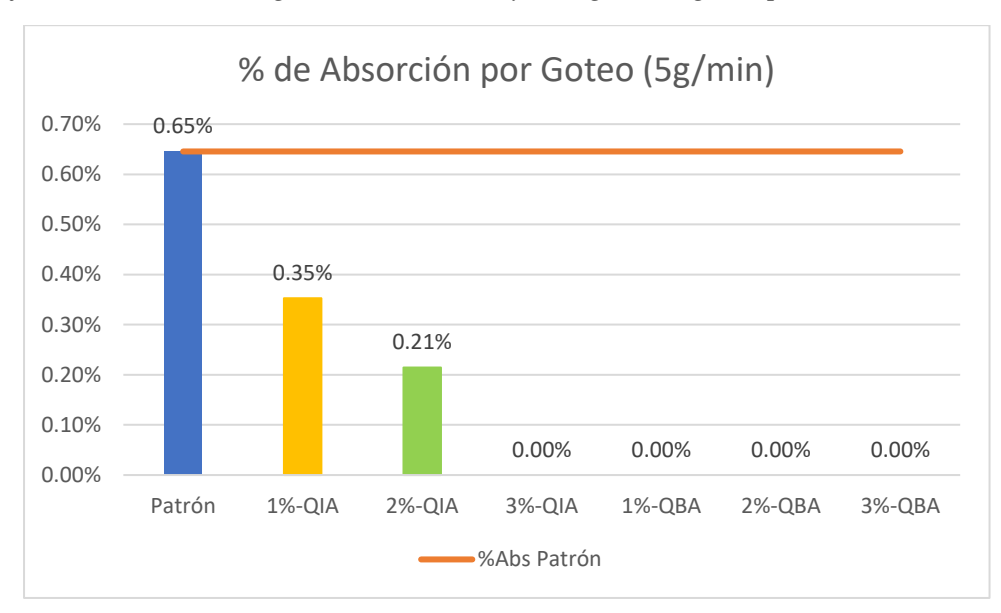


Tabla 14Variación de absorción por goteo de 5 gotas por minuto respecto del patrón

Código	%Abs	%	Var. %Abs	Var %
Patrón	0.65%	100.00%	-	-
1%-QIA	0.35%	54.64%	0.29%	45.36%
2%-QIA	0.21%	33.23%	0.43%	66.77%
3%-QIA	0.00%	0.00%	0.65%	100.00%
1%-QBA	0.00%	0.00%	0.65%	100.00%
2%-QBA	0.00%	0.00%	0.65%	100.00%
3%-QBA	0.00%	0.00%	0.65%	100.00%

Figura 12 *Porcentaje de absorción de agua mediante ensayo de goteo 10 gotas por minuto*

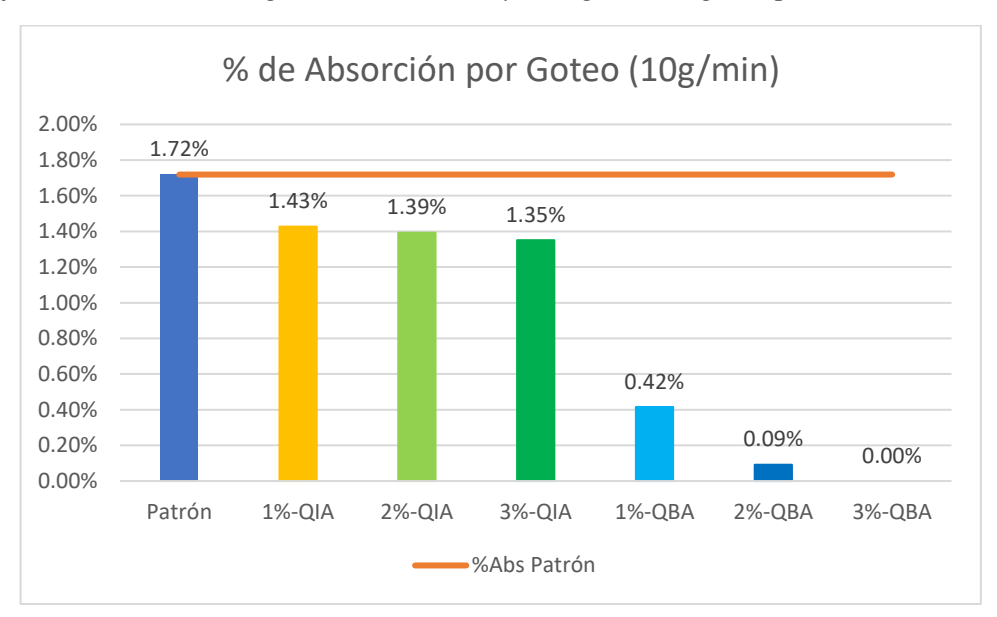


Tabla 15Variación de absorción por goteo de 10 gotas por minuto respecto del patrón

Código	%Abs	%	Var. %Abs	Var %
Patrón	1.72%	100.00%	-	-
1%-QIA	1.43%	83.01%	0.29%	16.99%
2%-QIA	1.39%	81.03%	0.33%	18.97%
3%-QIA	1.35%	78.59%	0.37%	21.41%
1%-QBA	0.42%	24.17%	1.30%	75.83%
2%-QBA	0.09%	5.33%	1.63%	94.67%
3%-QBA	0.00%	0.00%	1.72%	100.00%

Figura 13 *Ensayo Mecánico de rotura a compresión*

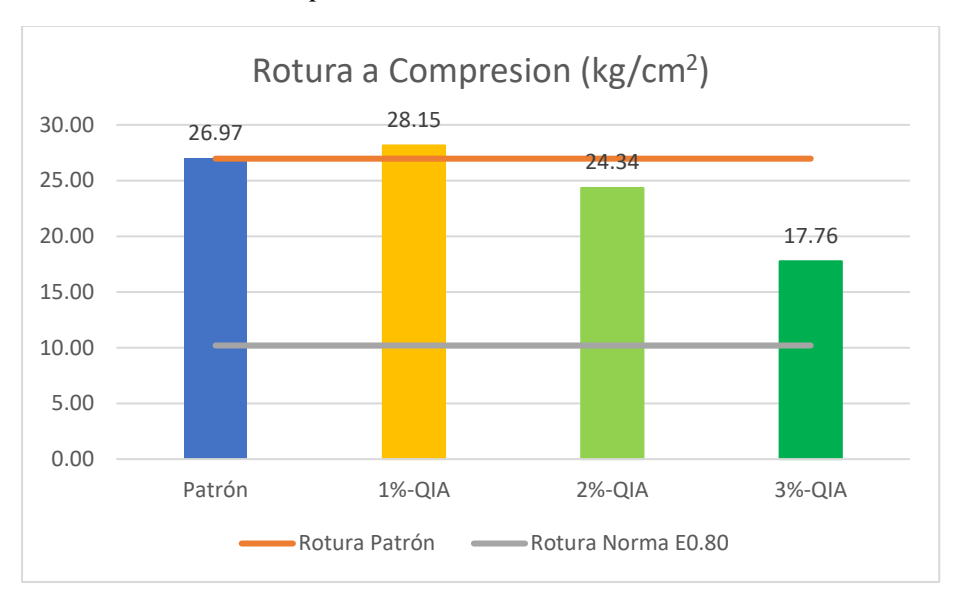
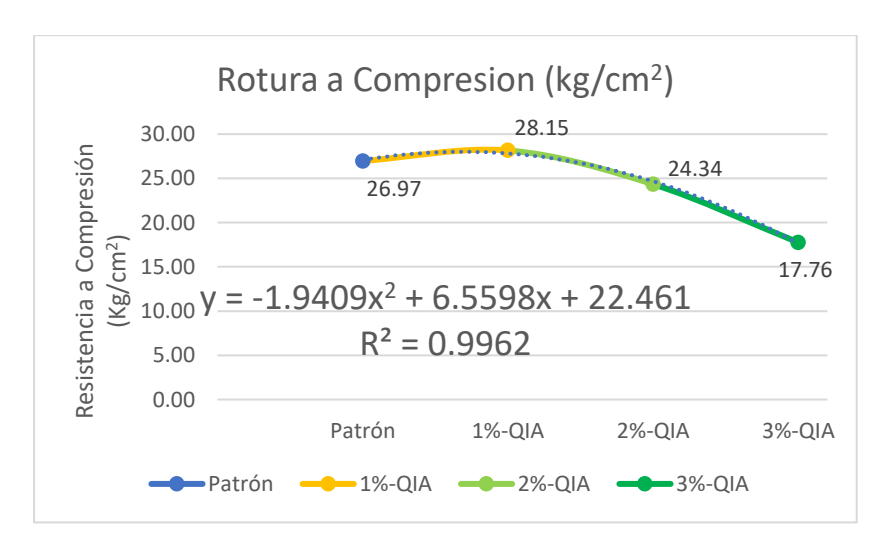


Tabla 16Variación de la resistencia a compresión respecto del patrón

Código	Kg/cm2	%	Var	Var %
Patrón	26.97	100%	-	-
1%-QIA	28.15	104%	1.18	4%
2%-QIA	24.34	90%	-2.63	-10%
3%-QIA	17.76	66%	-9.21	-34%

Figura 14

Línea de tendencia, ecuación y ajuste lineal del ensayo de rotura a compresión



5.2.2 Interpretación de resultados

Se analizaron los resultados ensayo por ensayo, conforme al parámetro evaluado que es la resistencia a la humedad. Los resultados presentados anteriormente en las Tablas 8, 9, 10, 11 y 12 comprenden los valores promedios de los especímenes ensayados, como se deja notar en la norma E0.80 – Diseño y Construcción con Tierra Reforzada que se deben de cumplir con el promedio de las cuatro (04) mejores resultados de seis (06) es decir, que para este tipo de ensayo considerar mejores, indica eliminar los valores excéntricos obtenidos para de esta forma tener un resultado más centrado.

En cuanto al **ensayo de sumergimiento** como se observa en la **Tabla 8**, se puede decir que la incorporación del estearato de zinc diluido con acetona (QIA) en la mezcla está generando un resultado mejor respecto a la del patrón, y frente al bañado externo con el estearato de zinc diluido con acetona (QBA). Los especímenes QIA logra mejorar la performance de la resistencia a la humedad, con el 1% de estearato de zinc diluido con acetona, logra descender la humedad en 13 puntos porcentuales respecto del patrón, consecuentemente el porcentaje de humedad con el 2% se reduce en 4 puntos porcentuales respecto del 1%, y con el 3% de estearato de zinc diluido en acetona nuevamente se reduce en casi 3 puntos porcentuales, por lo que se deja notar claramente el comportamiento hidrofóbico del estearato de zinc diluido con acetona e incorporado en la matriz de formación del adobe. Respecto a los especímenes QBA, respecto del patrón, con el 1% reduce la humedad en casi 4 puntos porcentuales, y de allí en la comparación con los subsecuentes disminuyen en 1.5 puntos porcentuales aproximadamente. Este ensayo de sumergimiento como se especifica en la Tabla 11 se midió luego de los 20 minutos de sumergidos, debido a que el patrón se empieza a disolver en el sumergimiento, luego de observó el tiempo en el que logran disolverse

completamente donde los patrones ya se encuentran amorfos y disueltos casi en su totalidad a las 3 horas y 20 min., los QIA con el 1%, a las 12 h y 15 min, los QIA del 2% a las 14 horas 30 min, y los QIA al 3% se desintegran a las 16 horas y 18 minutos, los QBA de cualquier porcentaje duran casi lo mismo que los especímenes patrón, solo aumenta su resistencia al sumergimiento inicial en 10 min.

Para los ensayos de goteo se aclara que se colocó todas las venoclisis a una altura de 12 cm, además indica en la venoclisis que 20 gotas forman 1 ml de agua. Por lo que si aplicamos la Energía de impacto es E=mgh, entonces 1 gota representa 1/20 g, equivalente a 0.00005 kg, g=9.81 m/s $^{\rm s}$ y h=0.12m, lo que nos da por impacto de gota un total de 0.00005886 Joules por gota, y son 50 / 100 gotas, lo que genera un total de energía de impacto de 0.002943 J / 0.005886J para 5 y 10 gotas respectivamente

En cuanto al **ensayo de goteo de 5 gotas por minuto en un tiempo de 10 minutos** como se visualiza en **Tabla 9**, configurado y calibrado con venoclisis clínicas, se sometió al ensayo a todos los tipos de especímenes. En cuanto al patrón en promedio obtuvo un 0.65% de absorción por goteo, generando un pequeño ahuecamiento / oquedad en los especímenes. En lo que se peude verificar en los especímenes QIA el porcentaje de absorción por el goteo es de 0.35% 0.21% para el 1% y 2% QIA respectivamente y desde el 3%QIA y los diferentes porcentajes los QBA se obtiene un 0% de absorción. En los QBA por la capa que tienen de estearato de zinc, no permite la intrusión de agua dentro del espécimen, logrando que las gotas "reboten" o queden en la superficie del espécimen.

En cuanto al ensayo de goteo de 10 gotas por minuto en un tiempo de 10 minutos como se observa en la Tabla 10, configurado y calibrado con venoclisis

clínicas, se sometió al ensayo a todos los tipos de especímenes. En cuanto al patrón en promedio obtuvo un 1.72% de absorción por goteo, generando un pequeño ahuecamiento / oquedad y parte disuelta sobre los especímenes. En lo que se puede verificar en los especímenes QIA el porcentaje de absorción por el goteo es de 1.43%, 1.39% y 1.35% para el 1%, 2% y 3% de los especímenes en los cuales se ha incluido en la matriz el estearato de zinc diluido en acetona. Para el 1% y 2% de QBA se encuentra cierto nivel de humedad debido a que el impacto de las gotas logro penetrar la capa de estearato de zinc, logrando penetrar en el espécimen y retener la humedad. En el 3% de QBA no retuvo ningún porcentaje de humedad, "rechazando" el agua que provenía del gotero.

Respecto al **ensayo de rotura a compresión en la Tabla 12**, solo se realizaron con los especímenes patrón y con los QIA, en especímenes cúbicos de 10cm por lado. El espécimen patrón alcanzó en promedio una resistencia a la compresión de 26.97 kg/cm², para el 1% de QIA obtuvo en promedio de 28.15 kg/cm², para el 2% de QIA obtuvo en promedio de 24.34 kg/cm², para el 3% de QIA obtuvo en promedio DE 17.76 kg/cm². Todos estos resultados superan lo que se especifica en la norma E0.80 que es de 10.2 kg/cm².

5.2.3 Discusión de Resultados

En cuanto al **sumergimiento en agua de los especímenes**, estos responden rápidamente a la desintegración por efecto del agua entrando por los poros visibles y no visibles del espécimen. En los especímenes patrón el agua empieza a generar daño desde el segundo de iniciado el sumergimiento y aquellos que tenían la inclusión del porcentaje de 1%, 2% y 3% del químico estearato de zinc diluido con acetona incluido en la matriz del elemento, presentaron cierto rechazo a la intromisión del agua dentro del material, y

los que fueron bañados con el estearato de zinc diluido con acetona, presentaron un rechazo absoluto a la intrusión del agua y se dio forma una película en el material que impide el paso del agua, no obstante por las fisuras en el material, el agua penetra en los especímenes y produce la desintegración, esa resistencia a la intromisión del agua duro aproximadamente 10 minutos, a partir del cual por la presión generada por el agua que logró filtrarse ocasionó que se "descascare" la capa protectora y el espécimen comience a desintegrarse.

Esto coincide con la investigación realizada por Lanzón, que generó también el sumergimiento, y por lo que se ve es de concordancia que la integración de estearato de zinc en los adobes o en cualquier construcción con tierra mejora la durabilidad y resistencia al agua por parte de estos elementos. Cabe resaltar que no indica con precisión el tiempo en que se van deteriorando, no obstante, en esta investigación se tomó el tiempo de desintegración inicial, parcial, donde la definición de parcial indica que el elemento aún tiene la forma con la que fue concebido y al tacto parece uniforme, sin embargo, la resistencia a alguna acción lo suficientemente puede romperlo o desintegrarlo. En esta investigación se vio como en los primeros 20 minutos los especímenes patrón empezaron a desintegrarse de forma rápida, lo cual en respuesta a ello se hizo un sifón para retirar toda el agua y realizar el peso de los elementos para determinar la humedad, y este fue el marcador inicial para los demás especímenes y realizar la medición.

Se demuestra en la investigaciones de Ouedrago y otros (2019) y también de Hennenberg De León & Briceño (2016) utilizaron la inclusión en % de peso del cemento con la tierra, en la investigación de Ouedrago sumergieron los adobes por dos (2) horas y pasaron a la rotura, alcanzando hasta 0.6 MPa, que casi el valor medio que indica

la norma E0.80 en estado seco y referente con esta investigación que a las 3 horas y 20 min (Ref. Tabla 11) los especímenes patrón ya no conforman una unidad apreciable, pero si casi en su totalidad deformada. No obstante, con los que tienen la inclusión en la matriz del estearato de zinc diluido van entre las 12 horas y 16 horas en que se puede apreciar la forma del elemento, entonces se podría decir que a las 2 horas los especímenes formados podrían soportar carga mayor, debido a que el cemento como insumo es hidrófilo, lo que genera una mayor desintegración de la tierra a diferencia del químico utilizado, que repele el agua. Para Hennenberg de León & Briceño, la mezcla con cemento y cal, tambien repele el agua, sin embargo, con el término que ellos emplean de "cierta impermeabilidad" indican que las absorciones producidas por el sumergimiento o contacto con el agua varían entre 9% y 22.10%, lo que se encuentra dentro los rangos de absorción que se plantean con la inclusión en la matriz de estearato de zinc diluido con acetona.

Para el ensayo de goteo de 5 gotas y 10 gotas por minuto, el impacto es mínimo, considerando que, según los científicos, una gota de lluvia no cae en el mismo lugar, se está sometiendo a los especímenes a una "perforación hidráulica constante" y que cuyo experimento se detiene cuando ya se presenta una oquedad en el espécimen, por ello se consideró un tiempo corto de 10 minutos. Ocasionó una oquedad de 1 /1.5-2 mm en los especímenes patrones, que para el tamaño del espécimen es despreciable. En el desarrollo de ensayo, en los especímenes patrón se empieza a notar la oquedad y la intrusión directa del agua en el espécimen, mientras que como vaya aumentando el porcentaje de estearato de zinc incluido en la matriz (QIA), el agua va recorriendo la superficie hasta introducirse en la unidad, esto es por el efecto de hidrofobicidad del compuesto adicionado.

Caso contrario ocurre en los bañados externamente (QBA) en los que el agua rebota directamente sobre la superficie, sin embargo, hubo dos especímenes, en la cual se pudo romper la capa protectora del espécimen y se logró filtrar cierta humedad, lo cual se reflejan en los datos para 10 gotas por minuto con 0.42% y 0.09% para 1%QBA y 2%QBA respectivamente. Se tiene que resaltar que la cobertura es producto de un proceso físico y no químico, que al evaporarse o difuminarse la acetona en el ambiente, el estearato de zinc regresa nuevamente a su estado normal, Se logra destacar que la inclusión como el bañado de estearato de zinc reducen la absorción de agua por goteo, como lo confirma la investigación de Lanzón y otros. Sin embargo, en dicha investigación tambien hacen prueba con ácido clorhídrico para simular goteos de lluvia ácida, no obstante, aún no se perciben lluvias ácidas en Cajamarca según el SENHAMI. En cuanto a las demás investigaciones citadas como Nakamautsu y otros; y de Hennenberg De León & Briceño, afirman que sus composiciones con carragenina y con adiciones de cemento respectivamente tambien mejorar la penetración del agua en los especímenes de tierra.

En lo que respecta al **ensayo de rotura por compresión**, solo se han ensayado los especímenes patrón y aquellos en los que se incluyó en la matriz el estearato de zinc diluido con acetona, debido a que los cubiertos con el químico detallado solo forman una capa de revestimiento frágil. El patrón llega a tener un valor promedio de resistencia a la compresión es de 26.97 kg/cm², para luego aumentar su valor con el 1%-QIA a 28.15 kg/cm², para descender consecuentemente con el 2%-QIA a 24.34 kg/cm²y siguiendo con el descenso con el 3%-QIA con 17.76 kg/cm², todo ello respecto del patrón. Este comportamiento tambien es corroborado por la investigación realizada por Cáceres, ya que en dicha investigación solo incluyó el estearato de zinc en polvo dentro de la matriz, La única diferencia es que en la investigación de Cáceres R. son Bloques de Tierra

Comprimidos (BTC) lo cual es muy diferente a la formación de estos que solo son hechos de forma natural sobre la gabera formadora de la unidad, sin embargo al usar el 2% QIA disminuye respecto del patrón y en la investigación citada cuando el estearato de zinc es integrado sin diluir aumenta el valor de la resistencia. Para el 3% disminuye completamente en ambas investigaciones. El factor R² para esta investigación en cuanto a la rotura a compresión es de 0.9962, lo cual es 0.0038 de diferencia para llegar a la unidad, por lo que se puede considerar que la rotura mecánica a compresión de las unidades de adobe cubico y sus valores estan dentro de verificable y aceptable. Lanzón tambien menciona que la resistencia aumenta al integrar materiales como el estearato de zinc a la tierra para la elaboración de especímenes.

5.3 Contrastación de hipótesis

Conforme el desarrollo de la investigación, se propuso que la resistencia en la humedad variará en un 5%, es decir que absorberá o dejará de absorber agua en ese porcentaje. Y en cuanto al ensayo de absorción por sumergimiento, la mayor variación de absorción positiva se encuentra con los especímenes en los que se han incorporado en la matriz el estearato de zinc diluido, mejoró la absorción en promedio de 12.92%, 16.80% y 19.42% para los especímenes de 1%, 2% y 3% QIA respectivamente, superando positivamente y con alta variación respecto de la hipotesis. No obstante, con los especímenes bañados externamente con estearato de zinc diluido con acetona, se encuentra dentro del parámetro previsto por la hipotesis, ya que presentan una variación del 3.46%, 5.04%, 6.16% del 1%, 2% y 3% QIA respectivamente, cabe mencionar que estos porcentajes son comparativos respecto del promedio del espécimen patrón, de igual modo dentro del rango previsto por la hipotesis, salvo el de 3% de QBA que es mayor en 1.16%,

Para el ensayo de goteo de 5 gotas por minuto, la variación es de menos de 1% respecto del patrón, aunque se presentan oquedades en los especímenes patrón; la variación es de 0.29% 0.46% y 0.65% para los especímenes del 1%, 2% y 3% QIA respectivamente. Para todos los especímenes bañados (QBA) la diferencia es el total de la absorción promedio del patrón, debido a que estos no presentan ninguna absorción por humedad, por el "rebote" de la gota al impactar con el espécimen. Estos resultados se encuentran dentro del margen de la hipotesis planteada con un valor muy pequeño.

Para el **ensayo de goteo de 10 gotas por minuto,** la variación es de menos de 1% respecto del patrón, la variación es de 0.29% 0.33% y 0.37% para los especímenes del 1%, 2% y 3% QIA respectivamente. Para los especímenes bañados (QBA) la diferencia es de 1.30%, 1.63% y de 1.72% de la absorción promedio del patrón, debido a que estos

no presentan ninguna absorción por humedad, por el "rebote" de la gota al impactar con el espécimen, no obstante, hubo dos especímenes del 1% y del % respectivamente en los que las gotas de impacto rompieron la capa protectora generando la absorción por humedad del espécimen. Estos resultados se encuentran superando positivamente la hipotesis planteada con un valor muy pequeño.

CONCLUSIONES

Se determinó la variación de la Resistencia a la humedad de los especímenes de tierra en diferentes ensayos, **el primero por sumergimiento**, en el cual se obtuvieron porcentajes (%) de Absorción de 32.20% en promedio para los patrones, que fue superado ampliamente por aquellos en que se incorporó estearato de zinc diluido con acetona en la matriz, denominados con el código QIA con el 19.28%, 15.40% y 12.78% para el 1% y 2% y 3% del peso de incorporación del químico respectivamente. Por otro lado, se reduce ligeramente este margen para los especímenes que fueron bañados con el estearato de zinc diluido con acetona, denominados con el código QBA con el 28.74%, 27.16% y 26.04% para el 1%, 2% y 3% del peso de bañado externo.

En el segundo ensayo **absorción por goteo de 5 gotas por minuto,** si bien es cierto los porcentajes son mínimos, el promedio para los especímenes patrón es de 0.65% de absorción y estos presentaron una leve oquedad de casi 1 mm, para los especímenes QIA el porcentaje es de 0.35%, 0.21% y 0% para el 1% y 2% y 3% del peso de incorporación del químico respectivamente, y para los especímenes de QBA todos de ellos presentan el 0% de absorción, ya que el químico hizo de barrera para proteger los especímenes.

En el tercer ensayo, **absorción por goteo de 10 gotas por minuto,** los porcentajes tambien son mínimos, el promedio para los especímenes patrón es de 1.72% de absorción y estos presentaron una leve oquedad de casi 1.5 mm, para los especímenes QIA el porcentaje es de 1.43%, 1.39% y 1.35% para el 1% y 2% y 3% del peso de incorporación del químico respectivamente, y para los especímenes de QBA de ellos presentaron el 0.42%, 0.09% y 0% de absorción para el 1%, 2% y 3% del peso de bañado externo. Se

reportan valores en los bañados debido a que en uno de ellos el agua rompió y penetró la cobertura, en cuanto a los demás el químico hizo de barrera para proteger los especímenes.

Debido a la información recopilada de los ensayos, se afirma con certeza que la incorporación de Estearato de Zinc diluido con acetona, incorporado en la matriz o con un bañado externo protegen a los especímenes de tierra, es decir otorgaron **un porcentaje de resistencia a la humedad** que mejoró la respuesta de los especímenes frente a la acción del agua, sin embargo, la capa externa formada por el bañado del químico es frágil, por lo que no aportara alguna resistencia mecánica.

También se desarrolló de forma consecuente adobes cúbicos para la **rotura mecánica a compresión**, como especifica la norma E0.80 de 10cm por lado, tan solo de los especímenes patrón y de los QIA, y se obtuvieron resultados alentadores sobre la resistencia mecánica a compresión, de 26.97 kg/cm² en promedio para los especímenes patrón y de 28.15 kg/cm², 24.34 kg/cm² y 17.76 kg/cm² en promedio para el 1%, 2% y 3% QIA respectivamente. Todos estos valores por encima de lo que especifica la norma de 10.2 kg/cm². El mejor resultado en la rotura está representado por el 1% del QIA.

Finalmente, en cuanto a los usos respectivos de este proyecto de investigación, se define con certeza que, los especímenes bañados con el estearato de zinc diluido con acetona, mínimamente con el 1% se pueden usar en las partes altas de las construcciones de tierra para proteger de las goteras o intemperie húmeda, los especímenes que tienen incluido el químico diluido, debido a sus resistencia a la compresión con el 1% se pueden usar en muros de carga o portantes, con el 2% en muros de amarre o mochetas y el de 3% como tabiquería, parapetos o divisores de espacios, debido a su resistencia mecánica.

RECOMENDACIONES Y/O SUGERENCIAS

La acetona utilizada fue la comercial, empleada para cosméticos, debido a que era un disolvente apolar necesario generar una disolución que se pueda incorporar en la matriz de tierra y mezclarlo, además fácilmente adquirible y de cierta manera económico. Es probable que su evaporación sea muy rápida y genere fisuras en el material cuando es bañado con la disolución, a la misma vez la acetona 100% pura es un químico que necesita registro de uso por parte del estado, por sus posibles usos delictivos. Para un total de 96 kg de tierra, se empleó 1.716 kg de estearato de zinc, y 3 litros de acetona comercial.

A futuro, se podrían realizar adobes cúbicos y someterlos a rotura a compresión, luego de la absorción por sumergimiento pasados los 20 minutos para determinar la resistencia remanente de la unidad y asi proponer mejoras en cuanto a su elaboración o integración de diferentes porcentajes de estearato de zinc.

El goteo se realizó con venoclisis, se espera es que se pueda mejorar con algún goteo controlado digitalmente para asegurar la dosificación de agua en tiempo y forma.

De la misma forma que lo anterior, no solo se podría utilizar agua, sino tambien otras soluciones como ácido clorhídrico (5% del peso de agua) o ácido sulfúrico (5% del peso de agua) para simular condiciones de lluvia ácida.

Se puede someter también a algún ensayo de erosión por viento o someterlo al ensayo de túnel de viento, que es propio de vehículos o de edificaciones en altura, de esta forma se pueden obtener datos sobre su resistencia a la erosión como material integral.

Por el momento estos especímenes dan una buena información para que se puedan realizar estos tipos de elementos para reconstruir o mejorar la resistencia a la humedad en centros históricos, ya que la gran mayoría de centros históricos en las ciudades del Perú son de construcción con tierra.

REFERENCIAS BIBLIOGRÁFICAS

- Arkiplus. (16 de Mayo de 2021). *Arkiplus Portal especializado en temas de arquitectura, construcción, paisajismo y arte*. Obtenido de http://www.arkiplus.com/10-grandes-construcciones-con-ladrillos-de-barro
- Cabrera Arias, D., & Huaynate Granados, W. (Diciembre de 2010). *Mejoramiento de las construcciones de adobe ante una exposición prolongada de agua por efecto de inundaciones*. Obtenido de http://hdl.handle.net/20.500.12404/881
- Cáceres Vásquez, R. M. (17 de Enero de 2019). *Propiedades mecánicas e hidrofóbicas de adobes compactados al incorporar estearato de zinc*. Obtenido de https://hdl.handle.net/11537/14750
- Cerna Chávez, R. (21 de Mayo de 2021). *SCRIBD*. Obtenido de https://es.scribd.com/doc/167229561/Secado-de-Materiales-de-Proceso
- Construmática Megaportal de Arquitectura, Ingeniería y Construcción. (21 de Mayo de 2021). *Construmática*. Obtenido de https://www.construmatica.com/construpedia/Aditivo
- Construmática Metaportal de Arquitectura, Ingeniería y Construcción. (21 de Mayo de 2021). *Construmática*. Obtenido de https://www.construmatica.com/construpedia/Absorci%C3%B3n
- Cooperación del Desarrollo Tecnológico. (2012). Evaluación de Daños y Soluciones para Construcciones en Tierra Cruda Manual de Terreno. Santiago de Chile: Gráfica Andes.
- Corporación Sierra Madre. (21 de Mayo de 2021). *Estearato de Zinc*. Obtenido de Estearato de Zinc: https://corpsierramadre.com/estearatos/estearato-de-zinc/
- CRAterre. (21 de Mayo de 2021). *CRAterre: Building cultures and sustainbale development*. Obtenido de http://craterre.org/accueil:galerie-desimages/default/gallery/38/gallery_view/Gallery#
- Definiciona. (21 de Mayo de 2021). *Definiciona*. Obtenido de https://definiciona.com/sumergimiento/

- Diario Correo. (30 de Enero de 2015). *Diario Correo*. Obtenido de Intervienen casona afectada por humedad: https://diariocorreo.pe/peru/intervienen-casona-afectada-por-humedad-561379/
- Diccionario de la Real Academia Española. (21 de Mayo de 2021). Obtenido de https://dle.rae.es/goteo
- Diccionario de la Real Academia Española. (21 de Mayo de 2021). *DLE RAE*. Obtenido de https://dle.rae.es/acetona
- Facultad de Arquitectura Artes Diseño y Urbanismo, U. M. (24 de Abril de 2021). FAADU. Obtenido de http://portal.faadu.edu.bo/faadu/index.php/portada
- Falceto, J. C., Mazarrón, F. R., & Cañas, I. (Septiembre de 2011). Las normativas de construcción con tierra en el mundo. Obtenido de Researh Gate:

 https://www.researchgate.net/publication/277834793_Las_normativas_de_construccion_con_tierra_en_el_mundo
- FDM. (21 de Mayo de 2025). *FDM Environment Makers*. Obtenido de www.dellamarca.it
- Gallegos, H., & Casabonne, C. (2005). Albañilería Estrctural. En H. Gallegos, & C. Casabone. Lima: Fondo Editorial de la PUCP.
- Gallegos, H., & Casabonne, C. (2005). *Albañilería Estructural*. Lima: Fondo Editorial de la PUCP.
- Hennenberg De León, A. M., & Briceño, D. (Marzo de 2016). *Ensayos a mezclas de barro estabilizadas para el relleno y empañetado de paredes de Bahareque*.

 Obtenido de Ingeniería, Investigación y Tecnología:

 https://doi.org/10.1016/j.riit.2016.01.013
- HispanTV. (13 de Abril de 2015). *HispanTV Nexo Latino*. Obtenido de http://www.hispantv.com/noticias/cultura/26535/iran-y-francia-colaboraran-enarquitectura-de-adobe
- INEI. (30 de Mayo de 2014). *INEI*. Obtenido de https://www.inei.gob.pe/prensa/noticias/en-mas-de-3-millones-de-viviendas-predominan-paredes-de-materiales-vulnerables-a-movimientos-teluricos-7583

- INEI. (23 de Marzo de 2016). INEI. Obtenido de https://www.inei.gob.pe/prensa/noticias/inei-presento-los-principales-resultadosdel-empadronamiento-de-poblacion-y-vivienda-en-el-ambito-de-influencia-delos-tambos-2015-8974/
- INEI. (Agosto de 2018). INEI. Obtenido de INEI: https://www.inei.gob.pe/media/MenuRecursivo/publicaciones_digitales/Est/Lib1 538/Libro.pdf
- Lanzón, M., Martínez, E., Mestre, M., & Madrid, J. A. (14 de 11 de 2017). Obtenido de Science Direct:

 http://www.sciencedirect.com/science/article/pii/S0950061817302416
- Ministerio de Vivienda Construcción y Saneamiento. (7 de Abril de 2017). *Norma E.080 Diseño y Construcción con Tierra Reforzada*. Obtenido de

 https://procurement-notices.undp.org/view_file.cfm?doc_id=109376
- Ministerio de Vivienda Construcción y Saneamiento. (29 de Julio de 2020). *Gobierno del Pérú*. Obtenido de Normas del Reglamento Nacional de Edificaciones (RNE): https://www.gob.pe/institucion/sencico/informes-publicaciones/887225-normas-del-reglamento-nacional-de-edificaciones-rne
- Moyano, C., & Moyano, J. (2014). *Issuu*. Obtenido de Issuu: https://issuu.com/elpandelmono/docs/patolog__as_en_construcciones_de_ad
- Nakamatsu, J., Suyeon, K., Ayarza, J., Ramirez, E., Elgegren, M., & Aguilar, R. (Mayo de 2017). "Eco-friendly modification of earthen construction with carrageenan: Water durability and mechanical assessment". Obtenido de Construction and Building Materials: https://doi.org/10.1016/j.conbuildmat.2017.02.062
- Organización de las Naciones Unidas para la Educación la Ciencia y la Cultura. (16 de Mayo de 2021). *UNESCO*. Obtenido de http://whc.unesco.org/es/list/492
- Ouedraogo, K. A., Aubert, J.-E., Tribout, C., & Escadeillas, G. (Noviembre de 2019).
 "Is stabilization of earth bricks using low cement or lime contents relevant?"

 [En español: Es la estabilización de ladrillos de tierra con bajo contenido de cemento o cal. ¿pertinente?]". Obtenido de Construction and Building Materials
 (Vol. 236, Art. 117578): https://doi.org/10.1016/j.conbuildmat.2019.117578

- PAQSA. (21 de Mayo de 2021). *PAQSA*. Obtenido de http://blog.paqsa.com.mx/diferencia-entre-grieta-y-fisura/
- Perú21. (26 de Febrero de 2016). *PERU21*. Obtenido de PERU21: https://peru21.pe/lima/intensas-lluvias-provocaron-colapso-30-casas-piura-tumbes-fotos-211788
- Ramírez Caparó, J. (23 de Mayo de 2018). Estudio de las Propiedades Mecánicas y Físicas del Adobe con Biopolímeros de Fuentes Locales. Obtenido de http://hdl.handle.net/20.500.12404/12054
- Reactivos Química Meyer. (24 de Octubre de 2016). *Reactivos Meyer*. Obtenido de Reactivos Meyer:

 http://reactivosmeyer.com.mx/datos/pdf/reactivos/hds_2760.pdf
- Rivero Bolaños, S. (16 de Mayo de 2021). *SCIELO*. Obtenido de Apuntes: http://www.scielo.org.co/pdf/apun/v20n2/v20n2a15.pdf
- Rodriguez Filho, R. (2007). El uso de la tierra como elemento constructivo en Brasil: un corto panorama del proceso histórico, manejo, usos, desafíos y paradigmas.

 Obtenido de Apuntes: Revista De Estudios Sobre Patrimonio Cultural, 20(2): https://revistas.javeriana.edu.co/index.php/revApuntesArq/article/view/8979
- RRP. (10 de Febrero de 2012). *RPP*. Obtenido de Cajamarca: Casonas del centro histórico en riesgo de colapsar: http://rpp.pe/peru/actualidad/cajamarca-casonas-del-centro-historico-en-riesgo-de-colapsar-noticia-449965
- RRP. (01 de Febrero de 2017). *Radio Programas del Perú*. Obtenido de http://rpp.pe/peru/lambayeque/la-humedad-hara-colapsar-mas-casas-alerta-alcalde-del-distrito-de-pacora-noticia-1027802
- TIEMPO, E. (08 de 09 de 2017). *EL TIEMPO PIURA*. Obtenido de EL TIEMPO PIURA: http://eltiempo.pe/puedo-volver-habitar-casa-afectada-la-inundacion/
- Torrealva Dávila, D. (Junio de 2003). *Pontifica Universidad Católica del Perú Departamento de Ingeniería Sección Ingeniería Civil*. Obtenido de https://docplayer.es/7449073-Pontifica-universidad-catolica-del-perudepartamento-de-ingenieria-seccion-ingenieria-civil.html

- Trigo Salas, T. A. (Junio de 2015). *Universidad Politécnica de Catalunya*. Obtenido de Institut Universitari de Recerca en Ciència i Tecnologies de la Sostenibilitat: https://upcommons.upc.edu/bitstream/handle/2117/78074/TFM_TTrigo_Junio% 202015.pdf?sequence=1&isAllowed=y
- United States Enviromental Protection Agency EPA. (Abril de 2016). *Guía para el Control de la Humedad en el Diseño, Cosntrucción y Mantenimiento de Edificaciones*. Obtenido de EPA Español:

 https://espanol.epa.gov/sites/production-es/files/2016-07/documents/moisture_control_guidance_spanish_april_2016_508_final.pdf
- Yepez Tambaco, D. A. (16 de Mayo de 2021). *Academia*. Obtenido de Análisis de la arquitectura vernácula del Ecuador: Propuestas de una arquitectura contemporánea sustentable.:

 https://www.academia.edu/29898709/An%C3%A1lisis_de_la_arquitectura_vern %C3%A1cula_del_Ecuador_Propuestas_de_una_arquitectura_contempor%C3% A1nea_sustentable
- Yuste, B. (2016). Arquitectura de Tierra: Caracterización de los tipos Edificatorios. EnB. Yuste. Cataluña: Universidad Politécnica de Cataluña.

APÉNDICES Apéndice 1 Protocolo de Ensayo de Absorción por Sumergimiento

PROT	OCOLO DE	LABORATO	DIO I	EL ARORAI	DO POP P	AMO	DM	LIAH CAC	MARCA	COLLEZ
ENSAY	ΔΙ	BSORCIÓN D	E AG		PECIMENE		844,4100		DOCUMEN	
NORM/ REFER				04 Y 399.16					-UNCEP: .	
Posyrati PROYE	Est	Estudio de la resistencia a la humedad en especim la mezcla o bañado externo de estearato de zinc d								
CANTERA:		Cruz Blanca		TIPO DE N	MATERIAL	. 1	Tierra – Suelo para adobe			
UBICACIÓN:	Cruz Bla							12.000000000000000000000000000000000000	Rojizo	
FEOUR DE ENOUVO	**			RESPONS	ABLE:		Ing.		ásquez, Ron	ald Mijail
FECHA DE ENSAYO: 14-1	5/10/2024			REVISADO	POR:		Dr.		el Angel Mo Moreno	squeira
Fecha: 15/10/2024 H.I: 12:0					Abcoroión	do Es	nacín	nonos al 1º	%Q Bañados	
Fecha: 15/10/2024 H.F: 12:3 CÓDIGO DEL ESPÉCI		Unida	d de	1%QBA-	A R. P. Lewis Co., Name of Street, or other party of the Co.	1%0			1%QBA-	1%QBA-
Peso Seco del Espécim	nen (A)	gr	B /	101	IAI					
Peso Húmedo del Espé (B)	écimen en P	ie gr	1							
Peso Húmedo del Mate en depósito luego de D		ado gr		a				D		
Peso del Agua (D)=(B+	NAME OF TAXABLE PARTY.	gr	-	100 - 100						
% Absorción (E)=(D)/(A *PROMEDIO: Este valor ha s meta con la incorporación de	A) sido calculado e	% con los porcentaje	es de a		ares, para fiji	arse un	a	Prom.		
% Absorción (E)=(D)/(A *PROMEDIO: Este valor ha si meta con la incorporación de Fecha: 15/10/2024 H.I: 12:05 Fecha: 15/10/2024 H.F: 12:3	sido calcutado e e Estearáto de 5. 5. 5. Total: 30m (% con los porcentaj. Zinc diluido en ac	es de a retona.		3×	n de E		JAI	%Q Bañado 2%QBA-	2%QBA-
% Absorción (E)=(D)/(A *PROMEDIO: Este valor ha s meta con la incorporación de Fecha: 15/10/2024 H.I: 12:00	sido calcutado e e Estearáto de 5. 5. 5. Total: 30m (% con los porcentaj. Zinc diluido en ac	es de a retona.		Absorción	n de E	specii	menes al 2		
% Absorción (E)=(D)/(A *PROMEDIO: Este valor ha si meta con la incorporación de Fecha: 15/10/2024 H.I: 12:05 Fecha: 15/10/2024 H.F: 12:3	sido calculado e el Estearato de 5. Total: 30m (% con los porcentaj. Zinc diluido en ac	es de a retona.	2%QBA-	Absorción 2%QBA-	n de E	specii QBA-	menes al 2	2%QBA-	2%QBA-
% Absorción (E)=(D)/(A *PROMEDIO: Este valor ha si meta con la incorporación de Fecha: 15/10/2024 H.I: 12:00 Fecha: 15/10/2024 H.F: 12:3 CÓDIGO DEL ESPÉCI	A) sido calculado el Esterarilo de le Esterarilo de la Es	% percentaj Zinc diluido en ar A los 10m romp Unidar Medi	es de a retona.	2%QBA-	Absorción 2%QBA-	n de E	specii QBA-	menes al 2	2%QBA-	2%QBA
% Absorción (E)=(D)/(A *PROMEDIO: Este valor ha s meta con la incorporación de Fecha: 15/10/2024 H.F: 12:3 CÓDIGO DEL ESPÉCI Peso Seco del Espécim Peso Húmedo del Espé	MEN Secimen en P	% porcentaje dinuido en ar din	es de a retona.	2%QBA-	Absorción 2%QBA-	n de E	specii QBA-	menes al 2	2%QBA-	2%QBA
% Absorción (E)=(D)/(A *PROMEDIO: Este valor ha simeta con la incorporación de Fecha: 15/10/2024 H.I: 12:00 Fecha: 15/10/2024 H.F: 12:30 CÓDIGO DEL ESPÉCI Peso Seco del Espécim Peso Húmedo del Espé(B) Peso Húmedo del Mate	MEN Commen (A) Commen en P Commen en P Commen (C)	A tos 10m romp Unidae Medi gr	es de a retona.	2%QBA-	Absorción 2%QBA-	n de E	specii QBA-	menes al 2	2%QBA-	2%QBA-
% Absorción (E)=(D)/(A *PROMEDIO: Este valor ha simeta con la incorporación de Fecha: 15/10/2024 H.I: 12:00 Fecha: 15/10/2024 H.F: 12:30 CÓDIGO DEL ESPÉCI Peso Seco del Espécim Peso Húmedo del Espé(B) Peso Húmedo del Mate en depósito luego de D	sido calculado el Esterarilo de el Ester	% percentaj Zinc dituido en ar Zinc dituido en ar A tos 10m romp Unidar Medi gr ie gr ado gr	es de a retona.	2%QBA-	Absorción 2%QBA-	n de E	specii QBA-	menes al 2	2%QBA-	2%QBA
% Absorción (E)=(D)/(A *PROMEDIO: Este valor ha simeta con la incorporación de Fecha: 15/10/2024 H.F: 12:30 Fecha: 15/10/2024 H.F: 12:30 CÓDIGO DEL ESPÉCI Peso Seco del Espécim Peso Húmedo del Espécim Peso Húmedo del Mate en depósito luego de D Peso del Agua (D)=(B+ % Absorción (E)=(D)/(A *PROMEDIO: Este valor ha simeta con la incorporación del	sido calculado o esterario de e	A tos 10m remp Unidae Medi gr ado gr gr gr	es de a de	2%QBA- 1	Absorción 2%QBA- 2	n de E 2%0	specii QBA- 3	menes al 2	2%QBA-	2%QBA
% Absorción (E)=(D)/(A *PROMEDIO: Este valor ha simeta con la incorporación de Fecha: 15/10/2024 H.F: 12:30 Fecha: 15/10/2024 H.F: 12:30 CÓDIGO DEL ESPÉCI Peso Seco del Espécim Peso Húmedo del Espécim Peso Húmedo del Mate en depósito luego de D Peso del Agua (D)=(B+ % Absorción (E)=(D)/(A *PROMEDIO: Este valor ha simeta con la incorporación del	sido calculado o esterario de e	A tos 10m remp Unidae Medi gr ado gr gr gr	es de a de	2%QBA- 1	Absorción 2%QBA- 2	n de E 2%0	specii QBA- 3	menes al 2 2%QBA- 4	2%QBA-	2%QBA-
% Absorción (E)=(D)/(A *PROMEDIO: Este valor ha simeta con la incorporación de Fecha: 15/10/2024 H.F: 12:30 Fecha: 15/10/2024 H.F: 12:30 CÓDIGO DEL ESPÉCI Peso Seco del Espécim Peso Húmedo del Espécim Peso Húmedo del Mate en depósito luego de D Peso del Agua (D)=(B+ % Absorción (E)=(D)/(A *PROMEDIO: Este valor ha simeta con la incorporación del	sido calculado e Estearato de Estearato de Estearato de Estearato de Estearato de Estearato de Comen (A) scimen en Perial Acumularenaje (C) C)-A Sido calculado e Estearato de Sido calculado e Estearato de Signa (C)	A los 10m remp Unidac Medi gr ado gr gr gr diluido en ac	es de a de	2%QBA- 1	Absorción 2%QBA- 2	n de E	specii QBA- 3	menes al 2 2%QBA- 4	2%QBA-	2%QBA
% Absorción (E)=(D)/(A *PROMEDIO: Este valor ha simeta con la incorporación de Fecha: 15/10/2024 H.I: 12:00 Fecha: 15/10/2024 H.F: 12:30 CÓDIGO DEL ESPÉCI Peso Seco del Espécim Peso Húmedo del Espécim Peso Húmedo del Mate en depósito luego de D Peso del Agua (D)=(B+ % Absorción (E)=(D)/(A *PROMEDIO: Este valor ha simeta con la incorporación del OBSERVACIONES:	sido calculado o Estearato de Estearato de Securido Securido de Securido de Securido Securido Securido Securido Securido Securido Securido Securido Se	A los 10m remp Unidae Medi gr ado gr gr gr don los percentaje Cinc diluido en ac	es de a de da de	2%QBA-11	Absorción 2%QBA- 2	n de E	specification in the second se	Prom.	2%QBA- 5	2%QBA-6

	LAE	BORATORIO DE SU	ELOS - UNIVERSIDAD NAC	IONAL DE CAJAMARCA		
A S	PROTOCOL	DE LABORATORI	O ELABORADO POR RONA	ALD MIJAIL CACERES VASQUE		
1	ENSAYO:		AGUA EN ESPECÍMENES JMERGIMIENTO	CÓDIGO DEL DOCUMENTO:		
	NORMAS REFEREN.	NTP 399	9.604 Y 399.I613.	AAE-PS-RMCV-UNCEP:		
Posgrado C	PROYECTO:		encia a la humedad en especin externo de estearato de zinc d	nenes de tierra, con la incorporación e iluido en acetona		
CANTERA:		Cruz Blanca	TIPO DE MATERIAL:	Tierra – Suelo para adobe		
		Cruz Blanca Cruz Blanca	TIPO DE MATERIAL: COLOR DE MATERIAL:			
CANTERA: UBICACIÓN: FECHA DE EI	NSAVO-	100100000000000000000000000000000000000		Tierra – Suelo para adobe		

Fecha: 14/10/2024 H.I: 16:20, Fecha: 15/10/2024 H.F: 06:45 Total: 14h 30m	Absorción de Especimenes al 2%Q Incorporado en la Mezcla						
CÓDIGO DEL ESPÉ <mark>CIMEN</mark>	Unidad de Medida	2%QIA-1	2%QIA- 2	2%QIA- 3	2%QIA- 4	2%QIA- 5	2%QIA- 6
Peso Seco del Espé <mark>cimen (A)</mark>	NAC	ON	AL				
Peso Húmedo del E <mark>spécimen en Pie</mark> (B)	gr						
Peso Húmedo del Material Acumulado en depósito luego de Drenaje (C)	gr	4			D		
Peso del Agua (D)=(B+C)-A	gr			W			
% Absorción (E)=(D)/(A)	%	1			0	S	

Fecha: 14/10/2024 H.I: 16:20. Fecha: 15/10/2024 H.F: 08:38 Total: 16h 18m Absorción de Especimenes al 3%Q Incorporado en la Mezcla Unidad de Medida 3%QIA-1 3%QIA- 3%QIA- 3%QIA- 5 6 3%QIA-CÓDIGO DEL ESPÉCIMEN Peso Seco del Espécimen (A) gr Peso Húmedo del Espécimen en Pie gr (B) Peso Húmedo del Material Acumulado en depósito luego de Drenaje (C) gr Peso del Agua (D)=(B+C)-A gr % Absorción (E)=(D)/(A) "PROMEDIO: Este valor ha sido calculado con los porcentajes de absorción similares, para fijarse una meta con la incorporación del Estearato de Zinc diluido en acetoha. Prom.

RESPONSABLE DEL ENSAYO	COORDINADOR DE LABORATORIO	ASESOR
NOMBRE: ing. Căceres Vâsquez, Ronald M.	NOMBRE:	NOMBRE: Dr. Ing. Mosqueira Moreno, Miguel A.

	LAE	BORATORIO DE SU	ELOS - UNIVERSIDAD NAC	IONAL DE CAJAMARCA		
A S	PROTOCOL	DE LABORATORI	O ELABORADO POR RONA	ALD MIJAIL CACERES VASQUE		
1	ENSAYO:		AGUA EN ESPECÍMENES JMERGIMIENTO	CÓDIGO DEL DOCUMENTO:		
	NORMAS REFEREN.	NTP 399	9.604 Y 399.I613.	AAE-PS-RMCV-UNCEP:		
Posgrado C	PROYECTO:		encia a la humedad en especin externo de estearato de zinc d	nenes de tierra, con la incorporación e iluido en acetona		
CANTERA:		Cruz Blanca	TIPO DE MATERIAL:	Tierra – Suelo para adobe		
		Cruz Blanca Cruz Blanca	TIPO DE MATERIAL: COLOR DE MATERIAL:			
CANTERA: UBICACIÓN: FECHA DE EI	NSAVO-	100100000000000000000000000000000000000		Tierra – Suelo para adobe		

FÓRMULA PARA CL CÁLCULO DE LA ABSORCIÓN DE LOS ESPECÍMENES DE TIERRA

Abs (%) = Peso Húmedo del Especimen - Peso Seco del Especimen Peso Seco de la Unidad * 100

Fecha: 14/10/2024 H.I: 16:20, Fecha: 15/10/2024 H.F: 16:40, Final; 19:40 - 3h 20 min		Absorción de los Especimenes Patrón					
CÓDIGO DEL ESP <mark>ÉCIMEN</mark>	Unidad de Medida	PA-1	PA-2	PA-3	PA-4	PA-5	PA-6
Peso Seco del Espé <mark>cimen (A)</mark>	gr						
Peso Húmedo del E <mark>spécimen en Pie</mark> (B)	gr	1					o) e
Peso Húmedo del Material Acumulado en depósito luego de Drenaje (C)	gr	1					
Peso del Agua (D)=(B+C)-A	gr		<i>5</i>	7	700		1
% Absorción (E)=(D)/(A)	%		-7.4	- 1			51

AND DESCRIPTION OF THE PARTY OF	1%OLA.	401.014	DESIGN OF THE PERSON NAMED IN			
Medida	1	1%QIA-	1%QIA- 3	1%QIA-	1%QIA- 5	1%QIA-
gr				0		
gr		N		10		
gr				70		
gr				3		
%	1	lange	deli			
	gr gr gr	gr gr gr	gr gr gr //%	gr	gr gr gr //%	gr gr gr

RESPONSABLE DEL ENSAYO	COORDINADOR DE LABORATORIO	ASESOR
NOMBRE: Ing. Caceres Vásquez, Ronald M.	NOMBRE:	NOMBRE: Dr. Ing. Mosqueira Moreno, Miguel A.
	NOWIDILE.	The state of the s
FECHA: 14-15 / 10 / 2024	FECHA:	FECHA: 14 - 15 / 10 / 2024

_	LAE	BORATORIO DE SU	ELOS - UNIVERSIDAD NAC	IONAL DE CAJAMARCA		
AND	PROTOCOL	O DE LABORATORI	O ELABORADO POR RONA	ALD MIJAIL CÁCERES VÁSQUEZ		
(N	ENSAYO:		AGUA EN ESPECÍMENES JMERGIMIENTO	CÓDIGO DEL DOCUMENTO:		
	NORMAS REFEREN.	NTP 399	9.604 Y 399.I613.	AAE-PS-RMCV-UNCEP:		
Posgrado Posgrado	PROYECTO:		encia a la humedad en especin externo de estearato de zinc d	nenes de tierra, con la incorporación en liluido en acetona		
CANTERA:		Cruz Blanca	TIPO DE MATERIAL:	Tierra – Suelo para adobe		
UBICACIÓN:		Cruz Blanca	COLOR DE MATERIAL:	Rojizo		
EECHA DE EI	NEAVO:	Ŷ.	RESPONSABLE:	Ing. Cáceres Vásquez, Ronald Mijail		
FECHA DE ENSAYO: 14-15/10/2024		024	REVISADO POR:	Dr. Ing. Miguel Angel Mosqueira Moreno		

Fecha: 15/10/2024 H.F: 12:37 Total: 30m (A los 10m rompló Q)			Absorción de Especimenes al 3%Q Bañado				
CÓDIGO DEL ESPÉCIMEN	Unidad de Medida	3%QBA- 1	3%QBA- 2	3%QBA- 3	3%QBA- 4	3%QBA- 5	3%QBA 6
Peso Seco del Espécimen (A)	gr	UNC					
Peso Húmedo del Espé <mark>cimen en Pie</mark> (B)	N _P A(101	VAL				
Peso Húmedo del Mate <mark>rial Acumulado</mark> en depósito luego de D <mark>renaje (C</mark>)	gr						
Peso del Agua (D)=(B+C)-A	gr	4			0		
% Absorción (E)=(D)/(A)	%				C		

% de Absorción por Sumergimiento

33.00%

30.00%

25.00%

10.00%

3.00%

Patrón 1%-QIA 2%-QIA 3%-QIA 1%-QBA 2%-QBA 3%-QBA

OBSERVACIONES:

0.00%

RESPONSABLE DEL ENSAYO	COORDINADOR DE LABORATORIO	ASESOR
NOMBRE: ing. Cáceres Vásquez, Ronald M.	NOMBRE:	NOMBRE: Dr. Ing. Mosqueira Moreno, Miguel A
FECHA: 14-15 / 10 / 2024	FECHA:	FECHA: 14 - 15 / 10 / 2024

Apéndice 2 Protocolo de Ensayo de Absorción por Goteo 5 gotas/ minuto

<u> </u>								AMARCA		
	PROTOCOLO		BORATORIO				MIJAIL CA	CERES VA	SQUEZ	
18.01	ENSAYO:	ABSO	POR GOTE			C	ÓDIGO DEL AE-PG5GXM			
	REFEREN.	F	o de la resistencia a la humedad en especime							
Posgrado F	PROYECTO:		de la resistend la o bañado ex						oracion ei	
CANTERA:		Cru	z Blanca	TIPO DE N	IATERIAL:		Tierra – S	Suelo para ado	be	
UBICACIÓN:	2	Cruz	z Blanca	COLOR DE	MATERIA	,		Rojizo		
FECHA DE ENS	SAYO:			RESPONS	ABLE:		Ing. Cáceres V	0.0000000000000000000000000000000000000		
	04/11/2024	4		REVISADO	POR:		Dr. Ing. Migu I	el Angel Mo Moreno	squeira	
Fecha: 04/11/2024 H Fecha: 04/11/2024 H					Absorción	de Esne	ecimenes al 1	%O Rañado		
CÓDIGO DEL E			Unidad de Medida	1%QBA-			A- 1%QBA			
Peso Seco del E	spécimen (A)		gr 🗘 ((101	VAL		4			
Peso Húmedo de (B)	e e e e e e e e e e e e e e e e e e e	0.000	gr							
Peso Húmedo de en depósito luego		The second second second	gr							
Peso del Agua (D)=(B+C)-A							The state of the s		la .	
		C)	gr				m			
	D)=(B+C)-A	C)					Prom.			
Peso del Agua (I % Absorción (E)=	D)=(B+C)-A =(D)/(A)	C)	gr		Absorción	de Fsp	JAI	%O Bañado	2	
Peso del Agua (I % Absorción (E)= % Absorción (E)= Fecha: 04/11/2024 H Fecha: 04/11/2024 H	D)=(B+C)-A =(D)/(A) 4.8: 13:47, 4.8: 13:57		gr	2%QBA-	Absorción 2%QBA- 2	de Esp 2%QB 3	ecimenes al 2			
Peso del Agua (I % Absorción (E)= Fecha: 04/11/2024 H CÓDIGO DEL ES	D)=(B+C)-A =(D)/(A) 4.I: 13:47, 4.F: 13:57 SPÉCIMEN	C)	gr %		2%QBA-	2%QB	ecimenes al 2	2%QBA-	2%QBA	
Peso del Agua (I % Absorción (E)= echa: 04/11/2024 H echa: 04/11/2024 H CÓDIGO DEL ES Peso Seco del Es Peso Húmedo de	D)=(B+C)-A =(D)/(A) 4.8: 13:47, 4.F: 13:57 SPÉCIMEN spécimen (A)	K	gr % Unidad de Medida		2%QBA-	2%QB	ecimenes al 2	2%QBA-	2%QBA	
Peso del Agua (I % Absorción (E)= Fecha: 04/11/2024 H Fecha: 04/11/2024 H CÓDIGO DEL ES Peso Seco del En Peso Húmedo de (B)	D)=(B+C)-A =(D)/(A) 4.8: 13:47, 4.F: 13:57 SPÉCIMEN spécimen (A) el Espécimen el Material Acu	en Pie mulado	gr % Unidad de Medida		2%QBA-	2%QB	ecimenes al 2	2%QBA-	2%QBA	
Peso del Agua (I % Absorción (E)= Fecha: 04/11/2024 H Fecha: 04/11/2024 H CÓDIGO DEL ES Peso Seco del Es Peso Húmedo de (B) Peso Húmedo de en depósito luego	D)=(B+C)-A =(D)/(A) 4.8: 13:47, 4.F: 13:57 SPÉCIMEN spécimen (A) el Espécimen el Material Acu o de Drenaje (en Pie mulado	gr % Unidad de Medida gr		2%QBA-	2%QB	ecimenes al 2	2%QBA-	2%QBA	
Peso del Agua (I % Absorción (E):	D)=(B+C)-A =(D)/(A) 4.I: 13:47, 4.F: 13:57 SPÉCIMEN ispécimen (A) el Espécimen el Material Acu o de Drenaje (i) D)=(B+C)-A	en Pie mulado	gr % Unidad de Medida gr gr		2%QBA-	2%QB	ecimenes al 2	2%QBA-	2%QBA	
Peso del Agua (E) Cobigo DEL Es Peso Seco del Es Peso Húmedo de Peso del Agua (E)	D)=(B+C)-A =(D)/(A) 4.I: 13:47, 4.F: 13:57 SPÉCIMEN ispécimen (A) el Espécimen el Material Acu o de Drenaje (i) D)=(B+C)-A	en Pie mulado	gr % Unidad de Medida gr gr		2%QBA-	2%QB	ecimenes al 2	2%QBA-	2%QBA	
Peso del Agua (I % Absorción (E)= echa: 04/11/2024 H Fecha: 04/11/2024 H CÓDIGO DEL ES Peso Seco del Es Peso Húmedo de B) Peso Húmedo de Bo del Agua (I % Absorción (E)=	D)=(B+C)-A =(D)/(A) 4.1: 13:47, 4.F: 13:57 SPÉCIMEN spécimen (A) el Espécimen el Material Acu o de Drenaje (D)=(B+C)-A =(D)/(A)	en Pie mulado	gr % Unidad de Medida gr gr		2%QBA-	2%QB	ecimenes al 2 A- 2%QBA- 4	2%QBA-	2%QBA	
Peso del Agua (E) Absorción (E): Fecha: 04/11/2024 H Fecha: 04/11/2024 H CÓDIGO DEL ES Peso Seco del Es Peso Húmedo de B) Peso Húmedo de Bon depósito luego Peso del Agua (E) Absorción (E): OBSERVACION	D)=(B+C)-A =(D)/(A) 4.1: 13:47, 4.F: 13:57 SPÉCIMEN spécimen (A) el Espécimen el Material Acu o de Drenaje (D)=(B+C)-A =(D)/(A)	en Pie	gr % Unidad de Medida gr gr	140	2%QBA- 2	2%QB 3	ecimenes al 2 A- 2%QBA- 4	2%QBA-	2%QBA	
Peso del Agua (E) Absorción (E): Fecha: 04/11/2024 H Fecha: 04/11/2024 H CÓDIGO DEL ES Peso Seco del Es Peso Húmedo de B) Peso Húmedo de Bon depósito luego Peso del Agua (E) Absorción (E): OBSERVACION	D)=(B+C)-A =(D)/(A) 4.8: 13:47, 4.F: 13:57 SPÉCIMEN spécimen (A) el Espécimen (a) el Material Acu o de Drenaje (i D)=(B+C)-A =(D)/(A)	en Pie	gr % Unidad de Medida gr gr gr	140	2%QBA- 2	2%QB 3	ecimenes al 2 A- 2%QBA- 4	- 2%QBA- 5	2%QBA	
Peso del Agua (E) Absorción (E): Fecha: 04/11/2024 H Fecha: 04/11/2024 H Fecha: 04/11/2024 H CÓDIGO DEL ES Peso Seco del E: Peso Húmedo de B) Peso Húmedo de en depósito luego Peso del Agua (E) Absorción (E): OBSERVACION RESPONSAB	D)=(B+C)-A =(D)/(A) 4.1: 13:47, 4.1: 13:57 SPÉCIMEN ispécimen (A) el Espécimen el el Material Acu o de Drenaje (i D)=(B+C)-A =(D)/(A) NES:	en Pie mulado C)	gr % Unidad de Medida gr gr gr	140	2%QBA- 2	2%QB 3	ecimenes al 2 A- 2%QBA- 4	- 2%QBA- 5	2%QBA 6	

	LAE	BORATORIO DE SU	ELOS - UNIVERSIDAD NAC	IONAL DE CAJAMARCA		
A STA	PROTOCOL	O DE LABORATORI	O ELABORADO POR RONA	ALD MIJAIL CÁCERES VÁSQUEZ		
1	ENSAYO:		AGUA EN ESPECÍMENES EO 5GOTASXMIN	CÓDIGO DEL DOCUMENTO: AAE-PG5GXM-RMCV-UNCEP:		
	NORMAS REFEREN.			MAE-FGGGAM-RNICV-UNCEF.		
Posgrado	PROYECTO:		encia a la humedad en especin externo de estearato de zinc d	nenes de tierra, con la incorporación e liluido en acetona.		
CANTERA:		Cruz Blanca	TIPO DE MATERIAL:	Tierra – Suelo para adobe		
UBICACIÓN:		Cruz Blanca	COLOR DE MATERIAL:	Rojizo		
EECHA DE EI	FOLIA DE ENGAVO.		ULL DE ENGLYO		RESPONSABLE:	Ing. Cáceres Vásquez, Ronald Mijail
FECHA DE ENSAYO: 04/11/2024		REVISADO POR: Dr. Ing. Mi		Dr. Ing. Miguel Angel Mosqueira Moreno		

Unidad day		204.014			29/014	2%QIA-
Medida	2%QIA-1	2 /6 QIA-	3	4 4	5 5	6 6
NAC	ON	AL				
gr						
gr	4			D		
gr			6	ETI	8 8	
%	1			0	8 3	
1	-	1	5	Prom.		
		1		-	5	
	gr gr gr	Medida 2%QIA-1 gr gr gr gr	Medida 2%QIA-1 2 gr gr gr gr	Unidad de Medida 2%QIA-1 2%QIA- 2%QIA-1 3 gr gr gr gr	Unidad de Medida 2%QIA-1 2%QIA-2%QIA-3 2%QIA-1 gr gr gr gr gr %	Medida 2%QIA-1 2 3 4 5 gr gr gr gr gr %

Fecha: 04/11/2024 H.I: 13:16, Fecha: 04/11/2024 H.F: 13:26		Absorción	de Especi	menes al 3	%Q Incorp	orado en	la Mezcla
CÓDIGO DEL ESP <mark>ÉCIMEN</mark>	Unidad de Medida	3%QIA-1	3%QIA- 2	3%QIA- 3	3%QIA- 4	3%QIA- 5	3%QIA- 6
Peso Seco del Espécimen (A)	gr				~		
Peso Húmedo del Espécimen en Pie (B)	gr	1	\		A		
Peso Húmedo del Material Acumulado en depósito luego de Drenaje (C)	gr					3	
Peso del Agua (D)=(B+C)-A	gr						
% Absorción (E)=(D)/(A)	%	-	- 7	116			
3202.42	· Viere	Pelf	Arthur Mc	200	Prom.		

RESPONSABLE DEL ENSAYO	COORDINADOR DE LABORATORIO	ASESOR
NOMBRE: Ing. Caceres Vásquez, Ronald M.	NOMBRE:	NOMBRE: Dr. Ing. Mosqueira Moreno, Miguel A.
FECHA: 04 / 11 / 2024	FECHA:	FECHA: 04/11/2024

	The second secon		ELOS - UNIVERSIDAD NAC		
F-1	PROTOCOL	O DE LABORATORI	O ELABORADO POR RONA	ALD MIJAIL CACERES VASQUEZ	
*	ENSAYO:		AGUA EN ESPECÍMENES 'EO 5GOTASXMIN	CÓDIGO DEL DOCUMENTO: AAE-PG5GXM-RMCV-UNCEP:	
	NORMAS REFEREN.			AAE-FGGGAM-RIVICV-UNCEF.	
Posgrado	PROYECTO:		encia a la humedad en especin externo de estearato de zinc d	imenes de tierra, con la incorporación diluido en acetona.	
CANTERA:		Cruz Blanca	TIPO DE MATERIAL:	Tierra – Suelo para adobe	
CANTERA: UBICACIÓN:		Cruz Blanca Cruz Blanca	TIPO DE MATERIAL: COLOR DE MATERIAL:	Tierra – Suelo para adobe Rojizo	
	NEAVO.			Secretary appropriate and the secretary	

FÓRMULA PARA CL CÁLCULO DE LA ABSORCIÓN DE LOS ESPECÍMENES DE TIERRA

Abs (%) = Peso Húmedo del Especimen - Peso Seco del Especimen
Peso Seco de la Unidad * 100

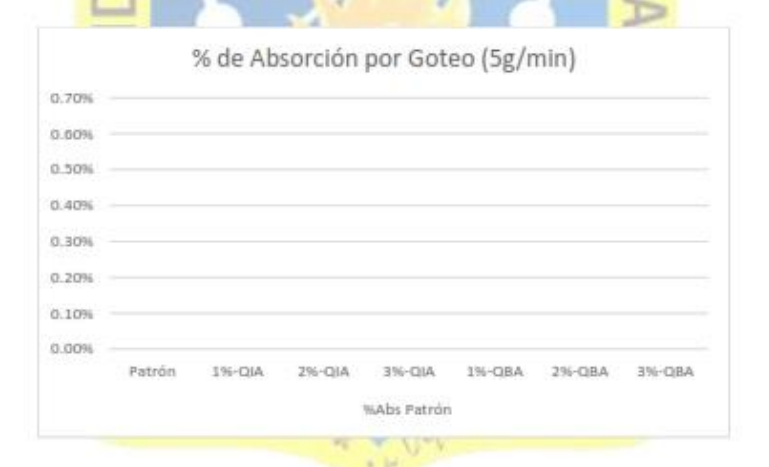
Fecha: 04/11/2024 H.F: 12:15			Absorción de los Especimenes Patrón				
CÓDIGO DEL ESP <mark>ÉCIMEN</mark>	Unidad de Medida	PA-1	PA-2	PA-3	PA-4	PA-5	PA-6
Peso Seco del Espé <mark>cimen (A)</mark>	gr						
Peso Húmedo del E <mark>spécimen en Pie</mark> (B)	gr	1			2		
Peso Húmedo del Material Acumulado en depósito luego de Drenaje (C)	gr	1	T				
Peso del Agua (D)=(B+C)-A	gr		8	P	777	1	3
% Absorción (E)=(D)/(A)	%		-75	-			

Fecha: 04/11/2024 H.I: 12:22, Fecha: 04/11/2024 H.F: 12:32			Absorción de Especimenes al 1%Q Incorporado en la Mezcla					
CÓDIGO DEL ESP <mark>ÉCIMEN</mark>	Unidad de Medida	1%QIA- 1	1%QIA- 2	1%QIA- 3	1%QIA-	1%QIA- 5	1%QIA-	
Peso Seco del Espécimen (A)	gr		W.		0			
Peso Húmedo del Espécimen en Pie (B)	gr		1		10			
Peso Húmedo del Material Acumulado en depósito luego de Drenaje (C)	gr				74			
Peso del Agua (D)=(B+C)-A	gr				2	. 9/		
% Absorción (E)=(D)/(A)	1.%	1	lance	de la				
		1	M		Prom.			

OBSERVACIONES: RESPONSABLE DEL ENSAYO COORDINADOR DE LABORATORIO ASESOR NOMBRE: Ing. Caceres Vásquez, Ronald M. NOMBRE: NOMBRE: Dr. ling. Mosquelra Moreno, Miguel A. FECHA: 04/11/2024 FECHA: FECHA: 04/11/2024

-	LAE	BORATORIO DE SU	ELOS - UNIVERSIDAD NAC	IONAL DE CAJAMARCA	
A	PROTOCOL	O DE LABORATORI	O ELABORADO POR RONA	ALD MIJAIL CACERES VASQUEZ	
	ENSAYO:		AGUA EN ESPECIMENES EO 5GOTASXMIN	CÓDIGO DEL DOCUMENTO: AAE-PG5GXM-RMCV-UNCEP:	
	NORMAS REFEREN.			AAE-FGGGAM-RIVICV-UNCEF.	
Posgrado	PROYECTO:		encia a la humedad en especin externo de estearato de zinc d	nenes de tierra, con la incorporación en liluido en acetona.	
CANTERA:		Cruz Blanca	TIPO DE MATERIAL:	Tierra – Suelo para adobe	
UBICACIÓN:		Cruz Blanca	COLOR DE MATERIAL:	Rojizo	
EECHA DE EI	NEAVO:	Š.	RESPONSABLE:	Ing. Cáceres Vásquez, Ronald Mijail	
FECHA DE E	ECHA DE ENSAYO: 04/11/2024		REVISADO POR:	Dr. Ing. Miguel Angel Mosqueira	

		Absorción	de Especii	menes al 35	6Q Bañado	8
Unidad de Medida	3%QBA- 1	3%QBA- 2	3%QBA- 3	3%QBA- 4	3%QBA- 5	3%QBA-
gr	UNC					
Ng/A (101	VAL				
gr						
gr	4			0		
%				ETT.		E
	Medida gr gr gr gr	Medida 1 gr NgrACIOI gr gr	Unidad de Medida 3%QBA- 2 2 gr gr gr gr	Unidad de Medida 3%QBA- 3%QBA- 3 3 3%QBA- 3 3 3%QBA- 3 3 3%QBA- 3 3 3 3 3 3 3 3 3 3 3 3 3 3 3 3 3 3 3	Unidad de Medida 3%QBA- 3%QBA- 3%QBA- 3%QBA- 3 %QBA- 3 %QBA- 3 %QBA- 4	Medida 1 2 3 4 5 gr MgrACIONAL gr gr



RESPONSABLE DEL ENSAYO COORDINADOR DE LABORATORIO ASESOR NOMBRE: Ing. Caceres Vásquez, Ronald M. NOMBRE: NOMBRE: Dr. Ing. Mosqueira Moreno, Miguel A. FECHA: 04 / 11 / 2024 FECHA: FECHA: 04 / 11 / 2024

Apéndice 3 Protocolo de Ensayo de Absorción por Goteo 10 gotas/ minuto

	LAG	ODATO	RIO DE SUEL	OS LINIVE	Deinani	MACIO	MALE	DE CA IA	MADCA		
			BORATORIO							OUFZ	
			RCIÓN DE AG			S	100				
	ENSAYO:	V1/407/10/2010	POR GOTEO						OCUMEN I-RMCV-UN		
	NORMAS REFEREN.										
E30360.00	THE ETTER	Estudio	de la resistenc	cia a la hume	dad en esp	ecime	nenes de tierra, con la incorporación en				
Posgrado 🛕	PROYECTO:	la mezc	la o bañado ex	terno de este	earato de z	inc dilu	uido en	acetona.			
CANTERA:		Cni	z Blanca	TIPO DE N	IATERIAI :	. 1	Tierra - Suelo para adobe				
UBICACIÓN:	-	1000100	z Blanca	COLOR DE		-	-		Rojizo	De .	
OBICACION.		Ciu	Z Dialica	RESPONS		ML.	Ing C		isquez, Ron	ald Miiail	
FECHA DE EI						75		1-11-1-11-11	Angel Mo		
2	04/11/202	4		REVISADO	POR:		-		foreno	oquana	
Fecha: 04/11/202 Fecha: 04/11/202				Ď.	Absorción	do Est	nocímo	nos al 1º	6Q Bañados	0	
7.2			Unidad de	1%QBA-					1%QBA-	1%QBA-	
CODIGO DEL	. ESPÉCIMEN		Medida	UNC	2	3	Company of the Compan	4	5	6	
Peso Seco de	l Espécimen (A)		gr 🗸 (VAL		=			9	
Peso Húmedo (B)	del Espécimen	en Pie	gr								
	del Mate <mark>rial Acu</mark> ego de Drenaje	The second second	gr	4				D			
Peso del Agua	a (D)=(B+C)-A		gr			4					
% Absorción (E)=(D)/(A)		%				-				
Fecha: 04/11/202	4 H.I: 13:47,		Χŀ	Щ	X			A			
Fecha: 04/11/202	4 H.F: 13:57								%Q Bañado		
CÓDIGO DEL	ESPÉCIMEN		Unidad de Medida	2%QBA- 1	2%QBA- 2	2%Q		2%QBA-	2%QBA- 5	2%QBA- 6	
Peso Seco del	Espécimen (A)		gr				1	~			
Peso Húmedo (B)	del Espécimen	en Pie	gr		M			P			
	del Material Acu ego de Drenaje (gr								
Peso del Agua	(D)=(B+C)-A	2	gr	1			1	·		ř.	
% Absorción (I	E)=(D)/(A)	-	%			, ,	Such			ē.	
susting the book of the	orimer espécimen se	rompiō la c	capa que cubria a	la tierra	feren.	RE LI	-	Prom.	2	5	
OBSERVACIO	ONES:										
OBSERVACIO	ONES:										
RESPONSA	ABLE DEL ENS	AYO	COORDINA	DOR DE LA	BORATO	RIO		А	SESOR		
NOMBRE: Inc. C.	áceres Vásquez, Ro	nald M.	NOMBRE:			- 1	NOMPA	RE: Dr. Ing A	Mosqueira More	no. Miguel A	
FECHA:	04 / 11 / 2024		FECHA:			13	FECH	200	04 / 11 / 202		
						_					

-	LAE	BORATORIO DE SU	ELOS - UNIVERSIDAD NAC	IONAL DE CAJAMARCA
A S	PROTOCOL	DE LABORATOR	O ELABORADO POR RONA	ALD MIJAIL CACERES VASQUEZ
	ENSAYO:		AGUA EN ESPECÍMENES O 10 GOTAS X MIN	CÓDIGO DEL DOCUMENTO: AAE-PG10GXM-RMCV-UNCEP:
NORMAS REFEREN. PROYECTO				AAE-PG10GAM-RMCV-UNCEF.
			encia a la humedad en especin externo de estearato de zinc d	nenes de tierra, con la incorporación en liluido en acetona.
CANTERA:		Cruz Blanca	TIPO DE MATERIAL:	Tierra – Suelo para adobe
UBICACIÓN:	7	Cruz Blanca	COLOR DE MATERIAL:	Rojizo
EECHA DE EI	NEAVO.		RESPONSABLE:	Ing. Cáceres Vásquez, Ronald Mijail
FECHA DE ENSAYO: 04/11/2024		4	REVISADO POR:	Dr. Ing. Miguel Angel Mosqueira Moreno

Fecha: 04/11/2024 H.I: 12:36, Fecha: 04/11/2024 H.F: 12:46	Absorción de Especimenes al 2%Q Incorporado en la Mezcla						
CÓDIGO DEL ESPÉ <mark>CIMEN</mark>	Unidad de Medida	2%QIA-1	2%QIA- 2	2%QIA- 3	2%QIA- 4	2%QIA- 5	2%QIA- 6
Peso Seco del Espé <mark>cimen (A)</mark>	NAC	ON	AL				
Peso Húmedo del E <mark>spécimen en Pie</mark> (B)	gr						
Peso Húmedo del Material Acumulado en depósito luego de Drenaje (C)	gr	4			D		
Peso del Agua (D)=(B+C)-A	gr			Ve 1			
% Absorción (E)=(D)/(A)	%				0	S - 3	

CÓDIGO DEL ESP <mark>ÉCIMEN</mark>	Unidad de Medida	3%QIA-1	3%QIA- 2	3%QIA-	3%QIA- 4	3%QIA- 5	3%QIA
Peso Seco del Espécimen (A)	gr				2		
Peso Húmedo del E <mark>spécimen en Pie</mark> (B)	gr	1	1		D		7
Peso Húmedo del Material Acumulado en depósito luego de Drenaje (C)	gr					3	3
Peso del Agua (D)=(B+C)-A	gr				100		
% Absorción (E)=(D)/(A)	%		- 7	16			

OBSERVACIONES: RESPONSABLE DEL ENSAYO COORDINADOR DE LABORATORIO ASESOR NOMBRE: Ing. Caceres Vásquez, Ronald M. NOMBRE: NOMBRE: Dr. Ing. Mosqueira Moreno, Miguel A. FECHA: 04 / 11 / 2024 FECHA: 04 / 11 / 2024

	O THE RESERVE THE PARTY OF THE		ELOS - UNIVERSIDAD NAC	
633	PROTOCOL	O DE LABORATORI	O ELABORADO POR RONA	ALD MIJAIL CACERES VASQUEZ
NORMAS REFEREN. PROYECTO: Estudio de la res la mezcla o baña			AGUA EN ESPECIMENES O 10 GOTAS X MIN	CÓDIGO DEL DOCUMENTO: AAE-PG10GXM-RMCV-UNCEP:
				AAE-PG TOGAM-RMCV-UNCEP.
			encia a la humedad en especin externo de estearato de zinc d	nenes de tierra, con la incorporación e liluido en acetona.
CANTERA:	•	Cruz Blanca	TIPO DE MATERIAL:	Tierra – Suelo para adobe
CANTERA: UBICACIÓN		Cruz Blanca Cruz Blanca	TIPO DE MATERIAL: COLOR DE MATERIAL:	Tierra – Suelo para adobe Rojizo
	a Caracayan nawa			The second of th

FÓRMULA PARA CL CÁLCULO DE LA ABSORCIÓN DE LOS ESPECÍMENES DE TIERRA

Abs (%) = Peso Húmedo del Especimen - Peso Seco del Especimen
Peso Seco de la Unidad * 100

Fecha: 04/11/2024 H.I: 12:05, Fecha: 04/11/2024 H.F: 12:15		Absorción de los Especimenes Patrón						
CÓDIGO DEL ESP <mark>ÉCIMEN</mark>	Unidad de Medida	PA-1	PA-2	PA-3	PA-4	PA-5	PA-6	
Peso Seco del Espé <mark>cimen (A)</mark>	gr							
Peso Húmedo del Espécimen en Pie (B)	gr	1					6	
Peso Húmedo del Material Acumulado en depósito luego de Drenaje (C)	gr		THE					
Peso del Agua (D)=(B+C)-A	gr		9	F	170		3	
% Absorción (E)=(D)/(A)	%		1190	- 4			.5)	
07				//	Prom.			

	Abso	rción de E			ncorporad	o en la
Unidad de Medida	1%QIA- 1	1%QIA- 2	1%QIA- 3	1%QIA- 4	1%QIA- 5	1%QIA- 6
gr		V		0		
gr		1		H		
gr				70		
gr		_		2	g 90	
1.96	4	lense.	dela			
	Medida gr gr gr	Unidad de Medida 1 1 1 1 1 1 1 1 1 1 1 1 1 1 1 1 1 1 1	Unidad de Medida 1%QIA- 1%QIA- 2 gr gr gr	Unidad de Medida 1%QIA- 1%QIA- 2 3 3 gr gr gr gr	Unidad de Mezcla Unidad de Medida 1	Unidad de Medida 1%QIA- 1%QIA- 1%QIA- 1%QIA- 1%QIA- 5

RESPONSABLE DEL ENSAYO	COORDINADOR DE LABORATORIO	ASESOR
NOMBRE: Ing. Caceres Vásquez, Ronald M.	NOMBRE:	NOMBRE: Dr. Ing. Mosqueira Moreno, Miguel A
FECHA: 04 / 11 / 2024	FECHA:	FECHA: 04 / 11 / 2024

_	LAE	BORATORIO DE SU	ELOS - UNIVERSIDAD NAC	IONAL DE CAJAMARCA
63	PROTOCOL	O DE LABORATOR	O ELABORADO POR RONA	ALD MIJAIL CACERES VASQUEZ
(Take)	ENSAYO:		AGUA EN ESPECÍMENES O 10 GOTAS X MIN	CÓDIGO DEL DOCUMENTO: AAE-PG10GXM-RMCV-UNCEP:
	NORMAS REFEREN.			AAE-PG TOGAM-RINGV-UNCEF.
Posgrado	PROYECTO:		encia a la humedad en especin externo de estearato de zinc d	nenes de tierra, con la incorporación en filuido en acetona.
CANTERA:		Cruz Blanca	TIPO DE MATERIAL:	Tierra – Suelo para adobe
UBICACIÓN:	UBICACIÓN: Cruz Blanca		COLOR DE MATERIAL:	Rojizo
FECHA DE EI	NEAVO.		RESPONSABLE:	Ing. Cáceres Vásquez, Ronald Mijail
FEGRA DE EI	04/11/202	4	REVISADO POR:	Dr. Ing. Miguel Ångel Mosqueira Moreno

Fecha: 04/11/2024 H.F: 14:13		Absorción de Especimenes al 3%Q Bañado						
CÓDIGO DEL ESPÉCIMEN	Unidad de Medida	3%QBA- 1	3%QBA- 2	3%QBA-	3%QBA-	3%QBA- 5	3%QBA 6	
Peso Seco del Espécimen (A)	gr	UNC						
Peso Húmedo del Espé <mark>cimen en Pie</mark> (B)	Ng/A (101	VAL					
Peso Húmedo del Material Acumulado en depósito luego de Drenaje (C)	gr							
Peso del Agua (D)=(B+C)-A	gr	4			0	-		
% Absorción (E)=(D)/(A)	%				TT.		E	

*PROMEDIO: Este valor ha sido celculado con los porcentajes de absorcion similares, para fijarse una meta con la incorporación del Estearato de Zinc diluido en acetoria.

% de Absorción por Goteo (10g/min)

2.00%

1.80%

1.60%

1.40%

1.20%

1.00%

0.80%

0.80%

0.40%

0.20%

0.00%

Patrón 1%-QIA 2%-QIA 3%-QIA 1%-QBA 2%-QBA 3%-QBA

RESPONSABLE DEL ENSAYO	COORDINADOR DE LABORATORIO	ASESOR
NOMBRE: ing. Caceres Vásquez, Ronald M.	NOMBRE:	NOMBRE: Dr. Ing. Mosqueira Moreno, Miguel A
FECHA: 04 / 11 / 2024	FECHA:	FECHA: 04/11/2024

Apéndice 4: Diseño de la investigación

Tabla 17Diseño de la investigación

N°	Actividad	Días					
		1-2	3-30	31-35	36-56	57-60	61-75
1	Elaboración de especímenes patrón. Elaboración de especímenes	X					
2	incorporando estearato de zinc diluido en acetona.	X					
3	Elaboración de especímenes para bañar estearato de zinc diluido en	X					
	acetona.						
4	Secado de todos los especímenes.		X				
5	Ensayo de absorción y de goteo para especímenes patrón (Primer grupo).			X			
6	Ensayo de absorción y de goteo para especímenes que tienen incorporado el estearato de zinc diluido en acetona (Segundo Grupo).			X			
7	Análisis de datos, y presentación de los resultados obtenidos del punto 5 y 6.				X		
8	Bañado de especímenes hasta en dos ocasiones con el estearato de zinc diluido en acetona (Tercer grupo)			X			
9	Secado de los especímenes bañados hasta en dos ocasiones con el estearato de zinc diluido en acetona.				X		
10	Ensayo de absorción y de goteo para especímenes que han sido bañados hasta en dos ocasiones con el estearato de zinc diluido en acetona.					X	
11	Análisis de datos, y presentación de los resultados obtenidos del punto 10.						X

Apéndice 5: Protocolo de toma de datos

Figura 15

Protocolo de toma de datos para ensayos de absorción



Se describe cada una de las partes del protocolo de toma de datos: la parte "a" corresponde a los datos generales del proyecto, el tipo de tierra, y la codificación del protocolo, en la parte "b" se ingresarán los datos que se van obteniendo de las mediciones de peso y su procesamiento para la obtención del promedio necesario para la comparación, y en la parte "c" se encuentra la validación del maestrando del técnico de laboratorio y del ingeniero asesor.

Apéndice 6: Constancia de laboratorio ensayo de rotura



Universidad Nacional de Cajamarca FACULTAD DE INGENIERÍA



Laboratorio de Ensayo de Materiales

El jefe del Laboratorio de Ensayo de Materiales de la Facultad de Ingeniería de la Universidad Nacional de Cajamarca expide, la siguiente:

CONSTANCIA

Al Ing. RONALD MIJAIL CÁCERES VÁSQUEZ, Exalumno de la Escuela de Posgrado – Maestría en Ingeniería Civil de la Universidad Nacional de Cajamarca, que ha realizado en el Laboratorio de Ensayo de Materiales "Mg. Ing. Carlos Esparza Díaz" las siguientes actividades:

ITEM	DETALLE	
01	Ensayo a compresión en unidades cubicas de adobe.	

Para la Tesis Titulada: "INCORPORACIÓN DE ESTEARATO DE ZINC DILUIDO CON ACETONA EN LA TIERRA USADA PARA CONSTRUCCIÓN Y ACABADOS DE VIVIENDAS DE TIERRA DETERMINANDO SU RESISTENCIA A LA HUMEDAD", Las actividades se desarrollaron el 11 de noviembre de 2024.

Se expide el presente, para fines que se estime conveniente.

Cajamarca, 28 de noviembre de 2024.

Atentamente:

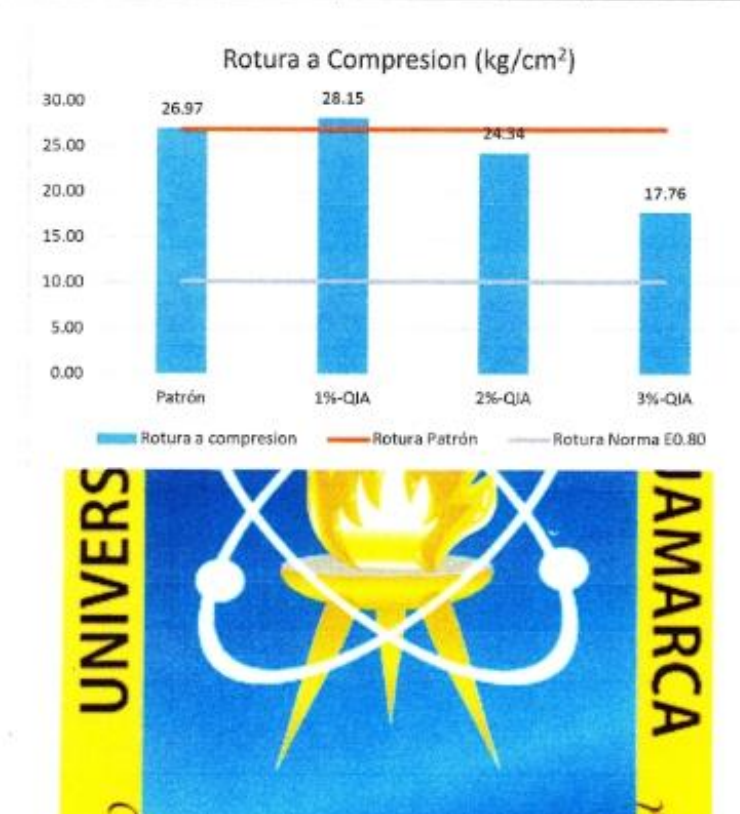
c.c. a: _Archivo

Apéndice 7: Resultados de laboratorio- Rotura a compresión

	PRO							IONAL DE CAJAN ALD MIJAIL CÁCE	
	ENS			RZO DE	ROT	TURA MÍNII SIÓN		CÓDIGO DEL DO	OCUMENTO:
	NOR	MAS EREN.		RNE E	E0.80	– Art8.		ERMC-RMCV-UN	NCEP:
tsorade	PRO	YECTO:						on Acetona en la ra determinando s	
TERA:			Cruz Bla	anca	-	O DE MAT		Tierra – Sue	elo para adobe
CACIÓN:			Cruz Bla	anca	CO	LOR DE M	ATERIAL:		ojizo
HA DE EN); 1/11/2024			-	SPONSABI VISADO PO		Ing. Cáceres Vás Dr. Ing. Miguel Mo	
		2% DE	L QUÍMIC) DILUI	DOI	NCORPO	RADO EN	LA MATRIZ	
044		R (KN)	a (cm)	b (cr		c (cm)	KN/cm²		kg/cm²
Códig	jo				10		R/(a*b)	1000	
AC1 - 2%	6	17.06	10.00	10.0	P	10.00	0.171	1.706	17.40
AC2 - 2%		23.55	10.00	_	-	-		2.355	24.01
AC3 - 2%		23.52	10.00		-	ON	A 1235	2.352	23.98
AC4 - 2%		24.67	10.00	10.0	10	10.00	0.247	2,467	25.16
AC5 - 2%	6	21.79	10.00					2.179	22.22
AC6 - 2%	6	19.10	10.00			10.00		1,970	19.47
AC7 - 2%	0	23.7	10.00	10.0		- OO	0.237	P.P.3	24.19
		S				Comment of	4	THE REAL PROPERTY.	
		CO	OUNT	C DILLI	IDO	NCOPPO	PADO EN	LA MARIE	
044	200	-					The same of the same of	LA MATRIZ	kg/cm²
Códi	go	N N N N N N N N N N N N N N N N N N N				c (cm)	KN/cm	M Pa	kg/cm²
Códi		-	a (cm	b (c			The same of the same of	M Pa	kg/cm ²
	%	-	a (cm)	b (c	m)	c (cm)	KN/cm R/(a*b)	Alpa Part	1
AC1 - 39	% %	 	a (cm)	10. 10.	o0	c (cm) - 10.00	R/(a*b) 0.177 0.120	Alpa Part	18.06
AC1 - 39 AC2 - 39	% % %	 	10,00 10,00 10,00	10. 10.	00 00	c (cm) - 10.00 10.00	R/(a*b) 0.177 0.120	7/1 202	18.06 12.25
AC1 - 39 AC2 - 39 AC3 - 39 AC4 - 39 AC5 - 39	% % % %		10,00 10.00 10.00 10.00 10.00	10. 10. 10.	00 00 00 00	10.00 10.00	R/(a*b) 0.177 0.120 0.184	771 202 (1.887	18.06 12.25 18.73
AC1 - 39 AC2 - 39 AC3 - 39 AC4 - 39	% % % %	1202 19.74	10,00 10.00 10.00 10.00 10.00	10. 10. 10. 10.	00 00 00 00 00	10.00 10.00 10.00 10.00	R/(a*b) 0.177 0.120 0.184 0.197	771 202 (1.887	18.06 12.25 18.73 20.13
AC1 - 39 AC2 - 39 AC3 - 39 AC4 - 39 AC5 - 39 AC6 - 39	% % % % %	19.74 17.04	10,00 10.00 10.00 10.00 10.00	10.1 10.1 10.1 10.1 10.1	00 00 00 00 00 00	10.00 10.00 10.00 10.00 10.00	R/(a*b) 0.177 0.120 0.184 0.197 0.170	1,771 202 1,887 274 1,704 1,653	18,06 12,25 18,73 20,13 17,38
AC1 - 39 AC2 - 39 AC3 - 39 AC4 - 39 AC5 - 39	% % % % %	12.02 19.74 17.04 16.53 12.43	10,00 10,00 10,00 10,00 10,00 10,00 10,00	10.1 10.1 10.1 10.1 10.1 10.1	00 00 00 00 00 00 00	10.00 10.00 10.00 10.00 10.00 10.00 10.00	R/(a*b) 0.177 0.120 0.184 0.197 0.170 0.185 0.124	1,771 202 1,887 274 1,704 1,653	18.06 12.25 18.73 20.13 17.38 16.86
AC1 - 39 AC2 - 39 AC3 - 39 AC4 - 39 AC5 - 39	% % % % %	12.02 19.74 17.04 16.53 12.43	10,00 10,00 10,00 10,00 10,00 10,00	10.1 10.1 10.1 10.1 10.1 10.1	00 00 00 00 00 00 00	10.00 10.00 10.00 10.00 10.00 10.00 10.00	KN/cm R/(a*b) 0.177 0.420 0.184 0.197 0.170 0.185	1,771 202 1,887 274 1,704 1,653	18.06 12.25 18.73 20.13 17.38 16.86 12.68
AC1 - 39 AC2 - 39 AC3 - 39 AC4 - 39 AC5 - 39	%6 %6 %6 %6 %6 %6 %6	12.02 19.74 17.04 16.53 12.43	10,00 10,00 10,00 10,00 10,00 10,00 10,00	10.1 10.1 10.1 10.1 10.1 10.1	00 00 00 00 00 00 00	10.00 10.00 10.00 10.00 10.00 10.00 10.00	R/(a*b) 0.177 0.120 0.184 0.197 0.170 0.185 0.124	1,771 202 1,887 274 1,704 1,653	18.06 12.25 18.73 20.13 17.38 16.86 12.68
AC1 - 39 AC2 - 39 AC3 - 39 AC4 - 39 AC5 - 39 AC6 - 39 AC7 - 39	% % % % % % % % % % % % % % % % % % %	12.02 19.74 17.04 16.53 12.43	10,00 10,00 10,00 10,00 10,00 10,00 10,00	10.1 10.1 10.1 10.1 10.1 10.1 Violes	00 00 00 00 00 00 00 00 00	10.00 10.00 10.00 10.00 10.00 10.00	R/(a*b) 0.177 0.120 0.184 0.197 0.170 0.185 0.124	1,71 1,202 1,887 1,704 1,653 1,243 Prom. Prom. (4)	12.25 18.73 20.13 17.38 16.86 12.68
AC1 - 39 AC2 - 39 AC3 - 39 AC4 - 39 AC5 - 39 AC6 - 39 AC7 - 39	% % % % % % % % % % % % % % % % % % %	19.74 17.04 16.53 12.43	10,00 10,00 10,00 10,00 10,00 10,00 10,00	10. 10. 10. 10. 10. 10. 10. Victor	000 000 000 000 000 000 000 000	C (cm) 10.00 10.00 10.00 10.00 10.00 10.00 COMMAL VE WAR	R/(a*b) 0.177 0.120 0.184 0.197 0.170 0.185 0.124	1,71 1,202 1,887 1,704 1,653 1,243 Prom. Prom. (4)	18.06 12.25 18.73 20.13 17.38 16.86 12.68 16.58

							ONAL DE CAJAMA LD MIJAIL CÁCER	
	ENSAYO:	T	ESFUERZ	O DE ROTI	JRA MÍNIMA			
	NORMAS			COMPRES NE E0.80 -	3766.0	\neg	CÓDIGO DEL DOC ERMC-RMCV-UNO	
Bhust to Posgrado	PROYECTO	cor	orporación d	e Estearate	de Zinc d		n Acetona en la t a determinando su	
NTERA:		Hui	Cruz Blanca	TIPO	DE MATER	IAL:	Tierra – Suelo	para adobe
ICACIÓN:		Cruz Blanca COLOR DE MATERIAL: F						zo
CHA DE EI	NEAVO:			RES	PONSABLE:		Ing. Cáceres Vásqu	
OUW DE EI	1 <u>1/11/2</u>	024		REV	ISADO POR:		Dr. Ing. Miguel A	ngel Mosque
DIL	BUJO A COL	ISIDE	RAR PARA		Y CÁLCU		Area de Conto o*to (cm³)	cto.
Cód	igo R (I	(N)	a (cm)	b (cm)	c (cm)	KN/cm ²	MPa	kg/cm²
			- N	ACI	AIAO	(a*b)	-	
AC1 - 0	% 34.	05	10.00	10.00	40.00	0.340	3.405	34.72
AC2 - 0			10,00		10.00	0.247	2.469	25.18
AC3 - 0			10.00				3.099	31.60
AC4 - 0				10.00 Y	10.00		63	15.94
AC5 - 0			10.00	16.00	10.00	0.26	4613	26.65
AC6 - 0		27	0.40	10.00	10,00	0 203	2.027	20.67
AC7 - 0	% 20.	97	0.00	10.00	10.00	0.240	2.397	24.44
	ISCI		X			X	Prom. (4)	25.60 26.97
		DEL	QUIMICO D	ILUIDO IN	CORPORA		LA MATRIZ	
Códi	go	(N)	a (cm)	b (cm)	c (cm)	KN/cr		kg/cm²
AC1 - 19	6	68	10.00	10.00	10.00	0.23		23.84
AC2 - 19		31	10.00	10.00	10.00	0.25		25.60
AC3 - 19		.97	10.00	10.00	10.00	0.270		27.50
AC4 - 19		.06	10.00	10.00	10.00	0.26		26.57
AC5 - 19	6 28	.03	10.00	10.00	10.00	0.280		28.58
AC6 - 19	6 29	37	10.00	10.00	10.00	0.294	2.937	29.95
AC7 - 19	6 23	87		10.00	10.00	9.23	2.387	24.34
		9.	my car Vi	elei =	Dyens	n ne t	Prom.	26.63
				1	*		Prom. (4)	28.15
	MEC.							
SERVACIO	ABLE DEL EN	SAYO	COOR	DINADOR	DE LABORA	TORIO	ASES	SOR
		SAYO	UNI	PERSIDAN MACI	CONAL UE LA MANAGERIA MENDOZA Edwin	-11.	ASE	SOR

			ELOS - UNIVERSIDAD NAC	
	PROTOCOL			ALD MIJAIL CÁCERES VÁSQUEZ
	ENSAYO:		DE ROTURA MÍNIMA A MPRESIÓN	CÓDIGO DEL DOCUMENTO:
	NORMAS REFEREN.	RNE	E0.80 - Art8.	ERMC-RMCV-UNCEP:
Fredor Posgrado	PROYECTO:			on Acetona en la tierra usada para ra determinando su Resistencia a la
CANTERA:	1.0	Cruz Blanca	TIPO DE MATERIAL:	Tierra – Suelo para adobe
CANTERA: UBICACIÓN:		Cruz Blanca Cruz Blanca	TIPO DE MATERIAL: COLOR DE MATERIAL:	Tierra – Suelo para adobe Rojizo



OBSERVACIONES: RESPONSABLE DEL ENSAYO COORDINADOR DE LABORATORIO ASESOR LIMVERSIDAD NACONAL IR LAJAMINE FACILITAD DE NICENSE QUE FACILITAD DE NICENSE QUE FACILITAD DE NICENSE QUE FECHA: 11/11/2024 FECHA: 11/11/2024 FECHA: 11/11/2024 FECHA: 11/11/2024 FECHA: 11/11/2024

Apéndice 8: Resultados absorción por sumergimiento FÓRMULA PARA CL CÁLCULO DE LA ABSORCIÓN DE LOS ESPECÍMENES DE TIERRA

Abs (%) = Peso Húmedo del Especimen - Peso Seco del Especimen
Peso Seco de la Unidad * 100

Fecha: 14/10/2024 HJ; 16:20, Fecha: 15/10/2024 HJ; 16:40, Final; 19:40 →3	Absorción de los Especímenes Patrón								
CÓDIGO DEL ESPÉCIMEN	Unidad de Medida	PA-1	PA-2	PA-3	PA-4	PA-5	PA-6		
Peso Seco del Espé <mark>cimen (A</mark>)	gr	346.00	384.00	378.00	364.00	350.00	336.00		
Peso Húmedo del E <mark>spécime</mark> n en Pie (B)	gr	416.00	450.00	445.00	424.00	427.00	395.00		
Peso Húmedo del Material Acumulado en depósito luego de Drenaje (C)	gr	40.00	53.00	60.00	58.00	49.00	54.00		
Peso del Agua (D)=(B+C)-A	gr	110.00	119.00	127.00	118.00	126.00	113.00		
% Absorción (E)=(D)/(A)	%	31.79%	30.99%	33.60%	32.42%	36.00%	33.63%		
PROMEDIO: Este valor ha sido calculado con los porcentajes de absorción similares, para fijarse una meta con la incorporación del Estearato de Zinc diluido en acetona. 22.20%									

Fecha: 14/10/2024 HJ; 16:20, Fecha: 15/10/2024 HJF; 04:35 Total: 12h 15m		Absor	<mark>rción</mark> de Es		s al 1%Q li z <mark>cla</mark>	ncorporad	o en la
CÓDIGO DEL ESP <mark>ÉCIMEN</mark>	Unidad <mark>de</mark> Medi <mark>da</mark>	1%QIA- 1	1%QIA- 2	1%QIA- 3	1%QIA- 4	1%QIA- 5	1%QIA- 6
Peso Seco del Espé <mark>cimen (A</mark>)	gr	3 <mark>0</mark> 1.00	323.00	332.00	341.00	333.00	332.00
Peso Húmedo del E <mark>spécime</mark> n en Pie (B)	gr	317.00	344.00	344.00	364.00	353.00	353.00
Peso Húmedo del Material Acumulado en depósito luego de Drenaje (C)	gr	44.00	41.00	46.00	42.00	43.00	38.00
Peso del Agua (D)=(B+C)-A	gr	60.00	62.00	58.00	65.00	63.00	59.00
% Absorción (E)=(D)/(A)	%	19.93%	19.20%	17.47%	19.06%	18.92%	17.77%
*PROMEDIO: Este valor ha sido calculado con lo una meta con la incorporación del Estearato de 2	Prom.	19.28%					

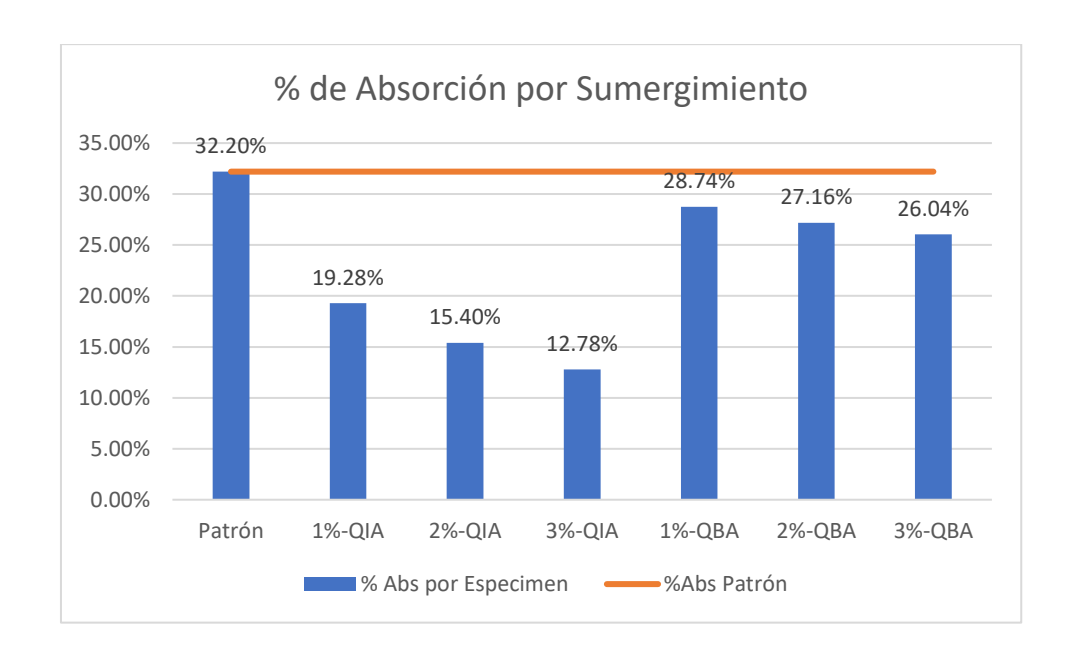
Fecha: 14/10/2024 H.J.: 16:20, Fecha: 15/10/2024 H.F.: 06:46 Total: 14h 30m		Absorción de Especímenes al 2%Q incorporado en la Mezcla						
CÓDIGO DEL ESPÉ <mark>CIMEN</mark>	Unidad de Medida	2%QIA-1	2%QIA- 2	2%QIA- 3	2%QIA- 4	2%QIA- 5	2%QIA- 6	
Peso Seco del Espé <mark>cimen (A)</mark>	gr	298.00	334.00	312.00	320.00	314.00	321.00	
Peso Húmedo del E <mark>spécimen en Pie</mark> (B)	gr	314.00	352.00	325.00	328.00	319.00	332.00	
Peso Húmedo del Material Acumulado en depósito luego de Drenaje (C)	gr	38.00	41.00	40.00	39.00	42.00	37.00	
Peso del Agua (D)=(<u>B+C</u>)-A	gr	54.00	59.00	53.00	47.00	47.00	48.00	
% Absorción (E)=(D)/(A)	%	18.12%	17.66%	16.99%	14.69%	14.97%	14.95%	
*PROMEDIO: Este valor <mark>ha sido cal</mark> culado con lo meta con la incorporació <mark>n del Estea</mark> rato de Zino	Prom.	<u>15.</u>	40%					

Fecha: 14/10/2024 HJ; 16:20, Fecha: 15/10/2024 HJ; 08:38 Total: 16h 18m		Absorción	de Especíi	menes al 3	%Q Incorp	orado en l	la Mezcla
CÓDIGO DEL ESP <mark>ÉCIMEN</mark>	Uni <mark>dad de</mark> Medi <mark>da</mark>	3%QIA-1	3%QIA- 2	3%QIA- 3	3%QIA- 4	3%QIA- 5	3%QIA- 6
Peso Seco del Espécimen (A)	gr	332.00	279.00	290.00	278 <mark>.</mark> 00	273.00	313.00
Peso Húmedo del E <mark>spécimen</mark> en Pie (B)	gr	341.00	288.00	291.00	282.00	275.00	316.00
Peso Húmedo del Material Acumulado en depósito luego de Drenaje (C)	gr	34.00	31.00	35.00	32.00	33.00	32.00
Peso del Agua (D)=(B+C)-A	gr	43.00	40.00	36.00	36.00	35.00	35.00
% Absorción (E)=(D)/(A)	%	12.95%	14.34%	12.41%	12.9 ₅ %	12.82%	11.18%
*PROMEDIO: Este valor ha sido calculado con lo meta con la incorporación del Estearato de Zinc o	Prom.	12.	78%				

Fecha: 15/10/2024 H.F. 12:30 Total: 30m (A los		Absorción de Especímenes al 1%Q Bañados						
CÓDIGO DEL ESPÉCIM <mark>en</mark>	Unidad de Medida	1%QBA- 1	1%QBA- 2	1%QBA- 3	1%QBA-	1%QBA- 5	1%QBA 6	
Peso Seco del Espécim <mark>en (A)</mark>	gr	321.00	373.00	373.00	350.00	336.00	341.00	
Peso Húmedo del Espé <mark>cimen en Pie</mark> (B)	gr	390.00	450.00	450.00	417.00	405.00	412.00	
Peso Húmedo del Mate <mark>rial Acum</mark> ulado en depósito luego de D <mark>renaje (C</mark>)	gr	25.00	32.00	28.00	32.00	24.00	23.00	
Peso del Agua (D)=(<u>B+C</u>)-A	gr	94.00	109.00	105.00	99.00	93.00	94.00	
% Absorción (E)=(D)/(A)	%	29.28%	29.22%	28.15%	28.29%	27.68%	27.57%	
*PROMEDIO: Este valor ha sido calculado con los meta con la incorporación del Estearato de Zinc di	osorción simila	ares, para fija	rse una	Prom.	28.	74%		

Fecha: 15/10/2024 HJ; 12:05, Fecha: 15/10/2024 HJ; 12:35 Total: 30m (A los	10m rompió Q)	Absorción de Especí <mark>menes a</mark> l 2%Q Bañado						
CÓDIGO DEL ESPÉCI <mark>MEN</mark>	Unida <mark>d de</mark> Medida	2%QBA- 1	2%QBA- 2	2%QBA- 3	2%QBA-	2%QBA- 5	2%QBA- 6	
Peso Seco del Espécimen (A)	gr	3 <mark>46</mark> .00	353.00	324.00	363.00	338.00	351.00	
Peso Húmedo del Espé <mark>cimen e</mark> n Pie (B)	gr	418.00	420.00	388.00	431.00	406.00	421.00	
Peso Húmedo del Mate <mark>rial Acum</mark> ulado en depósito luego de D <mark>renaje (C</mark>)	gr	24.00	29.00	27.00	25.00	23.00	24.00	
Peso del Agua (D)=(B±C)-A	gr	96.00	96.00	91.00	93.00	91.00	94.00	
% Absorción (E)=(D)/(A)	%	27.75%	27.20%	28.09%	25.62%	26.92%	26.78%	
*PROMEDIO: Este valor ha sido calculado con los porcentajes de absorción similares, para fijarse una meta con la incorporación del Estearato de Zinc diluido en acetona.						27.16%		

Fecha: 15/10/2024 HJ; 12:07, Fecha: 15/10/2024 HJ; 12:37 Total: 30m (A le	Fecha: 15/10/2024 [td]: 12:07, Fecha: 15/10/2024 [td]: 12:37 Total: 30m (A los 10m rompió Q)				Absorción de Especímenes al 3%Q Bañado						
CÓDIGO DEL ESPÉCIMEN	Unidad de Medida	3%QBA- 1	3%QBA- 2	3%QBA- 3	3%QBA- 4	3%QBA- 5	3%QBA- 6				
Peso Seco del Espécimen (A)	gr	354.00	349.00	341.00	360.00	308.00	343.00				
Peso Húmedo del Espé <mark>cimen en Pie</mark> (B)	gr	416.00	419.00	410.00	421.00	370.00	406.00				
Peso Húmedo del Mate <mark>rial Acum</mark> ulado en depósito luego de Dr <mark>enaje (C</mark>)	gr	22.00	24.00	20.00	23.00	20.00	21.00				
Peso del Agua (D)=(B+C)-A	gr	84.00	94.00	89.00	84.00	82.00	84.00				
% Absorción (E)=(D)/(A)	%	23.73%	26.93%	26.10%	23.33%	26.62%	24.49%				
*PROMEDIO: Este valor ha sido calculado con meta con la incorporación del Estearato de Zino	osorción simila	ares, para fija	rse una	Prom.	<u>26.</u>	04%					



Apéndice 9: Resultados absorción por goteo 5 gotas/ minuto FÓRMULA PARA CL CÁLCULO DE LA ABSORCIÓN DE LOS ESPECÍMENES DE TIERRA

Abs (%) = Peso Húmedo del Especimen - Peso Seco del Especimen
Peso Seco de la Unidad * 100

Fecha: 04/11/2024 HJ; 12:05, Fecha: 04/11/2024 HJE: 12:15		Absorción de los Especímenes Patrón						
CÓDIGO DEL ESPÉ <mark>CIMEN</mark>	Unidad de Medida	PA-1	PA-2	PA-3	PA-4	PA-5	PA-6	
Peso Seco del Espé <mark>cimen (A</mark>)	gr	333.00	365.00	385.00	355.00	413.00	343.00	
Peso Húmedo del E <mark>spécimen</mark> en Pie (B)	gr	336.00	368.00	387.00	357.00	415.00	345.00	
Peso Húmedo del M <mark>aterial A</mark> cumulado en depósito luego d <mark>e Drenaje</mark> (C)	gr	0.00	0.00	0.00	0.00	0.00	0.00	
Peso del Agua (D)=(B+C)-A	gr	3.00	3.00	2.00	2.00	2.00	2.00	
% Absorción (E)=(D)/(A)	%	0.90%	0.82%	0.52%	0.56%	0.48%	0.58%	
5	$\mathbf{V} = \mathbf{R}$	(V)			Prom.	0.6	5%	

Fecha: 04/11/2024 HJ; 12:22, Fecha: 04/11/2024 H,F; 12:32		Absorción de Especímenes al 1%Q Incorporado en la Mezcla					
CÓDIGO DEL ESP <mark>ÉCIMEN</mark>	Unidad <mark>de</mark> Medi <mark>da</mark>	1%QIA- 1	1%QIA- 2	1%QIA- 3	1%QIA- 4	1%QIA- 5	1%QIA- 6
Peso Seco del Espécimen (A)	gr	321.00	339.00	304.00	335.00	356.00	345
Peso Húmedo del E <mark>spécime</mark> n en Pie (B)	gr	323.00	340.00	305.00	336.00	357.00	346
Peso Húmedo del Material Acumulado en depósito luego de Drenaje (C)	gr	0.00	0.00	0.00	0.00	0.00	0.00
Peso del Agua (D)=(<u>B+C</u>)-A	gr	2.00	1.00	1.00	1.00	1.00	1.00
% Absorción (E)=(D)/(A)	%	0.62%	0.29%	0.33%	0.30%	0.28%	0.29%
		Or V.	V		Prom.	0.3	<u>35%</u>

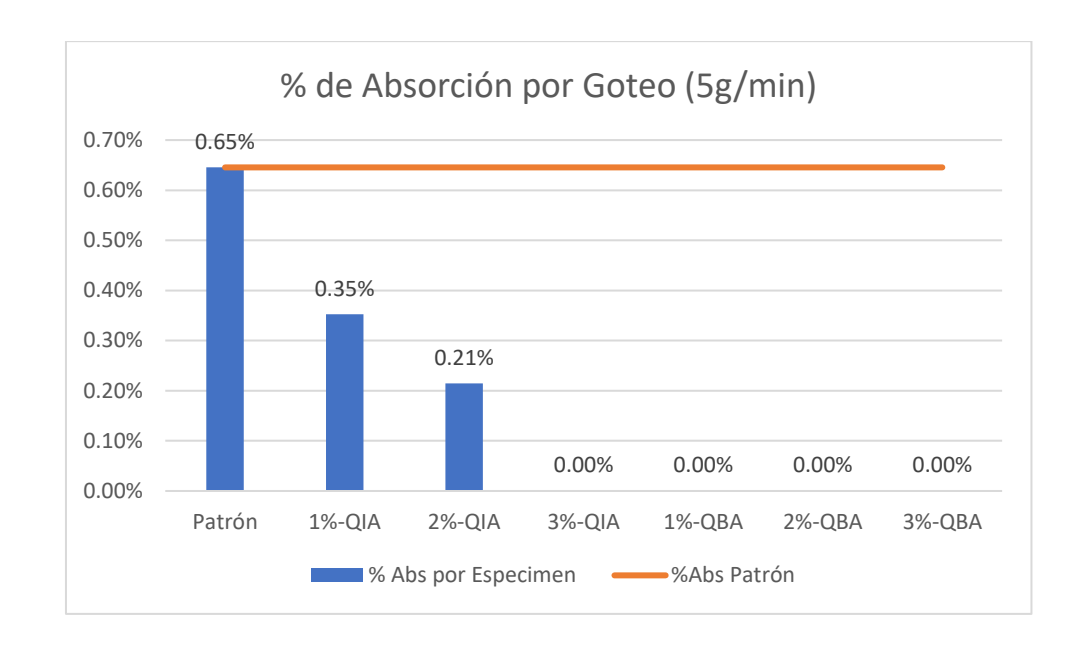
Fecha: 04/11/2024 H.J: 12:36, Fecha: 04/11/2024 H.F: 12:46		Absorción de Especímenes al 2%Q Incorporado en la Mezcla						
CÓDIGO DEL ESPÉ <mark>CIMEN</mark>	Unidad de Medida	2%QIA-1	2%QIA- 2	2%QIA- 3	2%QIA-	2%QIA- 5	2%QIA- 6	
Peso Seco del Espé <mark>cimen (A)</mark>	gr	315.00	299.00	320.00	302.00	317.00	305	
Peso Húmedo del E <mark>spécimen en Pie</mark> (B)	gr	315.00	299.00	321.00	303.00	318.00	306	
Peso Húmedo del Material Acumulado en depósito luego de Drenaje (C)	gr	0.00	0.00	0.00	0.00	0.00	0.00	
Peso del Agua (D)=(<u>B+C</u>)-A	gr	0.00	0.00	1.00	1.00	1.00	1.00	
% Absorción (E)=(D)/(A)	%	0.00%	0.00%	0.31%	0.33%	0.32%	0.33%	
	N X	,			Prom.	0.2	21%	

Fecha: 04/11/2024 HJ; 13:16, Fecha: 04/11/2024 HJ; 13:26		Absorción	de Especíi	menes al 3	%Q Incorp	orado en l	la Mezcia
CÓDIGO DEL ESP <mark>ÉCIMEN</mark>	Uni <mark>dad de</mark> Medi <mark>da</mark>	3%QIA-1	3%QIA- 2	3%QIA- 3	3%QIA- 4	3%QIA- 5	3%QIA- 6
Peso Seco del Espé <mark>cimen (A</mark>)	gr	287.00	290.00	301.00	27 <mark>4.</mark> 00	288.00	334.00
Peso Húmedo del E <mark>spécime</mark> n en Pie (B)	gr	287.00	290.00	301.00	274.00	288.00	334.00
Peso Húmedo del Material Acumulado en depósito luego de Drenaje (C)	gr	0.00	0.00	0.00	0.00	0.00	0.00
Peso del Agua (D)=(B+C)-A	gr	0.00	0.00	0.00	0.00	0.00	0.00
% Absorción (E)=(D)/(A)	%	0.00%	0.00%	0.00%	0.00%	0.00%	0.00%
3 mis in Viola - Dyinsa de la					Prom.	0.00%	

Fecha: 04/11/2024 H.J.: 13:34, Fecha: 04/11/2024 H.F.: 13:44		Absorción de Especímenes al 1%Q Bañados					
CÓDIGO DEL ESPÈCIM <mark>en</mark>	Unidad de Medida	1%QBA- 1	1%QBA- 2	1%QBA- 3	1%QBA- 4	1%QBA- 5	1%QBA- 6
Peso Seco del Espécim <mark>en (A)</mark>	gr	322.00	372.00	373.00	352.00	338.00	346.00
Peso Húmedo del Espé <mark>cimen en Pie</mark> (B)	gr	322.00	372.00	373.00	352.00	338.00	346.00
Peso Húmedo del Mate <mark>rial Acum</mark> ulado en depósito luego de D <mark>renaje (C</mark>)	gr	0.00	0.00	0.00	0.00	0.00	0.00
Peso del Agua (D)=(B+C)-A	gr	0.00	0.00	0.00	0.00	0.00	0.00
% Absorción (E)=(D)/(A)	%	0.00%	0.00%	0.00%	0.00%	0.00%	0.00%
			4	- (Prom.	0.0	0%

Fecha: 04/11/2024 HJ; 13:47, Fecha: 04/11/2024 HJ; 13:57		Absorción de Especí <mark>menes a</mark> l 2%Q Bañado					
CÓDIGO DEL ESPÉCIMEN	Unida <mark>d de</mark> Medida	2%QBA- 1	2%QBA- 2	2%QBA- 3	2%QBA- 4	2%QBA- 5	2%QBA- 6
Peso Seco del Espécimen (A)	gr	305.00	319.00	348.00	353.00	313.00	341.00
Peso Húmedo del Espé <mark>cimen e</mark> n Pie (B)	gr	305.00	319.00	348.00	353.00	313.00	341.00
Peso Húmedo del Mate <mark>rial Acum</mark> ulado en depósito luego de D <mark>renaje (C</mark>)	gr	0.00	0.00	0.00	0.00	0.00	0.00
Peso del Agua (D)=(B+C)-A	gr	0.00	0.00	0.00	0.00	0.00	0.00
% Absorción (E)=(D)/(A)	%	0.00%	0.00%	0.00%	0.00%	0.00%	0.00%
3261	la Vida	E DO	fensas	celar	Prom.	0.0	00%

Fecha: 04/11/2024 H.J.: 14:03, Fecha: 04/11/2024 H.E.: 14:13			Absorción	de Especí	menes al 39	6Q Bañado	
CÓDIGO DEL ESPÉCIMEN	Unidad de Medida	3%QBA- 1	3%QBA- 2	3%QBA-	3%QBA- 4	3%QBA- 5	3%QBA- 6
Peso Seco del Espécimen (A)	gr	305.00	340.00	361.00	350.00	324.00	309.00
Peso Húmedo del Espé <mark>cimen en Pie</mark> (B)	gr	305.00	340.00	361.00	350.00	324.00	309.00
Peso Húmedo del Mate <mark>rial Acum</mark> ulado en depósito luego de Dr <mark>enaje (C</mark>)	gr	0.00	0.00	0.00	0.00	0.00	0.00
Peso del Agua (D)=(B+C)-A	gr	0.00	0.00	0.00	0.00	0.00	0.00
% Absorción (E)=(D)/(A)	%	0.00%	0.00%	0.00%	0.00%	0.00%	0.00%
K		Prom. 0.00%					00%



Apéndice 10: Resultados absorción por goteo 10 gotas/ minuto FÓRMULA PARA CL CÁLCULO DE LA ABSORCIÓN DE LOS ESPECÍMENES DE TIERRA

Abs (%) = Peso Húmedo del Especimen - Peso Seco del Especimen
Peso Seco de la Unidad * 100

Fecha: 04/11/2024 H.J.: 12:05, Fecha: 04/11/2024 H.F.: 12:15	1100	Abs	orción	de los E	specím	enes Pat	trón
CÓDIGO DEL ESPÉCIMEN	Unidad de Medida	PA-1	PA-2	PA-3	PA-4	PA-5	PA-6
Peso Seco del Espé <mark>cimen (A</mark>)	gr	330.00	344.00	331.00	335.00	340.00	356.00
Peso Húmedo del E <mark>spécimen en Pie</mark> (B)	gr	335.00	350.00	337.00	341.00	346.00	362.00
Peso Húmedo del Material Acumulado en depósito luego de Drenaje (C)	gr	0.00	0.00	0.00	0.00	0.00	0.00
Peso del Agua (D)=(<u>B+C</u>)-A	gr	5.00	6.00	6.00	6.00	6.00	6.00
% Absorción (E)=(D)/(A)	%	1.52%	1.74%	1.81%	1.79%	1.76%	1.69%
0	$\mathbf{X} \cup \mathbf{A}$	V V	9)		Prom.	1.7	2%

Fecha: 04/11/2024 HJ; 12:22, Fecha: 04/11/2024 HJF; 12:32		Abso	rción de Es		s al 1%Q l z <mark>cla</mark>	ncorporad	o en la
CÓDIGO DEL ESP <mark>ÉCIMEN</mark>	Unidad <mark>de</mark> Medi <mark>da</mark>	1%QIA- 1	1%QIA- 2	1%QIA- 3	1%QIA- 4	1%QIA- 5	1%QIA- 6
Peso Seco del Espé <mark>cimen (A</mark>)	gr	2 <mark>9</mark> 5.00	300.00	357.00	314.00	318.00	316.00
Peso Húmedo del E <mark>spécime</mark> n en Pie (B)	gr	299.00	304.00	361.00	320.00	322.00	321.00
Peso Húmedo del Material Acumulado en depósito luego de Drenaje (C)	gr	0.00	0.00	0.00	0.00	0.00	0.00
Peso del Agua (D)=(<u>B+C</u>)-A	gr	4.00	4.00	4.00	6.00	4.00	5.00
% Absorción (E)=(D)/(A)	%	1.36%	1.33%	1.12%	1.91%	1.26%	1.58%
*PROMEDIO: Este valor ha sido calculado con los porcentajes de absorción similares, para fijarse una meta con la incorporación del Estearato de Zinc diluido en acetona.							13%

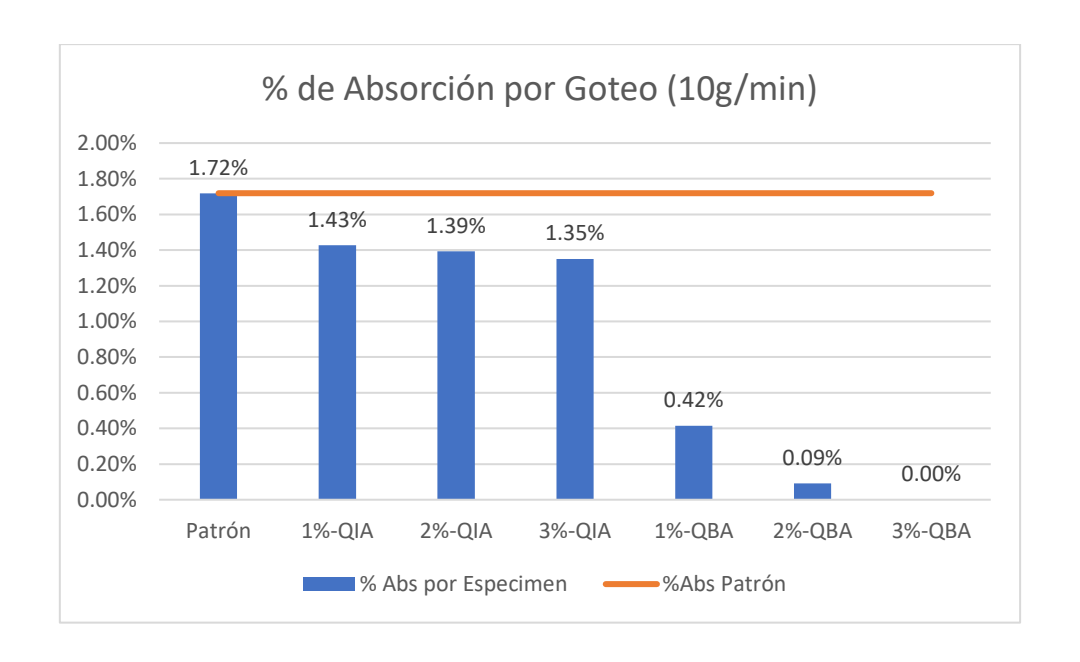
Fecha: 04/11/2024 HJ; 12:36, Fecha: 04/11/2024 HF; 12:46		Absort	ción de Es	pecímene: Mez	-	ncorporad	o en la
CÓDIGO DEL ESPÉ <mark>CIMEN</mark>	Unidad de Medida	2%QIA-1	2%QIA- 2	2%QIA- 3	2%QIA-	2%QIA- 5	2%QIA- 6
Peso Seco del Espé <mark>cimen (A)</mark>	gr	306.00	326.00	297.00	296.00	324.00	322
Peso Húmedo del E <mark>spécimen en Pie</mark> (B)	gr	310.00	330.00	302.00	300.00	328.00	327
Peso Húmedo del Material Acumulado en depósito luego de Drenaje (C)	gr	0.00	0.00	0.00	0.00	0.00	0.00
Peso del Agua (D)=(<u>B+C</u>)-A	gr	4.00	4.00	5.00	4.00	4.00	5.00
% Absorción (E)=(D)/(A)	%	1.31%	1.23%	1.68%	1.35%	1.23%	1.55%
*PROMEDIO: Este valor ha sido calculado con los porcentajes de absorción similares, para fijarse una meta con la incorporación del Estearato de Zinc diluido en acetona. 1.39%							

Fecha: 04/11/2024 HJ; 13:16, Fecha: 04/11/2024 HJ; 13:26		Absorción	de Especíi	menes al 3	%Q Incorp	orado en l	la Mezcla
CÓDIGO DEL ESP <mark>ÉCIMEN</mark>	Uni <mark>dad de</mark> Medi <mark>da</mark>	3%QIA-1	3%QIA- 2	3%QIA- 3	3%QIA-	3%QIA- 5	3%QIA- 6
Peso Seco del Espécimen (A)	gr	306.00	304.00	314.0 <mark>0</mark>	272 <mark>.</mark> 00	302.00	344.00
Peso Húmedo del E <mark>spécime</mark> n en Pie (B)	gr	310.00	308.00	318.00	276.00	305.00	350.00
Peso Húmedo del Material Acumulado en depósito luego de Drenaje (C)	gr	0.00	0.00	0.00	0.00	0.00	0.00
Peso del Agua (D)=(B+C)-A	gr	4.00	4.00	4.00	4.00	3.00	6.00
% Absorción (E)=(D)/(A)	%	1.31%	1.32%	1.27%	1.47%	0.99%	1.74%
*PROMEDIO: Este valor ha sido calculado con los porcentajes de absorción similares, para fijarse una meta con la incorporación del Estearato de Zinc diluido en acetona. Prom. 1.35							<u> 5%</u>

Fecha: 04/11/2024 H.F. 13:44						Q Bañados	
CÓDIGO DEL ESPÉCIM <mark>EN</mark>	Unidad de Medida	1%QBA- 1	1%QBA- 2	1%QBA- 3	1%QBA-	1%QBA- 5	1%QBA
Peso Seco del Espécim <mark>en (A)</mark>	gr	342.00	311.00	309.00	353.00	335.00	321.00
Peso Húmedo del Espé <mark>cimen en Pie</mark> (B)	gr	342.00	311.00	309.00	353.00	335.00	329.00
Peso Húmedo del Mate <mark>rial Acum</mark> ulado en depósito luego de D <mark>renaje (C</mark>)	gr	0.00	0.00	0.00	0.00	0.00	0.00
Peso del Agua (D)=(<u>B+C</u>)-A	gr	0.00	0.00	0.00	0.00	0.00	8.00
% Absorción (E)=(D)/(A)	%	0.00%	0.00%	0.00%	0.00%	0.00%	2.49%
*PROMEDIO: El último espéc <mark>imen se ro</mark> mpió la capa que cubría a la tierra					Prom.	0.4	2%

Fecha: 04/11/2024 HJ; 13:47, Fecha: 04/11/2024 HJF; 13:57		Absorción de Espec <mark>ímenes a</mark> l 2%Q Bañado					
CÓDIGO DEL ESPÉCIMEN	Unida <mark>d de</mark> Medida	2%QBA- 1	2%QBA- 2	2%QBA- 3	2%QBA- 4	2%QBA- 5	2%QBA- 6
Peso Seco del Espécimen (A)	gr	3 <mark>64</mark> .00	335.00	342.00	336.00	341.00	355.00
Peso Húmedo del Espé <mark>cimen e</mark> n Pie (B)	gr	366.00	335.00	342.00	336.00	341.00	355.00
Peso Húmedo del Mate <mark>rial Acum</mark> ulado en depósito luego de D <mark>renaje (C</mark>)	gr	0.00	0.00	0.00	0.00	0.00	0.00
Peso del Agua (D)=(B±C)-A	gr	2.00	0.00	0.00	0.00	0.00	0.00
% Absorción (E)=(D)/(A)	%	0.55%	0.00%	0.00%	0.00%	0.00%	0.00%
					0.0	99%	

Fecha: 04/11/2024 H.F.: 14:13	Absorción de Especímenes al 3%Q Bañado							
CÓDIGO DEL ESPÉCIMEN	Unidad de Medida	3%QBA- 1	3%QBA- 2	3%QBA-	3%QBA- 4	3%QBA- 5	3%QBA- 6	
Peso Seco del Espécimen (A)	gr	356.00	347.00	338.00	365.00	306.00	339.00	
Peso Húmedo del Espé <mark>cimen en Pie</mark> (B)	gr	356.00	347.00	338.00	365.00	306.00	339.00	
Peso Húmedo del Mater <mark>ial Acum</mark> ulado en depósito luego de Dr <mark>enaje (C</mark>)	gr	0.00	0.00	0.00	0.00	0.00	0.00	
Peso del Agua (D)=(B+C)-A	gr	0.00	0.00	0.00	0.00	0.00	0.00	
% Absorción (E)=(D)/(A)	%	0.00%	0.00%	0.00%	0.00%	0.00%	0.00%	
*PROMEDIO: Este valor ha sido calculado con lo meta con la incorporación del Estearato de Zinc	Prom.	0.0	99%					



Apéndice 11: Estudios de Suelos

Contenido de humedad

Temperatura de Secado

<u>Método</u>

60 °C / 110 °C /Ambiente

Horno 110 ± 5 °C

Tabla 18 *Contenido de Humedad*

ID	DESCRIPCIÓN	UND	1	2	3
A	Identificación del recipiente o Tara		TARA 1	TARA 2	TARA 3
В	Peso del recipiente	gr	143.90	144.10	145.10
C	Recipiente + suelo húmedo	gr	1801.70	2085.00	2048.20
D	Recipiente + suelo seco	gr	1691.00	1973.90	1928.00
E	Peso del agua (Ww) C – D	gr	110.70	111.10	120.20
F	Peso Suelo Seco (Ws) D – B	gr	1547.10	1829.80	1782.90
W %	Porcentaje de humedad (E / F) * 100	%	7.16	6.07	6.74
G	Promedio porcentaje humedad	%		6.66	

$$(W\%) = \frac{Ww}{Ws} * 100$$

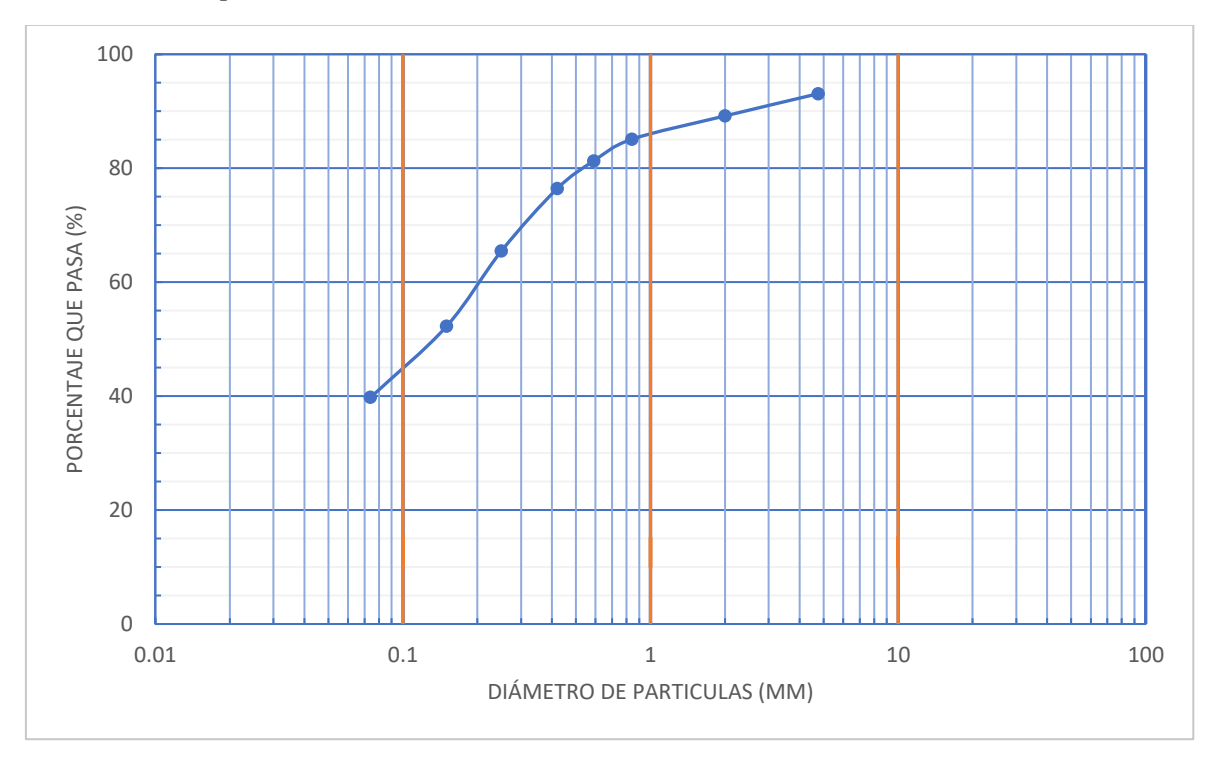
Granulometría por lavado

Peso de muestra seca; Ws 500 gr

Tabla 19 *Granulometría por lavado*

Tamiz	Abertura	Peso Retenido	% RP	%RA	% que pasa
Nº 4	4,76	34.60	6.92	6.92	93.08
Nº10	2	19.50	3.90	10.82	89.18
N°20	0,84	20.50	4.10	14.92	85.08
N°30	0,59	19.00	3.80	18.72	81.28
N°40	0,42	24.30	4.86	23.58	76.42
Nº60	0,25	54.70	10.94	34.52	65.48
Nº100	0,15	66.20	13.24	47.76	52.24
N°200	0,074	62.40	12.48	60.24	39.76
Perdida	Lavado	198.80	39.76	100.00	0.00
Total		500.00	100.00	-	-

Figura 16 Granulometría por Lavado



Límites de consistencia

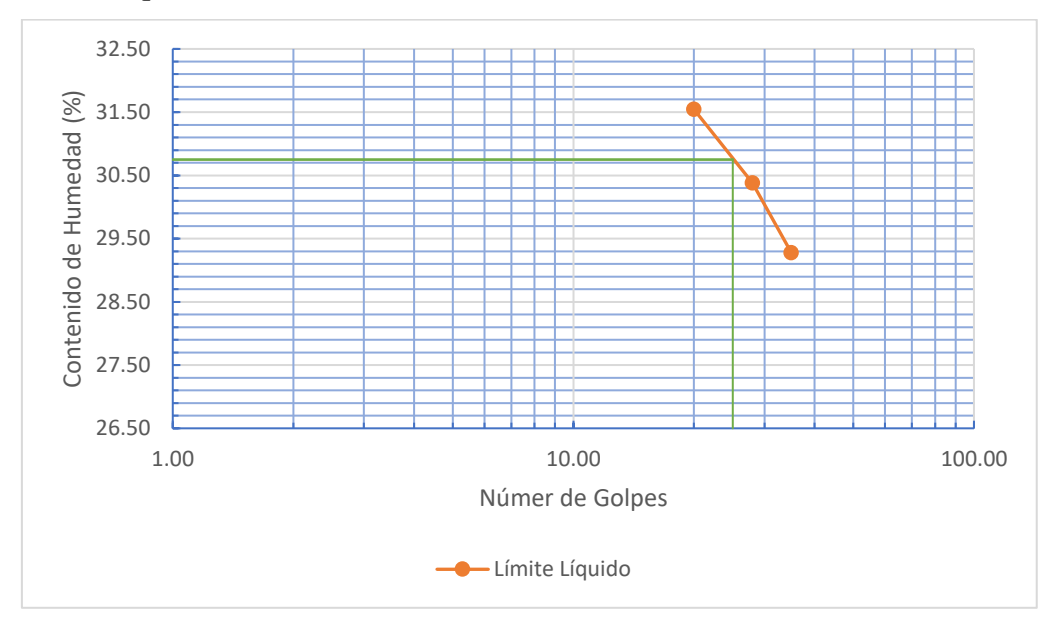
Límite líquido

Tabla 20 *Límite líquido*

	1				
ID	DESCRIPCIÓN	UND			
A	identificación de Recipiente	N°	T.Aux 3	T.Aux	T.Aux
				5	1
В	Suelo Húmedo + Recipiente	gr	47.00	48.40	45.20
C	Suelo Seco + Recipiente	gr	42.30	43.60	41.35
D	Peso de Recipiente	gr	27.40	27.80	28.20
E	Peso del Agua	gr	4.70	4.80	3.85
F	Peso Suelo Seco	gr	14.90	15.80	13.15
G	Número de Golpes	N	20	28	35
H	Contenido de Humedad	%	31.54	30.38	29.28

Para 25 golpes, se obtiene un contenido de humedad de 30.75%, como se indica en la siguiente gráfica.

Figura 17 *Límite liquido*



Límite plástico

Tabla 21

Límite plástico

ID	DESCRIPCIÓN	UND	1	2
A	Identificación de Recipiente	N°	T.Aux 4	T.Aux
				2
В	Suelo Húmedo + Tara	gr	37.10	38.00
C	Suelo Seco + Tara	gr	35.50	36.30
D	Peso de Tara	gr	27.70	27.20
E	Peso del Agua	gr	1.60	1.70
F	Peso Suelo Seco	gr	7.80	9.10
G	Contenido de Humedad	%	20.51	18.68
H	Promedio Limite Plástico		19.60	

Índice de plasticidad

Tabla 22

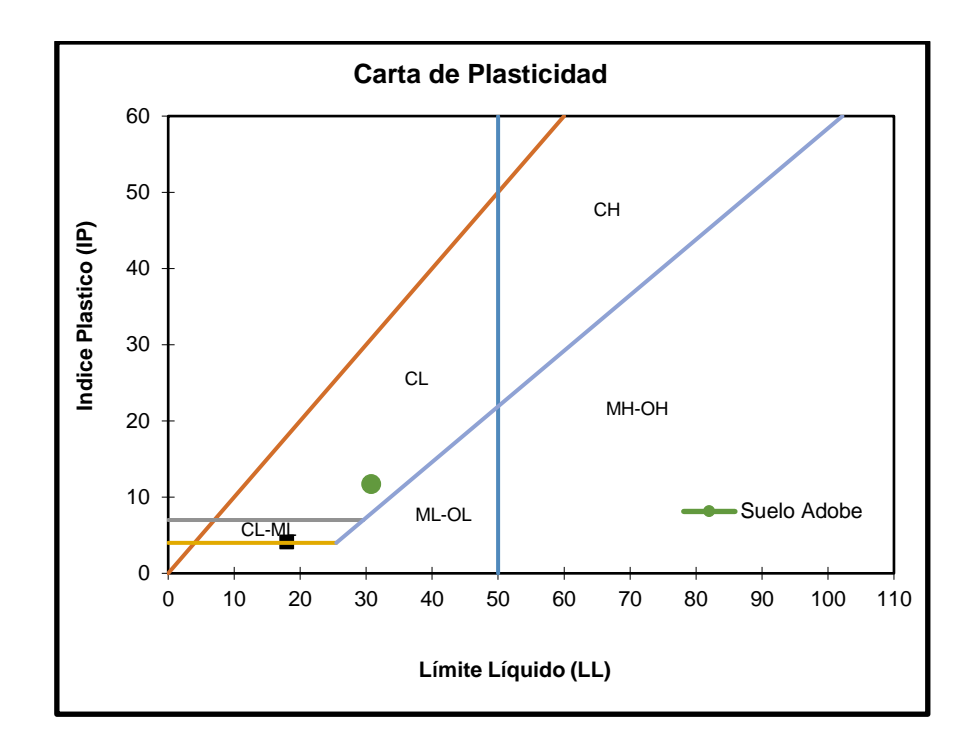
Índice de Plasticidad

Datos	Nro. Golpes	w%
LL	25	31
LP	-	20
IP	LL-LP	11

Clasificación SUCS

Teniendo en cuenta el Índice Plástico obtenido, y el Límite Líquido, se clasifica en la Carta de Plasticidad, obteniendo el siguiente resultado:

Figura 18
Clasificación del suelo en la Carta de Plasticidad.



De lo que podemos definir lo siguiente:

Tabla 23Clasificación SUCS

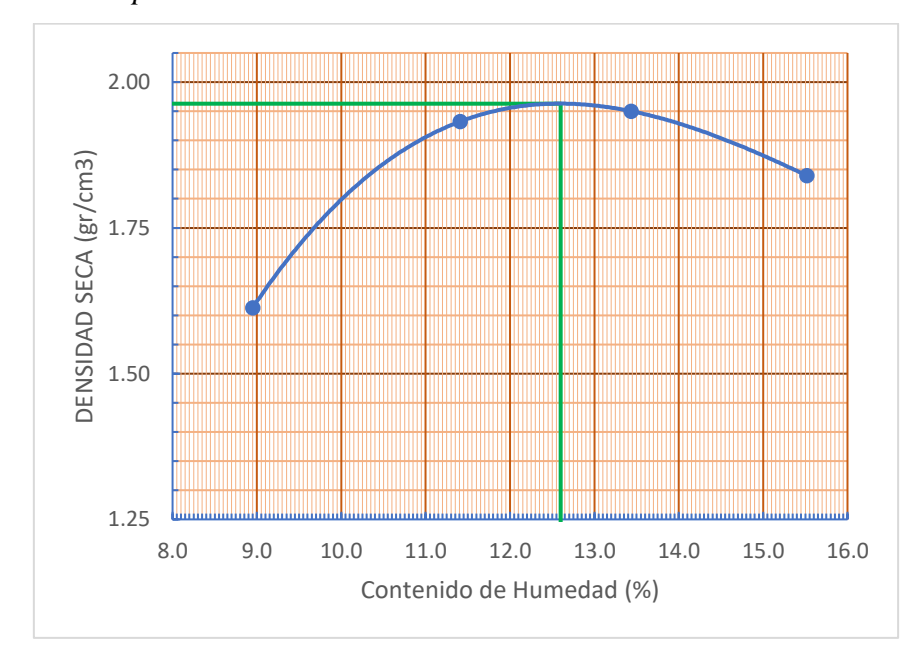
Conclusión:	Suelo es del tipo CL				
Material:	Grueso				
Tipo:	S	Arena			
Gradación	P	Pobremente Graduada			
Tipo de Suelo:	C	Arcilla			
Subgrupo	L	Baja Plasticidad			
Finalmente	SP-SC	Arena Pobremente graduada con Arcilla de baja Plasticidad			

Proctor modificado

Tabla 24Proctor Modificado

ID	DESCRIPCIÓN	UND		1	, , , , , , , , , , , , , , , , , , ,	2		3	۷	1
A	Peso Molde	gr	4181.90		4181.90		4181.90		4181.90	
В	Peso Muestra Húmeda + Molde	gr	620	6.60	6262.30		6180.50		5834.40	
C	Peso Muestra Húmeda	gr	202	4.70	2080.40		1998.60		1652.50	
D	Volumen Muestra húmeda	cm^3	81	.07	81	.07	81.07		81	.07
F	Densidad húmeda: Dh	gr/cm ³	24	.97	25	.66	24	.65	20	.38
G	Recipiente	N°	a	b	a	b	a	b	a	b
H	Peso Recipiente	gr	27.30	27.30	27.30	27.60	27.20	27.20	27.30	27.30
Ι	Peso Muestra húmeda + Recipiente	gr	228.40	235.30	221.40	248.90	230.90	211.20	213.50	210.00
J	Peso Muestra Seca + Recipiente	gr	207.90	213.90	198.40	222.70	203.30	186.70	198.30	194.90
K	Peso del Agua	gr	20.50	21.40	23.00	26.20	27.60	24.50	15.20	15.10
L	Peso Muestra seca	gr	180.60	186.60	171.10	195.10	176.10	159.50	171.00	167.60
M	Contenido de Humedad W%	%	11.35	11.47	13.44	13.43	15.67	15.36	8.89	9.01
N	Promedio Contenido de humedad Óptimo	%	11	.41	13	.44	15	.52	8.9	95
0	Densidad Seca Máxima: Ds	gr/cm ³	22	.42	22	.62	21	.34	18	.71

Figura 19Curva de Compactación



Que a partir de la gráfica anterior podemos concluir lo siguiente:

Tabla 25Valores Óptimos del Proctor Modificado

Humedad óptima	12.60	%
Densidad Seca	1.963	gr/cm3

ANEXOS

Anexo 1: Ensayo de absorción por sumergimiento

Figura 20

Ensayo de absorción por sumergimiento



Figura 21Ensayo de absorción por sumergimiento inicial y final



Figura 22

Ensayo de absorción por sumergimiento rotura inicial de la capa por filtración



Figura 23Ensayo de absorción por sumergimiento rotura final de la capa por filtración



Anexo 2: Ensayo de goteo

Figura 24Muestra del ensayo de goteo para 5 y 10 gotas por minuto



Figura 25

Especificación técnica de venoclisis y distancia de goteo



Figura 26Vista de especímenes goteadas por 5 y 10 gotas





Figura 27Agua que está siendo repelida por la capa protectora del espécimen



Anexo 3: Rotura de cubos de adobe

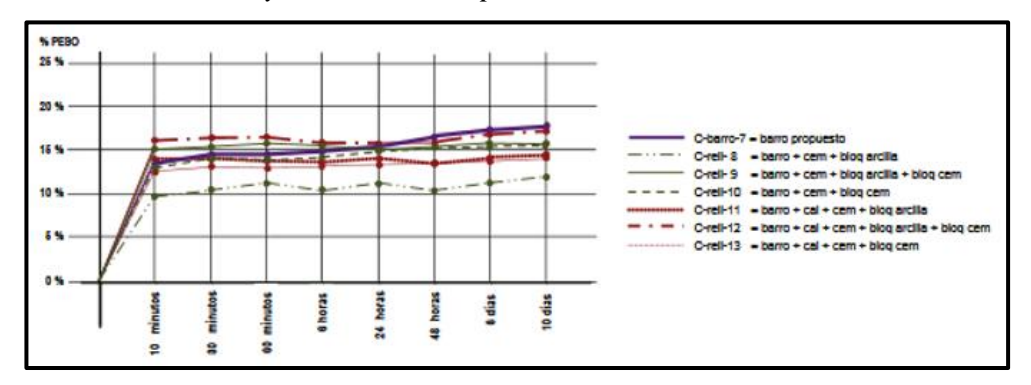
Figura 28Rotura a compresión de adobes cúbicos





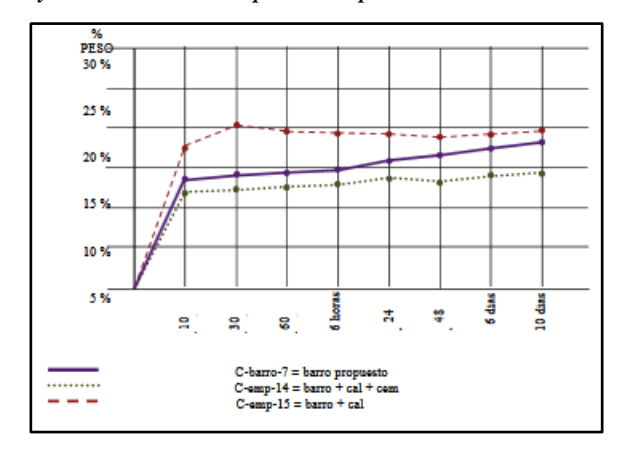
Anexo 4: Referencias de figuras de los antecedentes

Figura 29 *Resultado de Ensayo de Absorción para relleno*



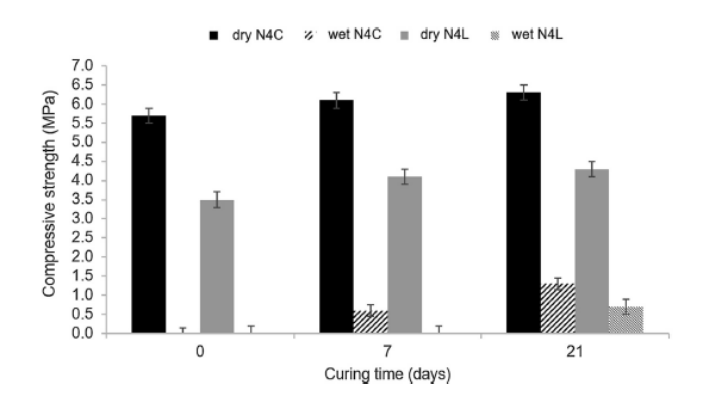
Nota: El gráfico representa el % de absorción de los diferentes tipos de mezclas y combinaciones para el relleno realizadas en la investigación. Adaptado de: Ensayos a mezclas de barro estabilizadas para el relleno y empañetado de paredes de Bahareque. (Hennenberg De León & Briceño, 2016).

Figura 30Resultado de Ensayo de Absorción para empañetados



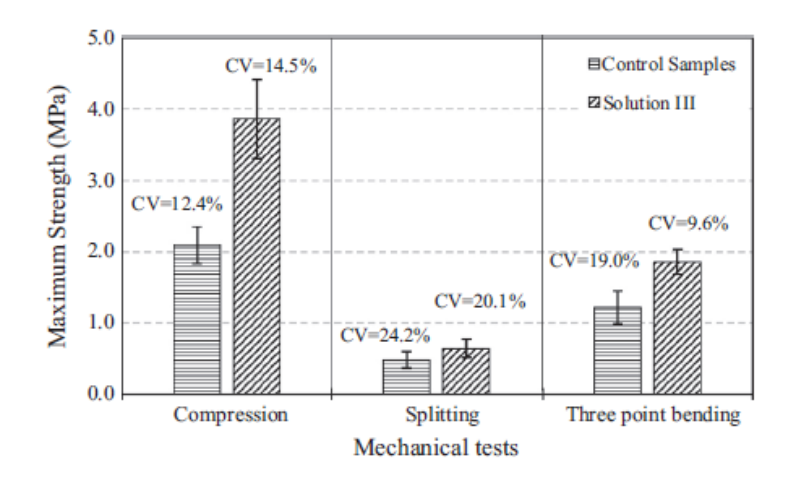
Nota: El gráfico representa el % de absorción de los diferentes tipos de mezclas y combinaciones para el empañetado realizadas en la investigación. Adaptado de: Ensayos a mezclas de barro estabilizadas para el relleno y empañetado de paredes de Bahareque (Hennenberg De León & Briceño, 2016).

Figura 31Resultados de los ensayos a compresión de las muestras



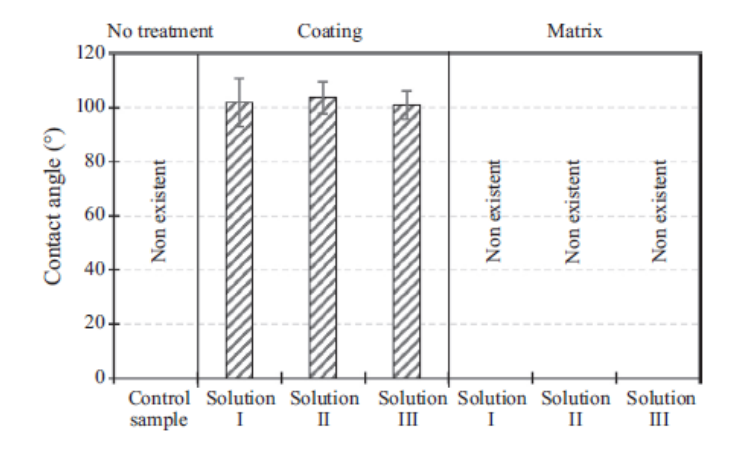
Nota: El gráfico representa las pruebas de compresión de los suelos B y N con 4% de concentración de cemento(C) Y Cal (L) tanto secos como húmedos. Adaptado de: Is stabilization of earth bricks using low cement or lime contents relevant? [En español: ¿Es la estabilización de ladrillos de tierra con bajo contenido de cemento o cal pertinente?]. De Kouka Amed Jeremy Ouedraogo, Jean-Emmanuel Aubert, Christelle Tribout, Gilles Escadeillas, 2019, Tomado de Construction and Building Materials (Vol. 236, Art. 117578), Science Direct.

Figura 32Resultados de los ensayos para determinar las propiedades mecánicas.



Nota: El gráfico representa las pruebas de compresión, split y flexión de tres puntos realizados a la muestra patrón y a la muestra con mezcla de Solución III. Adaptado de: *Eco-friendly modification of earthen construction with carrageenan: Water durability and mechanical assessment.* De Javier Nakamatsu, Suyeon Kim, Jorge Ayarza, Eduardo Ramírez, Mariela Elgegren, Rafael Aguilar, 2017, Tomado de *Construction and Building Materials (Vol. 139, p.197)*, Science Direct.

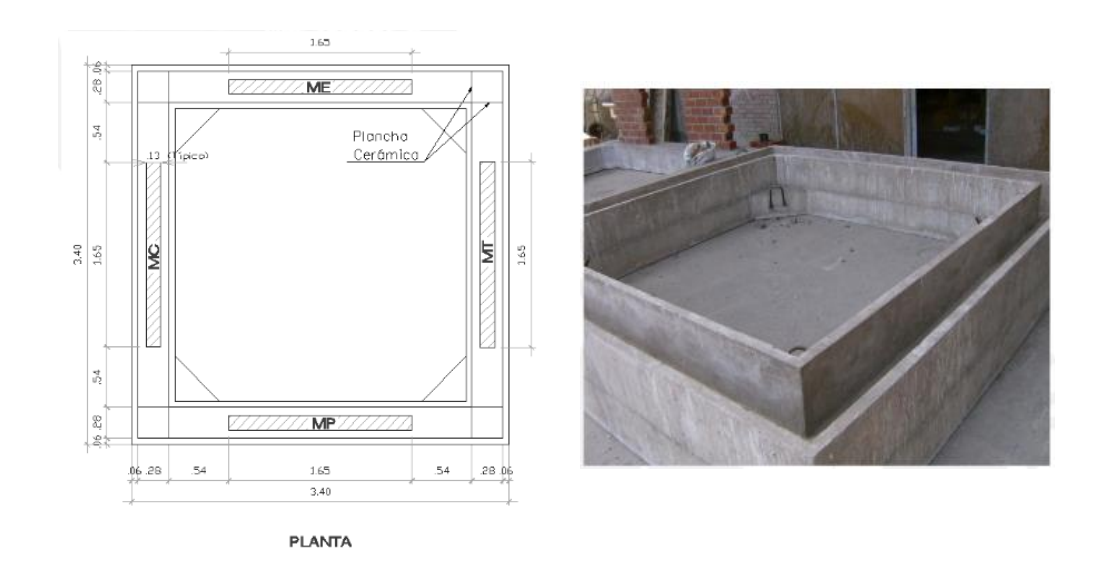
Figura 33Ángulo de contacto de la prueba de permeabilidad



Nota: El gráfico representa el ángulo de contacto de la prueba de permeabilidad de las muestras patrón sin carragenina, de las revestidas y de las incorporadas con carragenina. Adaptado de: Eco-friendly modification of earthen construction with carrageenan: Water durability and mechanical assessment. De Javier Nakamatsu, Suyeon Kim, Jorge Ayarza, Eduardo Ramírez, Mariela Elgegren, Rafael Aguilar, 2017, Tomado de Construction and Building Materials (Vol. 139, p.197), Science Direct

Figura 34

Canal U para los ensayos.



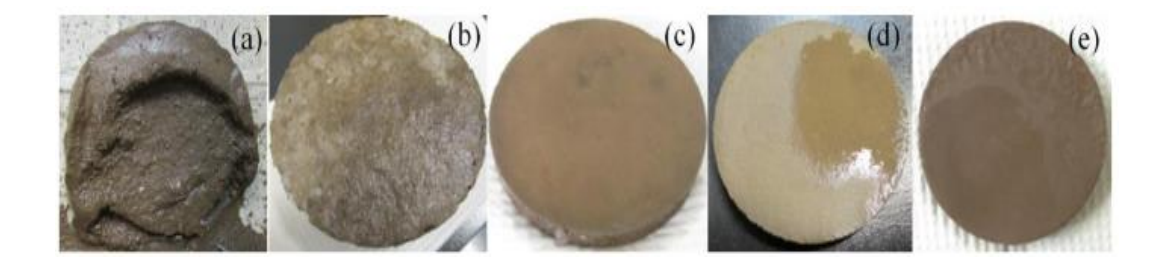
Nota: La figura representa la vista en planta y la fotografía real del canal en U desarrollado para comprobar la afectación del agua en los muros. Adaptado de: "Mejoramiento de las construcciones de adobe ante una exposición prolongada de agua por efecto de inundaciones". De Daniel Cabrera Arias, Walter Huaynate Granados, 2010, Tomado de Repositorio de Tesis de la Universidad Católica del Perú. (p.13), Pontificia Universidad Católica del Perú

Figura 35 *Ensayo de inundación de muros.*



Nota: La figura representa la vista real del ensayo de inundación en cada uno de los muros edificados. Adaptado de: "Mejoramiento de las construcciones de adobe ante una exposición prolongada de agua por efecto de inundaciones". De Daniel Cabrera Arias, Walter Huaynate Granados, 2010, Tomado de Repositorio de Tesis de la Universidad Católica del Perú. (p.17), Pontificia Universidad Católica del Perú.

Figura 36 *Ensayo erosión de la investigación.*



Nota: La figura representa la vista real del ensayo de los especímenes luego de 10 minutos de estar sometidos al ensayo de erosión: En la sección a) muestra patrón luego de 2.5 minutos de ensayo, b) incorporación de quitosana al 3%, c) superficie recubierta con quitosana al 3%, d) recubrimiento con quitosana al 1% y finalmente e) recubrimiento de carragenina al 2%. Adaptado de: "Estudio de las Propiedades Mecánicas y Físicas del Adobe con Biopolímeros de Fuentes Locales". De Ramírez Caparó José Eduardo, 2018, Tomado de Repositorio de Tesis de la Universidad Católica del Perú. (p.8), Pontificia Universidad Católica del Perú

Anexo 5: Ficha técnica del estearato de zinc de Reactivos Química Meyer

Hoja de datos de seguridad conforme a la NOM-018-STPS-2015

ESTEARATO DE ZINC

QUÍMICA SUASTES, S.A. DE C.V. Calle Pámpano No. 7, Col. Del Mar, Delegación Tláhuac C.P. 13270, Ciudad de México, México

Tel.: 5859 8976 / 5859 8975 Fax: 5859 8976

 Código:
 Fecha de Elaboración

 HDS 2760
 12/02/2017

 HDS 2760
 12/02/2017

 Revisión No.:
 Fecha de Revisión:

 02
 02/03/2018

CENACOM: 01 800 00 41 300 sin costo y (55) 55 50 15 52, (55) 55 50 14 96 en la Cd. de México. SETTQ: 01 800 00 214 00 sin costo, y (55) 55 59 15 88 en la Cd. de México. COATEA: 01 800 710 49 43 sin costo y (55) 26 15 20 45 y (55) 54 49 63 91 en la Cd. de México.

1 Identificación del producto

Nombre químico: Sinónimos: Fórmula: Peso Molecular: Familia Química: ESTEARATO DE ZINC N/D C₃₆H₇₀O₄Zn 632.33 N/D

Uso recomendado

Uso analítico.

Restricciones de uso del producto:

Sin datos disponibles.

2 Identificación de peligro o peligros

Peligros Físicos:

N/D

Peligros para la Salud:

N/D

ELEMENTOS GHS [SISTEMA GLOBALMENTE ARMONIZADO]
Identificador SGA (Consejos de Precaución):



Palabras de advertencia: Atención.

P264 Lavarse la piel concienzudamente tras la manipulación.
P270 No comer, beber ni fumar durante su utilización.

P273 Evitar su liberación al medio ambiente. P280 Llevar gafas/ máscara de protección.

P305+P351+P338 EN CASO DE CONTACTO CON LOS OJOS: Enjuagar cuidadosamente con agua durante varios minutos.

Quitar las lentes de contacto, si lleva y resulta fácil. Seguir enjuagando.

P337+P313 Si persiste la irritación ocular: Consultar a un médico.

P501 Eliminar el contenido/ el recipiente.

ESTEARATO DE ZINC



Consejos de prudencia:

Prevención

Respuesta

Leer instrucciones y precauciones antes de manipular el producto. Conservar únicamente en el recipiente original. Lavarse después de la manipulación. No respirar humos/gases/nieblas/vapores/aerosoles. Utilizar sólo al aire libre o en un lugar ventilado. Usar guantes/ropa protectora/equipo de protección para los ojos/la cara.

Si se ingiere, dar a beber agrande cantidades de agua o leche para diluir, Llamar a un médico. En caso de irritación cutánea: Lavar inmediatamente durante 15 minutos, consultar a un médico. En caso de contacto con los ojos: Enjuagar inmediatamente durante 15 minutos. consultar a un médico. En caso de inhalación: retirarse al aire fresco. Si la persona no respira, dar respiración artificial. Si la respiración fuera dificil, dar oxígeno. Consiga atención médica.

Almacenar en un recipiente que sea apropiado y proteja del daño físico. Mantenga fuera de la luz solar directa, lejos del calor y materiales incompatibles. Mantener el producto en su envase original.

Eliminar el recipiente en una planta de tratamiento de residuos aprobada, con las características del producto en el momento de su eliminación.

Eliminación Otros peligros:

Almacenamiento

Ninguno/a.

3 Composición/Información sobre los componentes

Identidad química:No. ONU:Sinónimos:No. CAS:Concentración:ESTEARATO DE ZINCNO REGULADON/D557-05-195 – 100%

Impurezas y aditivos:

No contiene otros componentes o impurezas que puedan influir en la clasificación del producto.

4 Primeros auxilios

Descripción de los primeros auxilios:

Inhalación
En caso de inhalación retirarse al aire fresco. Si la persona no respira o la respiración fuera difícil, dar oxígeno. Busque atención médica.

Lave la piel inmediatamente con agua abundante por lo menos 15 minutos. Quítese la ropa y zapatos contaminados. Busque atención médica. Lave la ropa antes de usarla nuevamente. Limpie los zapatos completamente antes de usarlos de nuevo.

Contacto con los ojos Lave los ojos inmediatamente con abundante agua, por lo menos 15 minutos, elevando los párpados superior e inferior ocasionalmente. Busque atención médica.

Si se ingiere, dar a beber grandes cantidades de agua para diluir, Si ocurre vómito, mantenga la cabeza más abajo que las caderas para evitar la aspiración a los pulmones. Nunca administre nada por la boca a una persona inconsciente.

Síntomas y efectos más importantes, agudos o crónicos:

N/D

Indicación de la necesidad de recibir atención médica inmediata y, en su caso, de tratamiento especial:

No administrar nada por vía oral a una persona en estado inconsciente. En caso de malestar, acúdase al médico (si es posible, muéstresele la etiqueta). Se recomienda el tratamiento sintomático. Los síntomas pueden ser retardados.

Página 2 de 8

QS-FORSH-02-03 Rev. 01 / 24 de octubre de 2016



ESTEARATO DE ZINC

Medidas contra incendios

Medios de extinción:

Producto químico seco, agua, espuma, anhídrido carbónico. Usar el medio de extinción Adecuados

adecuado de acuerdo con los demás materiales del entorno.

Inadecuados N/D

Peligros específicos de la sustancia química peligrosa o mezcla:

Combustible Este producto no es considerado como combustible.

Productos de En un incendio pueden formarse gases peligrosos para la salud. descomposición peligrosos

Medidas especiales que deberán seguir los grupos de combate contra incendio:

Protección en caso de incendio

Los bomberos o el personal capacitado deben utilizar equipo de protección estándar incluyendo, chaqueta ignifuga, casco con pantalla, guantes, botas de goma y en caso de espacios cerrados, equipo autónomo de respiración.

Procedimientos

especiales

En el evento de un fuego, vestir protectores completos y aparato respiratorio autónomo con mascarilla completa operando en la demanda de presión u otro modo de presión positiva. La ropa protectora de los bomberos debe ser efectiva para incendios donde está presente este material. Evite que el agua de extinción del fuego afecte el entorno.

6 Medidas que deben tomarse en caso de derrame o fuga accidental

Precauciones personales, equipo de protección y procedimiento de emergencia:

Precauciones ventile el área donde ocurrió la fuga o derrame. Use el equipo de protección personal apropiado. Aísle el área de peligro. Evite la entrada de personal innecesario y no protegido.

Precauciones relativas No elimine en los drenaje ni cursos de agua o suelo. al medio ambiente

Métodos y materiales para la contención y limpieza de derrames o fugas

Contenga y recupere el líquido cuando sea posible. Use herramientas y equipo que no formen chispas. Recoja el líquido en un recipiente apropiado o absórbalo con un material inerte (ej. Vermiculita, arena seca o tierra) y colóquelo en un recipiente para desechos químicos.

Manejo y almacenamiento

Precauciones que se deben tomar para garantizar un manejo seguro:

Utilizar un equipo de protección, según corresponda. Evitar el contacto en la piel, ojos y la ropa. Lavarse las manos a fondo después de manipular el producto. No comer, beber y fumar durante la utilización del producto. Quitarse la ropa y el equipo de protección personal contaminados al abandonar el área de trabajo o al ingresar a áreas destinadas al consumo de alimentos. Debe haber una ventilación general adecuada. Si es posible, use campana de extracción. Manipule los envases Manipulación

vacíos con cuidado porque los residuos son tóxicos.

Medidas de protección técnicas

Proteger de daños físicos, seguir las medidas adecuadas para evitar accidentes durante su manipulación o almacenamiento.

Condiciones de almacenamiento seguro, incluida cualquier incompatibilidad:

Página 3 de 8

OS-FORSH-02-03 Rev. 01 / 24 de octubre de 2016

ESTEARATO DE ZINC



Almacenamiento

Mantener el envase cerrado herméticamente. Consérvese únicamente en el recipiente de origen, en lugar fresco y ventilado.

Incompatibles

Mantenga fuera de la luz solar directa y lejos del calor. No lave el recipiente para utilizarlo con otros

Controles de exposición / protección personal

Controles técnicos apropiados:

En caso de que la concentración se encuentre cerca de los límites de exposición, apoyarse de un sistema de ventilación como puede ser una campana de extracción o algún sistema de extracción o venteo local. Evitar contacto directo con el producto. Parámetros de control:

Límites de exposición laboral: N/D

Medidas de protección individual (equipo de protección personal):

Protección de los donde el contacto no sea posible. Los lentes de contacto no deberían ser usados cuando se trabaje con este material.



Protección de la

Usar ropa de protección adecuada y guantes de hule resistentes para evitar el contacto. En caso de contacto, lavarse rápidamente. Lavar la ropa y limpiar el equipo contaminado antes de usarlo de nuevo.



Protección de las vías Si se excede el límite de exposición, se puede usar un respirador semifacial contra polvos/neblinas hasta diez veces el límite de exposición o la concentración máxima de utilización que específica el organismo de control apropiado o el fabricante del respirador, lo que sea más bajo. Se puede usar un respirador facial.



Propiedades físicas y químicas

Apariencia Sólido, polvo

> Olor N/D

Umbral del olor N/D

> N/D pН

Punto de fusión/punto de 128 - 130 °C congelación

Punto inicial e intervalo de

135 °C ebullición

180 °C Punto de inflamación

Velocidad de evaporación → N/A

Inflamabilidad (sólido o gas) N/A

Presión de vapor (mmHg) → N/D Densidad de vapor (aire=1) →

Página 4 de 8

OS-FORSH-02-03 Rev. 01 / 24 de octubre de 2016

ESTEARATO DE ZINC

Densidad relativa

Solubilidad(es) N/D

Temperatura de ignición espontánea;

Temperatura de N/D descomposición

Viscosidad

N/D Peso molecular 632.33 g/mol (C₃₆H₇₀O₄Zn)

N/D



NA = No Aplica ND= No se Dispone

10 Estabilidad y reactividad

Reactividad No se conoce reacciones peligrosas bajo condiciones de uso normal.

El material es estable bajo condiciones ambientales normales y en condiciones previsibles de Estabilidad química

temperatura y presión durante su almacenamiento y manipulación.

Posibilidad de La polimerización peligrosa no ocurre. No se conoce reacciones peligrosas bajo condiciones de uso reacciones peligrosas normal.

Condiciones que Contacto con materiales incompatibles. deberán evitarse

Agentes oxidantes fuertes, Ácidos, Metales Alcalinos, Peróxido de hidrogeno, Halógenos, Compuestos orgánicos y álcalis. Incompatibles

En condiciones normales de almacenamiento y uso, no se deberían formar productos de descomposición peligrosos. Productos de descomposición

Información toxicológica

Información sobre los efectos toxicológicos.

Toxicidad aguda Nocivo en caso de ingestión.

Oral (Producto): DL50 Oral - Rata - > 10,000 mg/kg

Dérmico (Producto): N/D

Inhalación (Producto): N/D

Corrosión/irritación

cutánea

Lesión ocular grave/irritación ocular

Sensibilización

respiratoria o cutánea

No se conocen efectos significativos o riesgos de sensibilización respiratoria o cutánea.

Página 5 de 8

QS-FORSH-02-03 Rev. 01 / 24 de octubre de 2016

WEACHING SOLVE

ESTEARATO DE ZINC

Mutagenicidad en células No se conocen efectos significativos o riesgos que lo clasifiquen como mutágeno en células germinales.

Carcinogenicidad No se conocen efectos significativos o riesgos que lo clasifiquen como carcinógeno.

Toxicidad para la reproducción N/I

Toxicidad sistémica específica del órgano N/D

blanco-Exposición única

Toxicidad sistémica específica del órgano blanco-Exposiciones repetidas

Peligro por aspiración No se clasifica como peligroso en caso de aspiración.

Otros efectos N/D

12 Información ecotoxicológica

Toxicidad N/D

Potencial de bioacumulación N/I

Movilidad en el suelo No hay datos disponibles sobre la bioacumulación o degradabilidad del producto.

Este producto no está clasificado como peligroso para el medio ambiente. Sin embargo, no se Otros efectos adversos descarta la posibilidad de que una concentración elevada pueda afectar la flora y fauna de cualquier ecosistema. Grandes cantidades del producto pueden afectar el pH del agua.

13 Información relativa a la eliminación de los productos

Métodos de eliminación:

Generales

Especiales

Se debe evitar o minimizar la generación de desechos cuando sea posible. No se deben utilizar los sistemas de alcantarillado de aguas residuales para deshacerse de cantidades significativas de desechos del producto, debiendo ser estos procesados en una planta de tratamiento de efluentes apropiada. La eliminación del producto sobrante y no reciclable debe realizarse a través del confinamiento de los residuos para su eliminación. La eliminación de este producto, sus soluciones y cualquier derivado deben cumplir siempre con los requisitos de la legislación de protección del medio ambiente y eliminación de desechos y todos los requisitos de las autoridades locales.

Se debe evitar o minimizar la generación de desechos cuando sea posible. Los envases residuales deben reciclarse; deben ser vaciados de forma óptima para que tras un lavado correspondiente puedan reutilizarse. Sólo se deben contemplar la incineración o el enterramiento cuando el reciclaje no sea factible. Eliminar los residuos del producto y sus recipientes con todas las precauciones posibles. Deben tomarse precauciones cuando se manipulen recipientes vaciados que no hayan sido limpiados o enjuagados. Los envases vacíos o los revestimientos pueden retener residuos del producto. El vapor procedente de residuos del producto puede crear una atmósfera altamente inflamable o explosiva en el interior del recipiente. No cortar, soldar ni esmerilar recipientes usados salvo que se hayan limpiado a fondo por dentro. Evitar la dispersión del material derramado, su contacto con el suelo, el medio acuático, los desagües y las alcantarillas.

Página 6 de 8

QS-FORSH-02-03 Rev. 01 / 24 de octubre de 2016



ESTEARATO DE ZINC

14 Información relativa al transporte

N/D

Designación oficial de transporte
Clase(s) relativas al transporte
Grupo de embalaje / envasado, si se aplica

Riesgos ambientales N/D
Precauciones
especiales para el

Número ONU

Las disposiciones concernientes a las mercancías que se deben cumplir dentro de las instalaciones laborales.

usuario laborales. 15 Información Reglamentaria

Reglamentos de seguridad, salud y medio ambiente específicas para el producto en cuestión México. Sustancias que están sujetas a ser reportadas en el registro de emisiones y transferencia de contaminantes (PRTR), No se aplica.

Norma Oficial Mexicana NOM-001-ECOL-1996 que establece los Límites Máximos Permisibles de Contaminantes en las Descargas de Aguas Residuales en Aguas y Bienes Nacionales.

- → Ley General de Protección Civil.
- → Reglamento para el Transporte Terrestre de Materiales y Residuos Peligroso.
- → NOM-010-STPS-2014, Agentes químicos contaminantes del ambiente laboral-Reconocimiento, evaluación y control.
- NOM-018-STPS-2015, Sistema armonizado para la identificación y comunicación de peligros y riesgos por sustancias químicas peligrosas en los centros de trabajo.
- NOM-026-STPS-2008, Colores y señales de seguridad e higiene, e identificación de riesgos por fluidos conducidos en tuberías.
- → NOM-002-SCT-2011, Listado de las substancias y materiales peligrosos más usualmente transportados.
- → NOM-005-SCT/2008, Información de emergencia para el transporte de substancias, materiales y residuos peligrosos.
- → NMX-R-019-SCFI-2011, Sistema armonizado de clasificación y comunicación de peligros de los productos químicos.

16 Otra información

La información se considera correcta, pero no es exhaustiva y se utilizará únicamente como orientación, la cual está basada en el conocimiento actual de la sustancia química o mezcla y es aplicable a las precauciones de seguridad apropiadas para el producto.

La información aquí contenida está basada en el conocimiento y experiencia actuales; no se acepta ninguna responsabilidad si es insuficiente o correcta en todos los casos. El usuario debe considerar estos datos como suplemento únicamente de otra información que haya obtenido por su propia experiencia para garantizar el uso y la eliminación apropiados de estos materiales, la seguridad y salud de empleados y clientes, así como la protección del medio ambiente.

Hoja de datos de seguridad conforme a la NOM-018-STPS-2015

REACTION OF A SUMMING

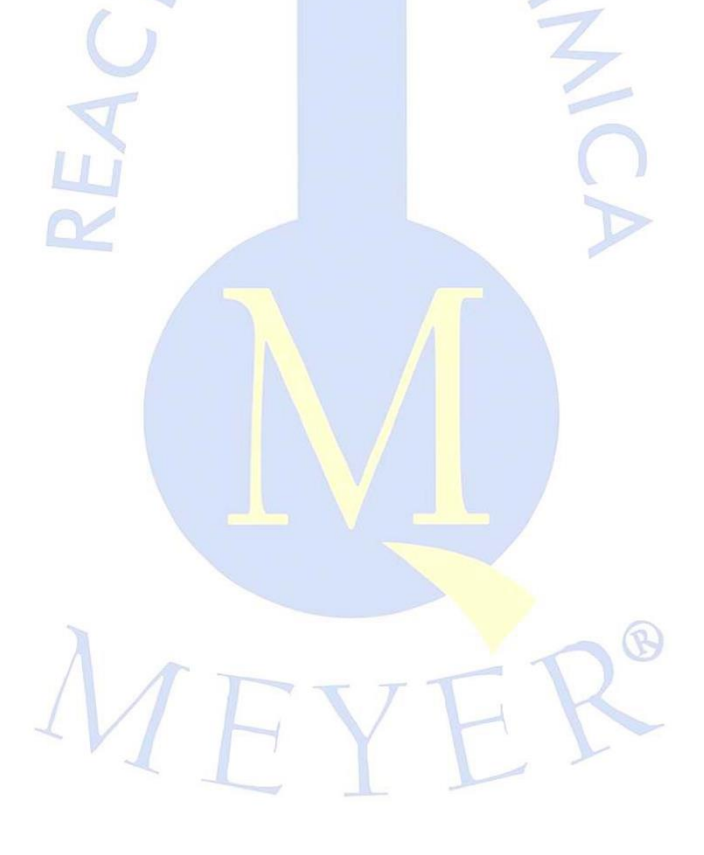
ESTEARATO DE ZINC

Clasificación de riesgo NFPA





Clase de peligro: 0 – Mínimo; 1 - Leve; 2 - Moderado; 3 - Serio; 4 – Grave.



Página 8 de 8

QS-FORSH-02-03 Rev. 01 / 24 de octubre de 2016